

155907

**KIRIKKALE ÜNİVERSİTESİ
FEN BİLİMLERİ ENSTİTÜSÜ**

**İNŞAAT ANABİLİM DALI
YÜKSEK LİSANS TEZİ**

**DEĞİŞEN KAT ADEDİ VE PERDE ORANI İÇİN KAT KESME
KUVVETLERİNİN KOLON VE PERDE ELEMANLARA DAĞILIMI**

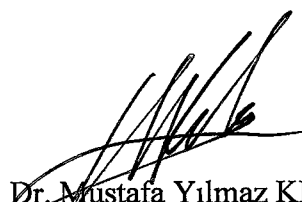
EDA AVANOĞLU

TEMMUZ,2004

Fen Bilimleri Enstitü Müdürünün onayı.

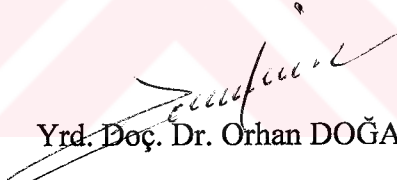


Bu Tezin Yüksek Lisans Tezi olarak İnşaat Anabilim Dalı standartlarına uygun olduğunu onaylarım.



Prof. Dr. Mustafa Yılmaz KILINÇ
Anabilim Dalı Başkanı

Bu tezi okuduğumuzu ve Yüksek Lisans tezi olarak bütün gerekliliklerini yerine getirdiğini onaylarız.



Yrd. Doç. Dr. Orhan DOĞAN
Danışman

Tez Jürisi Üyeleri

Prof. Dr. Mustafa Yılmaz KILINÇ

Yrd. Doç Dr. Orhan Doğan

Yrd. Doç Dr. Ali P. AKGÜNGÖR



ÖZET

DEĞİŞEN KAT ADEDİ VE PERDE ORANI İÇİN KAT KESME KUVVETLERİNİN KOLON VE PERDE ELEMANLARA DAĞILIMI

AVANOĞLU, Eda

Kırıkkale Üniversitesi

Fen Bilimleri Enstitüsü

İnşaat Anabilim Dalı, Yüksek Lisans Tezi

Danışma: Yrd. Doç. Dr. Orhan DOĞAN

Temmuz 2004, 119 sayfa

Deprem kuşağında bulunan ülkemizde, yapıların taşıyıcı sistemine karar verilirken inşa edildiği bölgenin depremselliği göz önünde bulundurulmalıdır. Depreme dayanıklılık açısından, her sistemin kendine özgü özellikleri vardır. Çerçeve sistemlerin deprem yükleri altında her zaman yeterli güvenlikte olmadığı kabul edilir. Bu nedenle perde-çerçeve sistem ve perde duvarlı sistemler tercih edilmektedir. Perde çerçeve sistemlerde Afet Bölgelerinde Yapılacak Yapılar Hakkında Yönetmelikte belirtilen koşullar göz önünde bulundurularak yeterli perde enkesit alanı sağlanmalıdır.

Bu tez çalışmasında 4, 8 ve 12 katlı modeller için Afet Bölgelerinde Yapılacak Yapılar hakkında Yönetmelikte verilen, kat plan alanının %0,2'si oranında ve bu oranla karşılaştırma yapabilmek açısından kat plan alanının %0,25'i oranında

perde elemanlar sisteme yerleştirilerek analizler yapılmıştır. Modeller Eşdeğer Deprem Yükü Yöntemi kullanılarak SAP2000 programı ile analiz edilmiştir. Her üç model için perde oranları değiştirilerek katlara gelen kesme kuvvetlerinin kolon ve perdelere dağılımı tablo ve grafikler halinde düzenlenmiştir.

ANAHTAR KELİMELER: Kat Kesme Kuvveti, Eşdeğer Deprem Yükü, Perde, SAP2000, Çerçeve

ABSTRACT

THE DISTRIBUTION OF STORY SHEAR FORCES TO COLUMNS AND SHEAR WALLS FOR VARIABLE NUMBER OF STORY AND SHEAR WALL RATIO

AVANOĞLU, Eda

Kırıkkale University

Institute of Science and Technology

Department of Civil Eng., M. Sc. Thesis

Advisor : Asist. Prof. Dr. Orhan DOĞAN

July 2004, 119 pages

In designing load bearing systems of structures in Turkey, a country seriously subject to earthquake effects, earthquake characteristics of regions should be taken into consideration. Each system has its own earthquake resisting features. Frame systems are not always considered safe enough against earthquake effects. Therefore, shear-frame systems and/or shear wall systems are preferred instead. In the former system, structures are required to have enough shear wall cross sections which are imposed by the Building Code for Natural Disaster Regions

In this thesis, using the Equivalent Earthquake Load Method with SAP2000 software computer model simulations for 4, 8, and 12 story buildings with shear walls of 0.2% and 0.25% of the total plan area, as described by the above code, were

performed separately. A comparative analysis of the shear-frame system for the prescribed shear wall areas indicated that shear walls at the uppermost story of the buildings with 0.2% shear wall area do not function against shear forces. Increasing the shear wall area to 0.25% eliminated this problem showing that enough shear wall area is needed for the safety of buildings against earthquakes.

The distribution of shear forces to columns and shear walls for each stories of model buildings were tabulated and plotted.

Key Words: Story Shear Force, Shear Wall, SAP2000, Equivalent Earthquake Load Method, Frame

TEŞEKKÜR

Tez çalışmam süresince konu seçimi ve yönlendirmeleriyle yardımcı olan danışmanım Yr. Doç. Dr. Orhan DOĞAN'a, SAP2000 Statik ve Dinamik Hesap Programı ile ilgili yardımcılarından dolayı Öğr. Gör. Dr. Sabahattin AYKAÇ ve Araş. Gör. Şule BAKIRCI'ya, bugünkü bilgi seviyesine ulaşmamda katkısı bulunan tüm öğretim elemanlarına ve her türlü konuda desteğiyle her zaman yanımdaya olan aileme, nişanlım Volkan Sıcacık'a ve ayrıca çalışma arkadaşımıza teşekkür ederim.



İÇİNDEKİLER

ÖZET	i
ABSTRACTiii
TEŞEKKÜR	v
İÇİNDEKİLER	vi
ŞEKİLLER DİZİNİ	
ÇİZELGELER DİZİNİ	
1. GİRİŞ	1
1.1.Kaynak Özeti	2
1.2. Çalışmanın Amacı	4
2. MATERİYAL VE YÖNTEM	
2.1. Genel	5
2.1.1. Sistemin Modelinin Oluşturulması	5
2.1.2. Malzeme Özelliklerinin Tanımlanması	6
2.1.3. Kesit Özelliklerinin Tanımlanması	6
2.1.4. Yüklerin Tanımlanması	7
2.1.5. Çözüm (Analiz)	7
2.1.6. Boyutlandırma	7
2.2. SAP2000 Genel Menü.Düzeni	8
2.2.1. File Menüsü	8
2.2.2. Edit. Menüsü	8
2.2.3. View. Menüsü	8
2.2.4. Define Menüsü	8

2.2.5. Draw. Menüsü	8
2.2.6. Select Menüsü	8
2.2.7. Assign Menüsü	9
2.2.8. Analyse.Menüsü	9
2.2.9. Display.Menüsü	10
2.2.10. Design Menüsü	10
2.2.11. Options.Menüsü	10
2.12. Help Menüsü	10
2.3. Betonarme Çok katlı Yapılarda.Uygulanan Taşıyıcı. Sistemler	10
2.3.1. Çerçeveler	11
2.3.2. Perdeli Çerçeveler	11
2.4. Yatay Yükler Altında Davranış	14
2.4.1. Deprem Etkisi Altında Davranış	14
2.4.2. Rijitlik, Dayanım ve Süreklik	17
2.4.3. Yapı Elamanlarının Genel Davranışı	20
2.4.3.1. Döşemeler	21
2.4.3.2. Kolonlar	22
2.4.3.3. Perdeler	22
2.4.3.3.1. Perdelerle İlgili Enkesit Koşulları	24
2.4.4. Yapının Genel Davranışı	26
2.5. Betonarme Yüksek Yapılarda Yatay Yük Etkisi	30
2.6. Çok Katlı Yapıların Plan Geometrisi	32
2.6.1. Simetrik Yapılar	32
2.6.2. Simetrik Davranışlı Yapılar	33
2.6.3. Simetrik Olmayan Yapılar	35

2.7. Analiz Yöntemleri	36
2.7.1. Eşdeğer Deprem Yükü Yöntemi	37
2.7.2. Eşdeğer Deprem Yükü Yönteminin Adımları	38
3. ARAŞTIRMA BULGULARI	57
3.1. Eşdeğer Deprem Yükü Yöntemi İle Analizler	57
3.1.1. Model 1a	57
3.1.1.1.Bina Bilgileri	58
3.1.1.2. Deprem Bilgileri	58
3.1.1.3. Kat Ağırlıkları	59
3.1.1.4.Fiktif Yüklerin Hesabı	59
3.1.1.5. Kat Deplasmanları	59
3.1.1.5.1. X Deprem Yönü İçin Kat Deplasmanlarının Hesabı	59
3.1.1.5.2. Y Deprem Yönü İçin Kat Deplasmanlarının Hesabı	60
3.1.1.6. Binanın Birinci Doğal Titreşim Periyodunun Hesabı	60
3.1.1.6.1. X Deprem Yönü İçin Binanın Birinci Titreşim Periyodunun Hesabı	60
3.1.1.6.2. Y Deprem Yönü İçin Binanın Birinci Titreşim Periyodunun Hesabı	60
3.1.1.7. Eşdeğer Deprem Yüklerinin Hesabı	63
3.1.1.7.1. X Deprem yönü İçin Eşdeğer Kat Deprem Yüklerinin Hesabı	63
3.1.1.7.2. X Deprem yönü İçin Eşdeğer Kat Deprem Yüklerinin Hesabı	63

3.1.1.8. Eşdeğer Deprem Kuvvetlerinin Kat Kolon ve Perdelerine Dağılımı	64
3.1.1.8.1. X Yönündeki Eşdeğer Deprem Kuvvetlerinin Kat Kolon ve Perdelerine Dağılımı	64
3.1.1.8.2. Y Yönündeki Eşdeğer Deprem Kuvvetlerinin Kat Kolon ve Perdelerine Dağılımı	64
3.1.2. Model 1b	64
3.1.2.1. Bina Bilgileri	65
3.1.2.2. Deprem Bilgileri	65
3.1.2.3. Kat Ağırlıkları	66
3.1.2.4. Fiktif Yüklerin Hesabı	66
3.1.2.5. Kat Deplasmanları	66
3.1.2.5.1. X Deprem Yönü İçin Kat Deplasmanlarının Hesabı	66
3.1.2.5.2. Y Deprem Yönü İçin Kat Deplasmanlarının Hesabı	67
3.1.2.6. Binanın Birinci Doğal Titreşim Periyodunun Hesabı	67
3.1.2.6.1. X Deprem Yönü İçin Binanın Birinci Titreşim Periyodunun Hesabı	67
3.1.2.6.2. Y Deprem Yönü İçin Binanın Birinci Titreşim Periyodunun Hesabı	68
3.1.2.7. Eşdeğer Deprem Yüklerinin Hesabı	69
3.1.2.7.1. X Deprem yönü İçin Eşdeğer Kat Deprem Yüklerinin Hesabı	69
3.1.2.7.2. X Deprem yönü İçin Eşdeğer Kat Deprem Yüklerinin Hesabı	69

3.1.2.8. Eşdeğer Deprem Kuvvetlerinin Kat Kolon ve Perdelerine Dağılımı	71
3.1.2.8.1. X Yönündeki Eşdeğer Deprem Kuvvetlerinin Kat Kolon ve Perdelerine Dağılımı	71
3.1.2.8.2. Y Yönündeki Eşdeğer Deprem Kuvvetlerinin Kat Kolon ve Perdelerine Dağılımı	71
3.1.3. Model 2a	71
3.1.3.1. Bina Bilgileri	72
3.1.3.2. Deprem Bilgileri	72
3.1.3.3. Kat Ağırlıkları	73
3.1.3.4. Fiktif Yüklerin Hesabı	73
3.1.3.5. Kat Deplasmanları	74
3.1.3.5.1. X Deprem Yönü İçin Kat Deplasmanlarının Hesabı	74
3.1.3.5.2. Y Deprem Yönü İçin Kat Deplasmanlarının Hesabı	74
3.1.3.6. Binanın Birinci Doğal Titreşim Periyodunun Hesabı	75
3.1.3.6.1. X Deprem Yönü İçin Binanın Birinci Titreşim Periyodunun Hesabı	75
3.1.3.6.2. Y Deprem Yönü İçin Binanın Birinci Titreşim Periyodunun Hesabı	76
3.1.3.7. Eşdeğer Deprem Yüklerinin Hesabı	78
3.1.3.7.1. X Deprem yönü İçin Eşdeğer Kat Deprem Yüklerinin Hesabı	78
3.1.3.7.2. X Deprem yönü İçin Eşdeğer Kat Deprem Yüklerinin Hesabı	78

3.1.3.8. Eşdeğer Deprem Kuvvetlerinin Kat Kolon ve Perdelerine Dağılımı	79
3.1.3.8.1. X Yönündeki Eşdeğer Deprem Kuvvetlerinin Kat Kolon ve Perdelerine Dağılımı	79
3.1.3.8.2. Y Yönündeki Eşdeğer Deprem Kuvvetlerinin Kat Kolon ve Perdelerine Dağılımı	80
3.1.4. Model 2b	80
3.1.4.1. Bina Bilgileri	81
3.1.4.2. Deprem Bilgileri	81
3.1.4.3. Kat Ağırlıkları	81
3.1.4.4. Fiktif Yüklerin Hesabı	82
3.1.4.5. Kat Deplasmanları	82
3.1.4.5.1. X Deprem Yönü İçin Kat Deplasmanlarının Hesabı	82
3.1.4.5.2. Y Deprem Yönü İçin Kat Deplasmanlarının Hesabı	83
3.1.4.6. Binanın Birinci Doğal Titreşim Periyodunun Hesabı	83
3.1.4.6.1. X Deprem Yönü İçin Binanın Birinci Titreşim Periyodunun Hesabı	83
3.1.4.6.2. Y Deprem Yönü İçin Binanın Birinci Titreşim Periyodunun Hesabı	85
3.1.4.7. Eşdeğer Deprem Yüklerinin Hesabı	86
3.1.4.7.1. X Deprem yönü İçin Eşdeğer Kat Deprem Yüklerinin Hesabı	86
3.1.4.7.2. Y Deprem yönü İçin Eşdeğer Kat Deprem Yüklerinin Hesabı	87

3.1.4.8. Eşdeğer Deprem Kuvvetlerinin Kat Kolon ve Perdelerine Dağılımı	87
3.1.4.8.1. X Yönündeki Eşdeğer Deprem Kuvvetlerinin Kat Kolon ve Perdelerine Dağılımı	87
3.1.4.8.2. Y Yönündeki Eşdeğer Deprem Kuvvetlerinin Kat Kolon ve Perdelerine Dağılımı	88
3.1.5. Model 3a	88
3.1.5.1. Bina Bilgileri	89
3.1.5.2. Deprem Bilgileri	89
3.1.5.3. Kat Ağırlıkları	89
3.1.5.4. Fiktif Yüklerin Hesabı	90
3.1.5.5. Kat Deplasmanları	90
3.1.5.5.1. X Deprem Yönü İçin Kat Deplasmanlarının Hesabı	90
3.1.5.5.2. Y Deprem Yönü İçin Kat Deplasmanlarının Hesabı	91
3.1.5.6. Binanın Birinci Doğal Titreşim Periyodunun Hesabı	91
3.1.5.6.1. X Deprem Yönü İçin Binanın Birinci Titreşim Periyodunun Hesabı	91
3.1.5.6.2. Y Deprem Yönü İçin Binanın Birinci Titreşim Periyodunun Hesabı	92
3.1.5.7. Eşdeğer Deprem Yüklerinin Hesabı	94
3.1.5.7.1. X Deprem yönü İçin Eşdeğer Kat Deprem Yüklerinin Hesabı	94
3.1.5.7.2. Y Deprem yönü İçin Eşdeğer Kat Deprem Yüklerinin Hesabı	95

3.1.5.8. Eşdeğer Deprem Kuvvetlerinin Kat Kolon ve Perdelerine Dağılımı	96
3.1.5.8.1. X Yönündeki Eşdeğer Deprem Kuvvetlerinin Kat Kolon ve Perdelerine Dağılımı	96
3.1.5.8.2. Y Yönündeki Eşdeğer Deprem Kuvvetlerinin Kat Kolon ve Perdelerine Dağılımı	97
3.1.6. Model 3b	97
3.1.6.1. Bina Bilgileri	98
3.1.6.2. Deprem Bilgileri	98
3.1.6.3. Kat Ağırlıkları	98
3.1.6.4. Fiktif Yüklerin Hesabı	99
3.1.6.5. Kat Deplasmanları	99
3.1.6.5.1. X Deprem Yönü İçin Kat Deplasmanlarının Hesabı	99
3.1.6.5.2. Y Deprem Yönü İçin Kat Deplasmanlarının Hesabı	100
3.1.6.6. Binanın Birinci Doğal Titreşim Periyodunun Hesabı	100
3.1.6.6.1. X Deprem Yönü İçin Binanın Birinci Titreşim Periyodunun Hesabı	100
3.1.6.6.2. Y Deprem Yönü İçin Binanın Birinci Titreşim Periyodunun Hesabı	102
3.1.6.7. Eşdeğer Deprem Yüklerinin Hesabı	104
3.1.6.7.1. X Deprem yönü İçin Eşdeğer Kat Deprem Yüklerinin Hesabı	104
3.1.6.7.2. Y Deprem yönü İçin Eşdeğer Kat Deprem Yüklerinin Hesabı	104

3.1.6.8. Eşdeğer Deprem Kuvvetlerinin Kat Kolon ve Perdelerine Dağılımı	105
3.1.6.8.1. X Yönündeki Eşdeğer Deprem Kuvvetlerinin Kat Kolon ve Perdelerine Dağılımı	105
3.1.6.8.2. Y Yönündeki Eşdeğer Deprem Kuvvetlerinin Kat Kolon ve Perdelerine Dağılımı	106
3.2. ANALİZLERİN YORUMLANMASI	106
3.2.1. Model 1a Eşdeğer Deprem Yüklerinin Kat Kolon ve Perdeler Dağılım Yüzdeleri	108
3.2.2. Model 1b Eşdeğer Deprem Yüklerinin Kat Kolon ve Perdeler Dağılım Yüzdeleri	109
3.2.3. Model 2a Eşdeğer Deprem Yüklerinin Kat Kolon ve Perdeler Dağılım Yüzdeleri	110
3.2.4. Model 2b Eşdeğer Deprem Yüklerinin Kat Kolon ve Perdeler Dağılım Yüzdeleri	111
3.2.5. Model 3a Eşdeğer Deprem Yüklerinin Kat Kolon ve Perdeler Dağılım Yüzdeleri	112
3.2.6. Model 3b Eşdeğer Deprem Yüklerinin Kat Kolon ve Perdeler Dağılım Yüzdeleri	113
3.2.7. X Yönündeki Perdelerin Üç Model İçin Kat kesme Kuvvetlerinin Dağılım Yüzdeleri	114
3.2.8. Y Yönündeki Perdelerin Üç Model İçin Kat kesme Kuvvetlerinin Dağılım Yüzdeleri	115
4. TARTIŞMA VE SONUÇ	116
KAYNAKLAR	118

ŞEKİLLER DİZİNİ

ŞEKİL

2.1. Çerçeve ve Perdenin Ayrı Ayrı ve Beraberce Yer Değiştirme Şekilleri	12
2.2.a Rijit Çerçeve	13
2.2.b. Perde	13
2.2.c. Perde-Çerçeve Sistem	13
2.3.a. Elastik Olan ve Elastik Olmayan Kuvvet Yerdeğiştirme Bağıntısı	16
2.3.b. Betonarme Elemanlarda Yük-Yerdeğiştirme Bağıntısı	16
2.4. Elostoplastik Etki Şekil Değiştirme İlişkisi	18
2.5. Sünek ve Sünek Olmayan Etki Şekil Değiştirme Etkisi	18
2.6. Rijit Diyafram Modeli	21
2.7. Yatay Yük Altındaki Perde	23
2.8. Katlara Gelen Yatay Kuvvetler	26
2.9. Dış merkez Durumun Oluşması	28
2.10. Plan Şekilleri	29
2.11. Taşıyıcı Sistemdeki Düzensizlikler	30
2.12. Simetrik Yapılar	32
2.13. Simetrik Davranışlı Yapılar	33
2.14. Simetrik Davranışlı Yapılar Perde	34
2.15. Simetrik Davranışlı perdeleri Olan Yapılar	34
2.16. Simetrik Olmayan Yapılar	35
2.17. Merkezi Simetrisi Olan Yapılar	35
2.18. Merkezi Simetrisi Bozulmuş Yapının Kalıp Planı	36
2.19. Fiktif Yükler ve Yerdeğiştirme	38

2.20. Tasarım İvme Spekturumu Grafiği	44
2.21. Kat Hizalarına Etkiyen Eşdeğer Deprem Yükleri	47
2.22. Kaydırılmış Kütle Merkezleri	47
3.1. Model 1a'ya ait Kalıp Planı	51
3.2. Model 1b'ye ait Kalıp Planı	52
3.3. Model 2a'ya ait Kalıp Planı	53
3.4. Model 2b'ye ait Kalıp Planı	54
3.5. Model 3a'ya ait Kalıp Planı	55
3.6. Model 3b'ye ait Kalıp Planı	56
3.7. Model 1a X Deprem Yüklerinin Kat Kolon ve Perdelere Dağılım Yüzdeleri	108
3.8. Model 1a Y Deprem Yüklerinin Kat Kolon ve Perdelere Dağılım Yüzdeleri	108
3.9. Model 1b X Deprem Yüklerinin Kat Kolon ve Perdelere Dağılım Yüzdeleri	109
3.10. Model 1b Y Deprem Yüklerinin Kat Kolon ve Perdelere Dağılım Yüzdeleri	109
3.11. Model 2a X Deprem Yüklerinin Kat Kolon ve Perdelere Dağılım Yüzdeleri	110
3.12. Model 2a Y Deprem Yüklerinin Kat Kolon ve Perdelere Dağılım Yüzdeleri	110
3.13. Model 2b X Deprem Yüklerinin Kat Kolon ve Perdelere Dağılım Yüzdeleri	111
3.14. Model 2b Y Deprem Yüklerinin Kat Kolon ve Perdelere Dağılım Yüzdeleri	111

3.15. Model 3a X Deprem Yüklerinin Kat Kolon ve Perdelere	
Dağılım Yüzdeleri	112
3.16. Model 3a X Deprem Yüklerinin Kat Kolon ve Perdelere	
Dağılım Yüzdeleri	112
3.17. Model 3b X Deprem Yüklerinin Kat Kolon ve Perdelere	
Dağılım Yüzdeleri	113
3.18. Model 3b Y Deprem Yüklerinin Kat Kolon ve Perdelere	
Dağılım Yüzdeleri	113
3.19. Limit Durum X Yönündeki Perdelerin Kesme Kuvveti Dağılımı	114
3.20. Limit Üstü Durum X Yönündeki Perdelerin Kesme Kuvveti	
Dağılımı	114
3.21. Limit Durum X Yönündeki Perdelerin Kesme Kuvveti Dağılımı	114
3.22. Limit Üstü Durum X Yönündeki Perdelerin Kesme Kuvveti	
Dağılımı	115

ÇİZELGELER DİZİNİ

ÇİZELGE

2.1. Eşdeğer Deprem Yükü Yönteminin Uygulanabileceği Binalar	37
2.2. Hareketli Yük Katılım Katsayısı (n)	41
2.3. Etkin Yer İvmesi Katsayısı (A_0)	42
2.4. Bina Önem katsayısı (I)	43
2.5. Spekturm Karakteristik Katsayısı (T_A, T_B)	44
2.6. Taşıyıcı Sistem Katsayısı	45
3.1. Model 1a'ya ait Fiktif Yüklerin Hesabı	59
3.2. Model 1a'ya ait X Deprem Yönü Kat Deplasmanları	59
3.3. Model 1a'ya ait Y Deprem Yönü Kat Deplasmanları	60
3.4. Model 1a'ya ait X Deprem Yönü İçin Rayleigh Oranı ile T_1 'in Hesabı	60
3.5. Model 1a'ya ait Y Deprem Yönü İçin Rayleigh Oranı ile T_1 'in Hesabı	61
3.6. Model 1a'ya ait X Deprem Yönü İçin Eşdeğer Deprem . Yüklerinin Hesaplanması	63
3.7. Model 1a'ya ait Y Deprem Yönü İçin Eşdeğer Deprem Yüklerinin Hesaplanması	63
3.8. Model 1a'ya ait X Deprem Yönündeki Eşdeğer Deprem Kuvvetlerinin Katlara Dağılımı	64
3.9. Model 1a'ya ait Y Deprem Yönündeki Eşdeğer Deprem Kuvvetlerinin Katlara Dağılımı	64
3.10. Model 1b'ye ait Fiktif Yüklerin Hesabı	66
3.11. Model 1b'ye ait X Deprem Yönü Kat Deplasmanları	66
3.12. Model 1b'ye ait Y Deprem Yönü Kat Deplasmanları	67

3.13. Model 1b'ye ait X Deprem Yönü İçin Rayleigh Oranı ile T_1 'in Hesabı	67
3.14. Model 1b'ye ait Y Deprem Yönü İçin Rayleigh Oranı ile T_1 'in Hesabı	67
3.15. Model 1b'ye ait X Deprem Yönü İçin Eşdeğer Deprem Yüklerinin Hesaplanması	70
3.16. Model 1b'ye ait Y Deprem Yönü İçin Eşdeğer Deprem Yüklerinin Hesaplanması	70
3.17. Model 1b'ye ait X Deprem Yönündeki Eşdeğer Deprem Kuvvetlerinin Katlara Dağılımı	71
3.18. Model 1b'ye ait X Deprem Yönündeki Eşdeğer Deprem Kuvvetlerinin Katlara Dağılımı	71
3.19. Model 2a'ya ait Fiktif Yüklerin Hesabı	73
3.20. Model 2a'ya ait X Deprem Yönü Kat Deplasmanları	74
3.21. Model 2a'ya ait Y Deprem Yönü Kat Deplasmanları	74
3.22. Model 2a'ya ait X Deprem Yönü İçin Rayleigh Oranı ile T_1 'in Hesabı	75
3.23. Model 2a'ya ait Y Deprem Yönü İçin Rayleigh Oranı ile T_1 'in Hesabı	76
3.24. Model 2a'ya ait X Deprem Yönü İçin Eşdeğer Deprem Yüklerinin Hesaplanması	78
3.25. Model 2a'ya ait Y Deprem Yönü İçin Eşdeğer Deprem Yüklerinin Hesaplanması	79
3.26. Model 2a'ya ait X Deprem Yönündeki Eşdeğer Deprem Kuvvetlerinin Katlara Dağılımı	79
3.27. Model 2a'ya ait Y Deprem Yönündeki Eşdeğer Deprem Kuvvetlerinin Katlara Dağılımı	80
3.28. Model 2b'ye ait Fiktif Yüklerin Hesabı	82
3.29. Model 2b'ye ait X Deprem Yönü Kat Deplasmanları	82

3.30. Model 2b'ye ait Y Deprem Yönü Kat Deplasmanları	83
3.31. Model 2b'ye ait X Deprem Yönü İçin Rayleigh Oranı ile T_1 'in Hesabı	83
3.32. Model 2b'ye ait Y Deprem Yönü İçin Rayleigh Oranı ile T_1 'in Hesabı	85
3.33. Model 2b'ye ait X Deprem Yönü İçin Eşdeğer Deprem Yüklerinin Hesaplanması	86
3.34. Model 2b'ye ait Y Deprem Yönü İçin Eşdeğer Deprem Yüklerinin Hesaplanması	87
3.35. Model 2b'ye ait X Deprem Yönündeki Eşdeğer Deprem Kuvvetlerinin Katlara Dağılımı	87
3.36. Model 2b'ye ait Y Deprem Yönündeki Eşdeğer Deprem Kuvvetlerinin Katlara Dağılımı	88
3.37. Model 3a'ya ait Fiktif Yüklerin Hesabı	90
3.38. Model 3a'ya ait X Deprem Yönü Kat Deplasmanları	90
3.39. Model 3a'ya ait Y Deprem Yönü Kat Deplasmanları	91
3.40. Model 3a'ya ait X Deprem Yönü İçin Rayleigh Oranı ile T_1 'in Hesabı	91
3.41. Model 3a'ya ait Y Deprem Yönü İçin Rayleigh Oranı ile T_1 'in Hesabı	93
3.42. Model 3a'ya ait X Deprem Yönü İçin Eşdeğer Deprem Yüklerinin Hesaplanması	94
3.43. Model 3a'ya ait Y Deprem Yönü İçin Eşdeğer Deprem Yüklerinin Hesaplanması	95
3.44. Model 3a'ya ait X Deprem Yönündeki Eşdeğer Deprem Kuvvetlerinin Katlara Dağılımı	96
3.45. Model 3a'ya ait Y Deprem Yönündeki Eşdeğer Deprem Kuvvetlerinin Katlara Dağılımı	97
3.46. Model 3b'ye ait Fiktif Yüklerin Hesabı	99

3.47. Model 3b'ye ait X Deprem Yönü Kat Deplasmanları	99
3.48. Model 3b'ye ait Y Deprem Yönü Kat Deplasmanları	100
3.49. Model 3b'ye ait X Deprem Yönü İçin Rayleigh Oranı ile T_1 'in Hesabı	100
3.50. Model 3b'ye ait Y Deprem Yönü İçin Rayleigh Oranı ile T_1 'in Hesabı	102
3.51. Model 3b'ye ait X Deprem Yönü İçin Eşdeğer Deprem Yüklerinin Hesaplanması	104
3.52. Model 3b'ye ait Y Deprem Yönü İçin Eşdeğer Deprem Yüklerinin Hesaplanması	105
3.53. Model 3b'ye ait X Deprem Yönündeki Eşdeğer Deprem Kuvvetlerinin Katlara Dağılımı	105
3.54. Model 3b'ye ait Y Deprem Yönündeki Eşdeğer Deprem Kuvvetlerinin Katlara Dağılımı	106
3.55. Model Bilgileri	107

1. GİRİŞ

Depremin etkili olduğu ülkelerde yapıların depreme dayanıklı olarak projelendirilmesi çok büyük önem taşımaktadır. Projelendirme esnasında her ülkenin yapı teknolojisi, ekonomik seviyesine, maruz kaldığı deprem riskine, zemin durumuna ve deprem kayıtlarının yeterlilik düzeyine bağlı olarak farklılık gösteren yönetmeliklere uyması zorunludur. Ülkemizde bu konuyu düzenleyen esaslar 1997'de yenilenerek 1998'de uygulama zorunluluğu getirilen Afet Bölgelerinde Yapılacak Yapılar Hakkında Yönetmelik'te mevcuttur. Bu yönetmelik ülkemizdeki yapılarda depremin meydana getireceği tesirleri dikkate alan hesap yöntemlerini ve yapım kurallarını içermektedir.⁽¹⁾

Depreme dayanıklı yapı tasarımindan tüm dünyada uygulanan ilke, yapının sık ve küçük şiddetteki depremleri elastik sınır içinde kalarak, orta şiddetteki depremleri elastik sınırların ötesinde fakat taşıyıcı sisteme kolayca onarılabilecek önemsiz hasarlarla, çok seyrek şiddetli depremleri büyük hasarlarla fakat sistem tamamen göçmeden ve can kaybı olmaksızın karşılayabilmesidir.

Depreme karşı güvenliğin sağlanabilmesinde önce taşıyıcı sistemin tasarımının özenle yapılması önemlidir. İyi bir tasarım sonucunda taşıyıcı sistemin analizinde göz önüne alınan davranış ile, deprem altındaki davranışları birbirine yakın olur. ⁽²⁾

Yapının yüksekliği ve inşa edildiği yörenin depremselliği arttıkça, yatay yük etkileri büyüyecek ve sadece düşey yüklerle göre boyutlandırılan çerçeve sistem yetersiz kalacaktır. Çerçeve sistemin yatay yüklerle karşı yetersiz kaldığı

durumlarda, yatay deprem yüklerini güvenle karşılamak ve ayrıca yüksek yapılarda salınımını azaltmak için, taşıyıcı sisteme perdeler ilave edilir.⁽³⁾

1.1 Kaynak Özetleri

Turgut Öztürk'ün 1997 yılında yaptığı “Binalarda Yatay Yükleri Taşıyan Betonarme Perdelerin Ön Boyutlarının Tayini” adlı çalışmada konut ve işyeri olarak kullanılan çok katlı binalarda deprem dayanımı bakımından en iyi sistemlerden olan, perdelerden oluşan yatay yük taşıyıcı sistemlerde perde boyutlarının kat adedi, kat alanı, deprem bölgesi, malzeme gibi faktörlere bağlı olarak tayini ve mimari plana uygun olarak bölüm perdelerinin teşkili için bir metod ve yardımcı tablolar ile sayısal bir uygulama verilmiştir.⁽⁴⁾

İbrahim Gençay'ın 1999 yılında yaptığı “Deprem Etkisindeki Çok Katlı Yapı Sistemlerinde Perde Tasarım Momentlerinin Hesabı İle İlgili Parametrik Bir İnceleme” adlı tezde Eşdeğer deprem Yükü ve Mod Birleştirme hesap yöntemleriyle seçilen 10, 12 ve 22 katlı yapı sistemlerinin perde eğilme moment diyagramları burulmalı ve burulmasız olarak karşılaştırılmalı çizilmiş, daha sonra bunlardan en uygun ve güvenli olanı, yönetmelikte önerilen tasarım moment diyagramına bir alternatif tasarım moment diyagramı olarak önerilmiştir.⁽⁵⁾

Bahar Metin'in 1999 yılında yaptığı “Yeni Deprem Yönetmeliğine Göre (Eylül-1997) Perdeli-Çerçevevi Betonarme Yapıların Kat Adedine Ve Deprem Bölgeleri Parametrelerine Bağlı Olarak Tasarımı” adlı tezde eski ve yeni deprem yönetmeliği kıyaslanmış ve yapı içinde kullanılması gereken uygun perde oranları göz önünde bulundurulan parametrelere göre hesaplamıştır.⁽⁶⁾

Fatih Aydinalev'in 2000 yılında yaptığı "Çok Katlı Yapıların Yeni Deprem Yönetmeliği (TDY'98)'ne Göre Analizi Ve Yapı Düzensizliklerinin İrdelenmesi" adlı tezde Eşdeğer Deprem Yükü Yöntemi ve Mod Birleştirme Yönteminin perdeli, perdesiz çeşitli bina tipleri üzerinde uygulandığı bu çalışmada SAP90 programı kullanılmış, yeni deprem yönetmeliğinin önemli yeniliklerinden olan yapı düzensizlikleri bu yöntem kullanılarak irdelenmiştir.⁽⁷⁾

Harun Bıçakçı'nın 2000 yılında yaptığı "Perdeli Çerçeve Sistemlerde Depremden Oluşan Kat Kesme Kuvvetlerinin Dağılımının İncelenmesi" adlı tezde taşıyıcı sistemi perdeli çerçevevi ve boşluklu perdeli çerçevevi olan yapılarda toplam perde alanının kat alanına oranındaki değişimin depremde oluşan ve kat kesme kuvvetlerinin, perde ve çerçeveler arasında hangi oranlarda paylaşıldığını ve perde enkesit alanındaki artışın etkisi araştırılmıştır.⁽⁸⁾

Sena Güzeldağ'ın 2001 yılına yaptığı "Yeni Deprem Yönetmeliğinin SAP2000 ve Ansys Programları İle İrdelenmesi" adlı tezde içinde perdeli sistemlerin her iki programla analizleri yapılmış ve sonuçlar karşılaştırılmıştır.⁽⁹⁾

Prof. Dr. Günay Özmen'in 2001 yılında yaptığı "Aşırı Burulma Yapan Çok Katlı Yapılar" adlı çalışmada plandaki perde konumları farklı olan 8 grup tipik yapı seçilmiş ve bu yapıların aks sayıları 3-10, kat sayıları da 1-10 arasında değiştirilerek burulma düzensizliği katsayıları incelenmiş ve sonuçlar irdelenmiştir.⁽¹⁰⁾

Fatih Ergençoğlu'nun 2002 yılında yaptığı "Betonarme Perde-Çerçeve Sistemlerin Bilgisayar Destekli Dinamik Analizleri" adlı tezde dinamik analiz tiplerinin sonuçlara etkisinin, seçilen simetrik bir perde-çerçevevi yapının 5 ve 10 katlı yapıda nasıl değiştiği incelenmiştir. Çalışmadaki her bir sistemin analizinde SAP2000 programı kullanılmıştır.⁽¹¹⁾

Tolga Alkış'ın 2003 yılında “ Boşluklu Perde Duvar Sistemlerin Serbest Titreşim Periyotlarının Farklı Yöntemlerle Hesaplanması (Derleme)” adlı çalışmada daha önce sınır eleman yöntemi kullanılarak modellenmiş ve serbest titreşim periyotları elde edilmiş bir boşluklu perde duvar sistemin, gerilme elemanlarının kullanıldığı sonlu elemanlar yöntemi ve çubuk elemanların kullanıldığı geniş kolon benzeşimi yöntemi kullanılarak serbest titreşim periyotları bulunmuş, analizden çıkan sonuçlar karşılaştırılmıştır.⁽¹²⁾

1.2. Çalışmanın Amacı

Taşıyıcı sistemi, perdeli-çerçevevi olarak seçilmiş bir yapının kat adedine bağlı, yönetmelikte⁽¹⁾ belirtilen limit durumlarda göz önünde bulundurularak, perde enkesit alanları hesaplanmıştır. Ayrıca kat adedine bağlı olarak perde ve kolonların, her katta deprem kesme kuvvetlerini hangi oranda paylaştığı incelenmiştir.

Perde ve çerçeve elemanlarının yatay yük altındaki davranışları farklılık gösterdiğinden, perde çerçeve davranışını incelenerek yeterli perde alanının limit ve limit üstü durumlarında, her kat için, gelen yatay yüklerin perde ve çerçeve elemanlar tarafından hangi oranda paylaşıldığı araştırılmıştır.

Bu çalışmada kullanılan tüm modellerin analizi SAP2000 programı ile, “Eşdeğer Deprem Yükü Yöntemi” kullanılarak yapılmıştır.

2. MATERİYAL VE YÖNTEM

2.1. Genel

Çalışmanın hazırlanması SAP2000 yazılımı kullanılarak gerçekleştirilmiştir. SAP2000 yazılımı, yapı sistemi modellerinin geliştirilmesi, analizi ve boyutlandırılması için kullanılan Genel Amaçlı bir programdır. Program Windows ortamında çalışmakta ve tüm işlemler özel Grafik Kullanıcı Ara yüzü (Graphical User Interface - GUI) yardımı ile SAP2000 ekranı üzerinde gerçekleştirilmektedir.

Herhangi bir yapı sistemi SAP2000 ile analiz ederken önce sistem modellenir, malzeme , kesit ve yük özellikleri tanımlanır sonra analiz yapılarak sistem boyutlanır.

2.1.1. Sistemin Modelinin Oluşturulması

Bu ilk aşamada, doğrudan doğruya veya SAP2000 içinde bulunan Şablon (Template) sistemler kullanılarak;

- Kiriş, kolon v.b. çubuk elemanlar,
- Duvar, döseme, kabuk gibi yapı bölümlerini temsil eden sonlu elemanlar,
- Birleşim noktalarında veya mesnetlerde lineer elastik veya lineer olmayan birleşimler ve çeşitli tip mesnetlemeler tanımlanarak sistem modeli oluşturulur. Yine, çeşitli yapı elemanlarının birleştiği Düğüm Noktaları (Joints), program tarafından otomatik olarak türetilerek, Nesne (Object) adı verilen (çubuk, sonlu eleman, birleşim, yay ve düğüm noktası) oluşturulabilmektedir.

Ayrıca, ele alınan sistemin önce küçük (veya kaba) bir bölümü sonra SAP2000 'in Copy, Paste, Replicate, Mesh Shells gibi olanaklarından yararlanarak da sistem tamamlanabilmektedir.

Bazı durumlarda da, sistemin geometrisi AutoCAD veya EXCEL yazılımları ile geliştirilip SAP2000 içine aktarılabilmektedir.

2.1.2. Malzeme Özelliklerinin Tanımlanması

SAP2000 içinde standart olarak, tüm özellikleri ile tanımlanmış olan beton (concrete) ve çelik (steel) malzemeleri mevcut olup, istenirse bu malzeme türlerine ait özelliklerin bazıları veya tümü değiştirilebileceği gibi, yeni malzeme türleri de tanımlanıp kullanılabilir. Seçilen veya tanımlanan malzeme türleri, kesit tanımlaması sırasında kullanılmaktadır.

2.1.3.Kesit Özelliklerinin Tanımlanması

Ceşitli kesit tipleri ayrı kütükler içinde verilmiş bulunmaktadır. Özellikle çelik yapılarda bu kesit tipleri, doğrudan doğruya veya bazı özellikleri değiştirilerek kullanılabileceği gibi, istenen türde kesit tanımlamak için, pek çok seçenek vardır. Seçilen veya tanımlanan kesitler sistem elemanlarına atanabilmektedir.

2.1.4 Yüklerin Tanımlanması

Tekil, düzgün yayılı, üçgen ve yamuk yayılı yüklerle, sıcaklık değişimeleri tanımlanıp düğüm noktalarına, çubuklara veya sonlu elemanlara atanabilmektedir.

Ayrıca, kütle ve spektrum diyagramları tanımlandıktan sonra, Mod Birleştirme yöntemi ile Dinamik Hesapta yapılabilir. Çok sayıda (sabit, hareketli, rüzgar, deprem v.b.) değişik yüklemeler tanımlanabileceği gibi, bunlar çeşitli süperpozisyon katsayıları ile çarpılarak birden fazla yükleme kombinasyonları da oluşturulabilmektedir.

2.1.5. Çözüm (Analiz)

Sistem modelinin malzeme, kesit özellikleri ve yüklemeleri ile birlikte tanımlanması bittikten sonra Çözüm (Analiz) yapılır. Çözüm sonuçları da SAP2000 ekranında görüntülenmektedir. Bu görüntü üzerinde istenen her türlü ayrıntı ayrıca görüntülenip incelenebilir. İstenirse, çözüm sonuçları bir kütüğe yazdırılıp orada incelenir veya bastırılabilir.

2.1.6. Boyutlandırma

Çözüm işlemi tamamlandıktan sonra, seçilen yönetmeliğin kuralları uygulanarak, çelik veya betonarme elemanların boyutlandırırmaları da yapılabilmektedir.

2.2. SAP2000 Genel Menü Düzeni

2.2.1. File Menüsü: Bu menü altındaki komutlar ve alt komutlar yardımıyla yeni çalışma başlatma, kütük kayıt işlemleri, çalışmanın başka ortamlara aktarılması veya başka ortamlardan bilgi aktarımı, çıktı alma gibi işlemler gerçekleştirilir.

2.2.2. Edit Menüsü: Bu menüdeki komutlar ile sistem elemanlarının düzenlenmesi, kopyalanması, çoğaltılması, silinmesi, yeniden adlandırılması gibi işlemler yapılabilir.

2.2.3. View Menüsü: Bu menüdeki komutlar ile sistemin görünümü ve bakış açlarını düzenleme işlemleri gerçekleştirilir.

2.2.4. Define Menüsü: Bu menüdeki komutlar ile sistemi oluşturan elemanların özellikleri, yüklemeler, yük kombinezleri v.b. tanımlanabilir.

2.2.5. Draw Menüsü: Bu menüdeki komutlar ile sistemi oluşturan elemanların çizilmesi, yardımcı çizgilerin ve çizim araçlarının düzenlenmesi v.b. işlemler yapılabilir.

2.2.6. Select Menüsü: Bu menüdeki komutlar ile sistem modelini oluşturma arasında gereken seçim işlemleri yapılabilir.

2.2.7. Assign Menüsü: Bu menüdeki komutlar ile sistem elemanlarına kesit Özellikleri veya yüklemeler atanabilir ve gruplama işlemleri yapılabilir.

2.2.8. Analyse Menüsü: Bu menüdeki komutlar ile sistemin çözümü (analizi) yapılır.

2.2.9. Display Menüsü: Bu menüdeki komutlar ile sistemin şekil değiştirmiş durumu, yüklemeler, mod şekilleri gibi çeşitli durumlardaki görünümü elde edilebilir.

2.2.10. Design Menüsü: SAP2000 ile çelik veya betonarme boyutlandırma yapmak için bu menü kullanılabilir.

2.2.11. Options Menüsü: Model görüntü ayarlarının yapıldığı menüdür.

2.2.12. Help Menüsü: Programla ilgili yardım bilgilerinin bulunduğu menüdür.⁽¹³⁾

2.3. Betonarme Çok Kath Yapılarında Uygulanan Taşıyıcı Sistemler

Genel olarak, bir yapıya taşıyıcı sistem seçerken ve bu taşıyıcı sistemi boyutlandırırken, yapı mühendisinin öncelikle düşündüğü, yapının düşey yükler için yeteri güvenlikli olmasını sağlamaktır. Çünkü, yapı ömrü boyunca sadece düşey yükler etkisinde değil, zaman zaman da olsa yatay yüklerle maruz kalacaktır. Sadece düşey yüklerle göre taşıyıcı sistem seçimi ve boyutlandırma, yapının ayakta kalabilmesi için yeterli görülse de yapının yatay yükler için de yeterli olduğunun kontrol edilmesi gereklidir. Yapı fazla yüksek olmadıkça ve depremselliği yüksek olan bölgelerde inşa edilmedikçe, yatay yük etkilerine göre kontrol düşey yükler için seçilen taşıyıcı sistemi ve belirlenen boyutları önemli ölçüde değiştirmez. Yapı yüksekliği ve inşa edildiği yörenin depremselliği arttıkça yatay yük etkilerinin büyümesi nedeniyle

düşey yüklerle göre boyutlandırılan yapı yetersiz kalır, hatta zaman zaman yatay yük etkilerini güvenle taşımaya yönelik özel taşıyıcı sistemler seçmek gerekir.⁽³⁾

Bina türünde yapıların taşıyıcı sistemleri üç grupta toplanabilir. Birinci grup düşey yüklerin doğrudan etkidiği, yatay yada yataya yakın plak ve kiriş gibi elemanların oluşturduğu kat dösemeleridir. İkinci grupta düşey veya düşeye yakın, perde, kolon gibi elemanlar sayılabilir. Üçüncü grupta yükleri zemine aktaran temeller yer alır. Birinci grup içinde sayılan ve kat dösemelerini oluşturan elemanların yalnız düşey yükleri değil, özellikle depremden oluşan yatay yükleri de perde veya kolonlara aktarma durumunda oldukları unutulmamalıdır. İkinci grup olarak alınan perde ve kolonlar, kat dösemesi ile birlikte bir çerçeveye sistemi oluştururlar. Kolonların ve perdelerin yükler altında davranışları oldukça farklıdır. Perdeler büyük atalet momentleri ile kolonlara göre daha rıjit oluklarından yer değiştirmelerin sınırlandırılmasında daha etkili bir taşıyıcı elemandır.

Taşıyıcı sisteme dayanım ve sünekliğin yanında, bu özelliklerin sisteme yayılı olarak bulunması ve sistemin bütünlüğünün sağlanmış olması da önemlidir.

Yüksekliği fazla olmayan binalarda daha sünek bir sistem olduklarından kolonlardan oluşan çerçevelerin tercih edilmesi gerektiğini, buna karşılık yatay yükten meydana gelen yer değiştirmelerin sınırlandırılması önemli bir sorun olan yüksek binalarda, sağladıkları rıjilik dolayısıyla perdelerin kullanılması gerektiğini gösterir. Çoğunlukla yüksek binalarda da kolonlar ve perdeler birlikte kullanılır.⁽¹⁴⁾

2.3.1. Çerçeveler

Kolonların ve döşeme sisteminin (kiriş veya döşemenin), süneklik sağlayacak şekilde monolitik yapımı ile çerçeve adı verilen taşıyıcı sistem elde edilir. Fabrika binası, atölye, hangar gibi büyük açıklıklı binalarda yalnız yatay yüklerin taşınmasında değil, aynı zamanda

düşey yüklerin taşınmasında da çerçeveler elverişli bir taşıyıcı sistem oluştururlar. Konut ve büro binası türünde çok katlı ve çok gözlü çerçevelerden oluşan yapılarda düşey yük etkisinde çerçeve moment diyagramı ile sürekli kiriş moment diyagramının farkı azdır. Çerçevenin asıl önemli rolü yatay yüklerin, sağlanan kiriş-kolon sürekliliği sayesinde taşınabilmesindedir. Çerçevelerin deprem yüküne karşı koyabilmeleri, süneklik, dayanım ve rıjilikleri ile belirlenir.⁽¹⁴⁾

2.3.2. Perdeli Çerçeveler

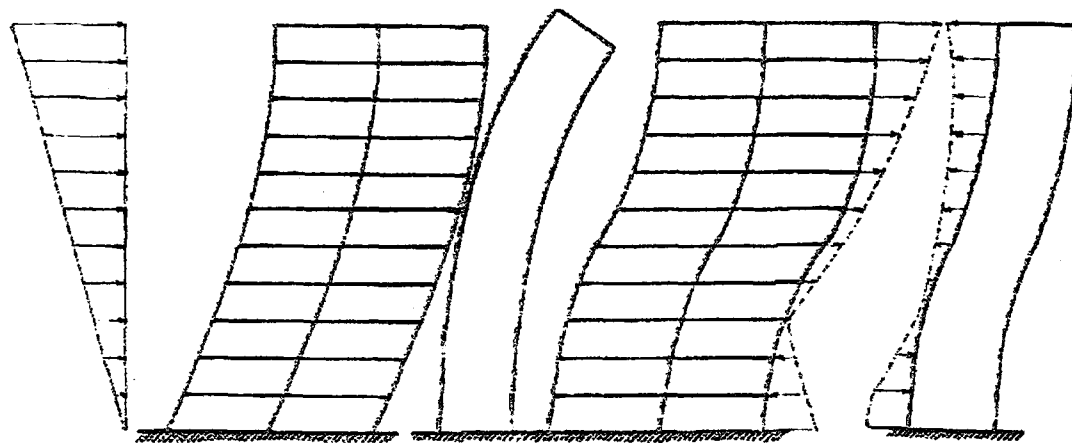
Betonarme çok katlı yapılarda, çerçevelerin yatay yükleri taşıma konusunda yetersiz kaldığı durumlarda genellikle taşıyıcı sisteme perde elemanlar katma yolu tutulur. Boşluksuz perdelerin rıjilikleri ve dış etkilerden oluşan gerilme ve şekil değiştirmeler belirlenirken eğilme teorisi kullanılır.

Perdelerde zaman zaman kapı ve pencere boşlukları bırakmak gereklidir. Boşluklu perdeler daha karmaşık hesap sorunları doğururlar. Boşluklar genellikle perde yüksekliği boyunca düzgün aralıklarla sıralanırlar. Boşlukların her iki yanındaki perde elemanları ya bağlantı kirişleri ile ya da dösemelerle birbirlerine bağlanırlar.

Boşluklar küçük ise perdenin tüm olarak gerilme durumu üzerindeki etkileri küçük kalır. Büyük boşlukların etkisi daha fazla olacaktır. Yeteri kadar büyük boşluklar perdenin, çerçeve etkisinin payının büyük olduğu bir davranış göstermesine neden olur.⁽³⁾

Perdeler tek başlarına düşünüldüğünde bir konsol kiriş oldukları halde, taşıyıcı sistem içinde bağ kirişleri veya bu işlevi yapan döseme elemanı, varsa çerçeve kolonları ile etkileşimi nedeni ile moment diyagramları bir konsolunkinden farklıdır. Bu fark

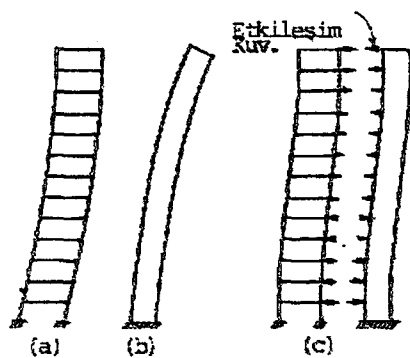
etkileşimi sağlayan elemanların önem derecesi ile değişir.



Şekil 1 Çerçeve ve Perdenin Ayrı Ayrı ve Beraberce Yerdeğiştirme Şekilleri

Çerçevelerin şekil değiştirmesinde kayma modu etkindir. Burada katlar arasındaki relatif yer değiştirme sadece o kattaki kat kesme kuvvetine bağlıdır (Şekil 2.2a).

Perdeler ise eğilme modu etkin olan bir şekil değişimi gösterirler. (Şekil 2.2b).⁽³⁾



Şekil 2.2

a-Rijit çerçeveye. Kayma tipi şekil değiştirme.

b-Perde. Eğilme tipi şekil değiştirme,

c-Perde-Çerçeve Sistemi.

Perdelerin plandaki yerlerinin belirlenmesinde binanın fonksiyonu ve mimari nedenler etkili olur. Ancak perde konabilecek yerler arasında planda çerçeveye yakın olanların, simetriyi de sağlayacak biçimde seçilmesi, yapının burulma rijitliğini artırması bakımından uygundur. Taşıyıcı sistemin rijitliğini büyük ölçüde artıran perdelerin yalnız bir doğrultuda yerleştirilmesi, iki doğrultuda çok farklı açısal frekans ve yer değiştirme nedeniyle, dengesiz bir davranış ortaya çıkararakından sakincalıdır.⁽¹⁴⁾

Perdelerin yapının kenarlarına yakın olması, burulma düzensizliğini olumlu yönde etkilemektedir. Uygulamada yapıların orta bölgelerine yakın konumda perdelerin tercih edilmemesi, hiç değilse bu konumdaki perde ve çekirdeklerin kenarlardaki perdelerle dengelenmesi uygun olacaktır.

Yapıların depreme karşı davranışlarında perdelerin varlığı yadsınamaz. Ancak, özellikle az katlı yapılarda aşırı oranda perde kullanılması, burulma bakımından olumsuz

sonuçlar verebilmektedir. Perdelerin hem olumsuz konumda hem de aşırı oranda olmaları, burulma düzensizliğini artırmaktadır.⁽¹⁰⁾

2 . 4. Yatay Yükler Altında Davranış

Betonarme yapıların, düşey yükler yanında yatay yükleri de güvenli bir şekilde taşıması gereklidir. Bina türünden betonarme yapılarda sabit yükler sınıfında sayılan taşıyıcı ve taşıyıcı olmayan elemanların ağırlıkları ile hareketli yükler düşey yükleri oluştururlar. Deprem ve rüzgar etkileri ise en önemli yatay yükleri meydana getirirler. Bu yükler düşey yüklerden farklı bir özellikte olduğu için, yapının güvenliği sağlanırken taşıyıcı sistem esas alınması ve ilgili konstrüktif kurallara uyulması önemlidir.

2.4.1. Deprem Etkisi Altında Davranış

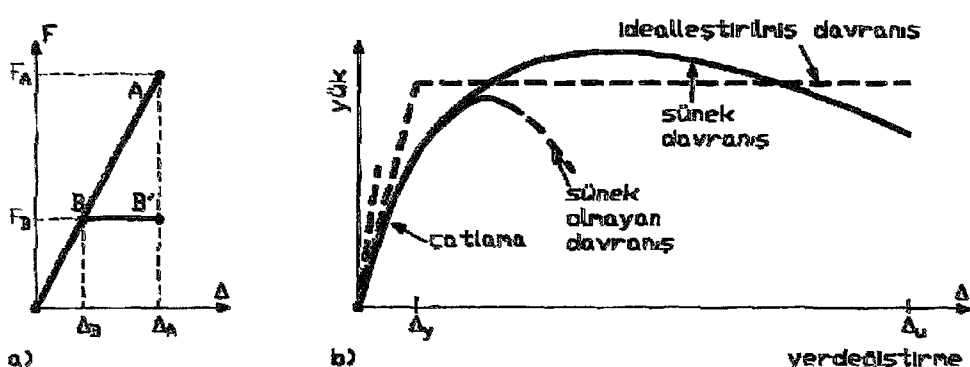
Taşıyıcı sistem inşa edilirken başlangıçtan itibaren kendi ağırlığını taşımaya başlar yüklerin üstüne gelen düşey faydalı yükler de benzer türden özelliğe sahiptir. Hareketli yükün taşıyıcı sisteme etkimesi, ani değil belirli bir süre içinde gerçekleşir. Yükleme ve bu yüklemenin değeri bir zaman içinde meydana geldiği için, taşıyıcı sistemde kusurlar ortaya çıktığında, hemen yük boşaltılarak tedbir alma yönüne gidilir. Rüzgar ve özellikle deprem yükleri ise, çok kısa zamanda etkiler ve dinamik özellik gösterirler. Daha önce herhangi bir yatay yükleme altında kalmayan taşıyıcı sistem kısa bir zamanda önemli bir yatay etki ile zorlanır. Taşıyıcı sistemdeki kusurlar çok kısa bir zamanda ortaya çıktığı için herhangi bir tedbir almak veya yüklemeye etkili olmak mümkün olmaz.

Depremlerin büyüklükleri ortaya çıkardıkları enerjiye bağlı olarak belirlenir. Büyük depremler şiddetli hasarlar meydana getirirler ve seyrek meydana gelirler. Yani, dönüşüm periyotları uzundur. Buna karşılık sık meydana gelen küçük depremler az hasar meydana getirir ve dönüşüm periyotları küçüktür. Deprem Yönetmelikleri'nde yapının amacına bağlı olarak dönüşüm periyodu 100 ile 500 yıl arasında bulunan depremlere karşı binanın dayanımı söz konusu edilir. Ancak, bu tür depremlerden oluşan kesit etkilerinin taşıyıcı sistemin elastik davranışını ile karşılaşması mümkün değildir. Buna karşılık bu değerlerin %15-25 gibi oldukça küçük bir oranını elastik davranış içinde karşılaşması esas alınır ve daha büyük depremlerin taşıyıcı sistemde meydana gelecek elastik ötesi şekil değiştirmeler ve enerji tüketilmesi ile karşılaşacağı kabul edilir. Bunun sonucu olarak taşıyıcı sistemin dayanım kapasitesine sık rastlanan şiddeti düşük depremlerde erişilir. Bu durumda deprem etkisi yönünden yapının dayanım kapasitesine erişmesinin yıllık ihtimali % 1 ~ 3 gibi yüksek oran olarak ortaya çıkar. Bunun yanında düşey yükler altında taşıyıcı sistemin dayanım kapasitesine erişmesi ise % 0,01 gibi oldukça düşük bir oran civarında bulunur. Bu iki değer kıyaslandığında deprem etkisinin karşılaşmasındaki eksikliklerin ne derecede sorun meydana getireceği anlaşılır.⁽¹⁴⁾

Depremlerden sonra yapılan incelemelerden bir kesitte yeterli eğilme momenti dayanımı bulunmamasının, taşıyıcı sistemin bütünlüğü bozulmamak koşulu ile, her zaman ağır hasara veya göçmeye götürmediği belirlenmiştir. Bunun yanında kesme kuvveti etkisinin karşılanamamasından ortaya çıkan elastik ötesi şekil değiştirmelerin önemli hasara neden olduğu gözlenmiştir.

Yapılan çalışmalar, normal orta ve yüksek katlı binaların tipik bir depremde zorlanması durumunda çözümlemenin elastik veya elastik ötesi davranış

esas alınarak yapılmasına bağlı olmaksızın aynı mertebede yatay yer değiştirmenin meydana geldiğini göstermiştir. Şekil 2.3.de görüldüğü gibi her iki durumda A ve B' gibi farklı noktalara erişilmesine karşılık, aynı mertebeden Δ_A gibi bir yatay yer değiştirmesi ortaya çıkmaktadır. Bunun gibi, verilen bir depremde yapının tamamen elastik davranış gösterdiği kabul edilmesi durumunda, yönetmeliklerde öngörülen yüklerin kullanılmasına göre 3 ile 6 kat arasında değişen kesit etkileri ve yer değiştirmeler meydana gelir. Bunun sonucu olarak yapılan incelemeler, dikkati dayanımından elastik ötesi davranışa kaydırılmıştır. Taşıyıcı sistemin elastik ötesi yer değiştirmelerinin büyük olması veya sünec olması ile deprem enerjisinin sökümlenebileceği ve elemanlar arasında yardımlaşma sayesinde daha büyük deprem etkilerinin karşılanabileceği öne çıkmıştır. Ancak, elastik ötesi şekil değiştirmeler her zaman kolayca güvenilecek bir özellik değildir. Yerine göre bir kısmı süneklik sağlarken bir kısmı da meydana gelen aşırı ikinci mertebe etkileri nedeniyle sistemin göçmesine sebep olabilir.⁽¹⁴⁾



Şekil 2.3 a) Elastik Olan Elastik Olmayan Kuvvet Yer Değiştirme Bağıntısı
b) Betonarme Elemanda Yük-Yer Değiştirme Bağıntısı

2.4.2. Rijitlik, Dayanım ve Süneklik

Yatay kuvvetler altında yapıdaki yer değiştirmelerin hesabı yanal rijitliğin belirlenmesine bağlıdır. Brüt eleman kesitlerinden ve betonun başlangıç elastiklik modülünden hareket edildiğinde, bulunacak rijitlik yatay yükün çok düşük seviyesi için geçerli olur. Kullanılabilirlik sınır durumundaki rijitlik için, betonun çatlamasının göz önüne alınması uygundur. Binada taşıyıcı olmayan elemanlar, taşıyıcı olanlara göre daha az elastiktir ve gevrek bir davranış gösterirler. Rijitliğin arttırılması ile katların birbirine göre olan relatif yatay ötelenmesi sınırlanılarak özellikle taşıyıcı olmayan elemanlarda meydana gelecek hasarı kontrol altına almak mümkündür. Bunun yanında özellikle yüksek yapılarda deprem sırasında düşey yüklerin ikinci mertebe etkilerini sınırlı tutmak için yerdeğiştirmelerin sınırlanılması amacıyla rijitliğin artırılması gereklidir.

Seçilen bir deprem etkisine karşı taşıyıcı sistemin gerekli dayanımı sahip olması boyutlamanın esasını teşkil eder. Dayanımın sağlanması sadece kesitte gerekli donatının bulunması olarak kabul edilmemelidir. Donatının aderansının sağlanması, gerekli kenetlenme boyuna sahip olacak şekilde başlangıç ve bitiş yerlerinin seçilmesi ve betonun yerleştirilmesini zorlaştıracak donatı düzenlerinden kaçınılması da, dayanımın oluşması için gereklidir. Ayrıca, konstrüktif kurallara uyulması da öngörülen dayanımın oluşmasında önemlidir. ⁽¹⁴⁾

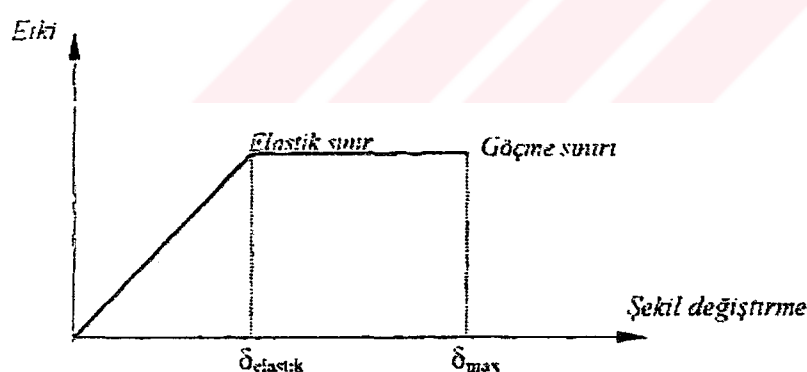
Seyrek meydana gelecek şiddetli deprem etkisini, yapını elastik davranışının üzerinde şekil değiştirerek karşılaması öngörlür. Böyle bir durumda ise elastik olmayan davranış önem kazanmaktadır. Yapının elastik sınırı geçip, sünerek kesit zorlarında önemli artmalar olmadan şekil değiştirmesi arzu edilir. Bu yolla depremin dinamik etkisi ısı enerjisine dönüşerek yutulmakta ve

sönümlenmektedir. Sünme bölgesinin uzun olması, şekil değiştirmeleri ve onun yanında sönümu artıracaktır. Bu özelliğe sahip yapılar sünek olarak isimlendirilir, süneklik ölçüsü için değişik tanımlar varsa da en uygun olanı Şekil 4'e uygun olarak

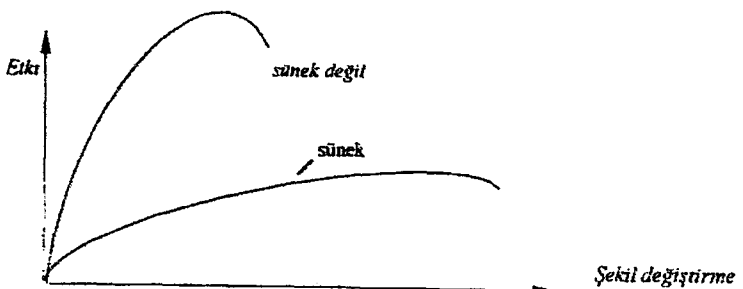
$$\mu = \delta_{\max}/\delta_{\text{elastik}} \quad (2.1)$$

şeklinde verilebilir. Süneklik, yapının mukavemetinde önemli ölçüde azalma ile kararsız denge olmaksızın deprem sırasında ortaya çıkan enerjinin oldukça büyük kısmını, elastik sınırının ötesinde elastik olmayan davranışla ve tersinir, dönüşümlü büyük şekil değiştirmelerle yutma yeteneğidir veya süneklik göçme sırasında büyük ve elastik olmayan şekil değiştirmelerin ortaya çıkması olarak görülebilir.

Gerçek malzeme, şekil 2.4'de verilen ideal elasto-plastik davranıştan daha çok şekil 2.5 de verilen iki eğri arasındaki bir davranışa sahiptir. Burada sünek olan ve olmayan davranışlar arasındaki fark daha açık bir şekilde görülmektedir⁽¹⁵⁾



Şekil 2.4 Elasto-plastik Etki-şekil İlişkisi



Şekil 2.5 Sünek ve Sünek Olmayan Etki Şekil Değiştirme İlişkisi

Yapılar, ilgili yönetmelikte Süneklik Düzeyi Normal Sistemler ve Süneklik Düzeyi Yüksek Sistemler olarak iki gruba ayrılmıştır. Süneklik Düzeyi Yüksek olan sistemlerde, oluşturulan yüksek süneklikten dolayı elastik deprem yüklerinin daha büyük bir katsayı ile azaltılması öngörülmüştür. Bir sistemin süneklik düzeyinin yüksek olabilmesi için özellikle aşağıdaki hususların sağlanması gereklidir:

- Kiriş ve kolonlarda sık etriye düzeni kullanılarak, betonun hem dayanımını ve hem de sünekliği artırılmalıdır. Örneğin, depremde en çok zorlanması beklenen kolon-kiriş birleşim bölgelerine yakın kiriş ve kolon kesitlerinde etriye sıklaştırılmasının yapılması gibi.
- Betonarme elemanlarda sünek güç tükenmesinin, gevrek olandan daha önce ortaya çıkması sağlanmalıdır. Örneğin, kiriş ve kolon gibi elemanlarda ve birleşim bölgelerinde gevrek güç tükenmesi ortaya çıkan kesme kuvveti kapasitesinin, sünek güç tükenmesi ortaya çıkan eğilme momenti kapasitesinden daha yüksek tutulması gibi.⁽¹⁵⁾

2.4.3 Yapı Elemanlarının Genel Davranışı

2.4.3.1.Dösemeler

Dösemeler esas olarak düşey yükleri karşılar ve bunları kolon ve perdelere iletirler. Bunun yanında deprem yüklerinin düşey taşıyıcı elemanlara dağıtilması da dösemeler tarafından yapılır. Bu durumda dösemeler düzlemleri içindeki yükler etkisi altında bulunur ve yük aktarmaları diyafram davranışları ile ortaya çıkar.⁽²⁾

- Düşey taşıyıcıları kat düzeylerinde birbirlerine bağlar.
- Kendi düzlemleri içinde sonsuz rijit kabul edilirler.
- Kat düzeyinde, düşey taşıyıcıların eşit ötelenme yapmasını sağlar.
- Her düşey taşıyıcı, kendi ötelenme rijitliğine orantılı olarak, toplam deprem kuvvetinden pay alır.
- Depremin oluşturduğu eylemsizlik kuvvetlerini düşey taşıyıcılara dağıtmak.
- Bu dağıtımda, diyafram içinde önemli kesme kuvvetleri ve momentler oluşacak.

Dösemede delikler ve keskin köşeler, oluşan kesme kuvvetlerine ve momentlere karşı direnci zayıflatabilir⁽¹⁶⁾

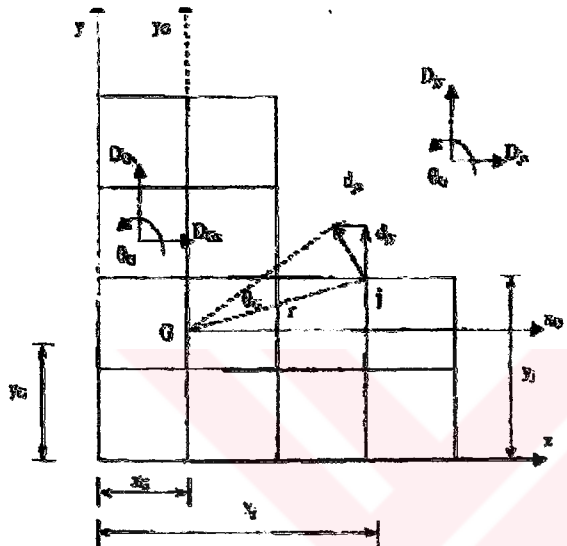
Rijit diyafram kabulünde dösemelerin düzlemi içinde sonsuz rijit olduğu yani şekil değiştirmediği kabul edilmektedir. Böylece döseme üzerinde seçilen bir “Master Noktası”nın birbirine dik iki yatay öteleme ve döseme düzlemine dik eksen etrafında dönme deplasmanlarının bilinmesi durumunda, döseme üzerindeki diğer düğümlerin deplasmanları, master noktası deplasmanlarına bağlı olarak hesaplanabilmektedir. Kolon, kiriş ve rijit diyafram dösemelerinde her katta;

$$3 * (\text{Düğüm Sayısı}) + 3 \quad (2.2)$$

adet bilinmeyen deplasman bulunmaktadır. Dolayısıyla N katlı bir yapıda ,

$$\text{Bilinmeyen sayısı} = N^*(3*j+3) \quad (2.3)$$

j = kattaki düğüm sayısı olacaktır. Şekil 2.6'nın incelenmesinden görüleceği gibi döşemeye ait j noktasındaki deplasmanlar master nokrası deplasmanları cinsinden:



Şekil 2.6 Rijit Diyafram Modeli

$$\theta_j = \theta_g \quad (2.4)$$

$$D_{jx} = D_{gx} - \theta_g * (y_j - y_g) \quad (2.5)$$

$$D_{jy} = D_{gy} + \theta_g * (x_j - x_g) \quad (2.6)$$

Bağıntıları ile hesaplanabilir. Düğüm noktalarına diğer deplasmanlar ise $(3*i)$ düğümlerin iki yatay eksen etrafındaki dönme ve düşey eksen doğrultudaki öteleme deplasmanları olup bu deplasmanlar master noktası deplasmanlarından bağımsızdır.

(17)

2.4.3.2. Kolonlar

Yapılarda genellikle oluşturulan çerçevenin düşey taşıyıcıları kolon olarak isimlendirilir. Ancak bu tanım, normal kuvvetin eğilme momentine göre daha etkin olduğu elemanlar kolon olarak kabul edilerek genelleştirilebilir. Deprem hareketi her iki yönde ve her iki doğrultuda meydana gelmesi nedeniyle, genellikle kolonlar eksenlerine göre simetrik donatılır. Deprem sırasında, kolonlardaki basınç kuvvetinde genellikle küçük artma ve azalma görülür. Buna karşılık depremden meydana gelen eğilme momenti, düşey yüklerden doğandan çok daha etkili olabilir. Genel olarak eğilme momenti yanında normal kuvvetin bulunması sünekliği azaltır. Kolon gibi, normal kuvvetin taşınmasının gerekliliği olduğu elemanlarda kesit büyütülerek dolayısıyla gerilme düşürülerek bu olumsuz durum bir ölçüde giderilmeye çalışılır.

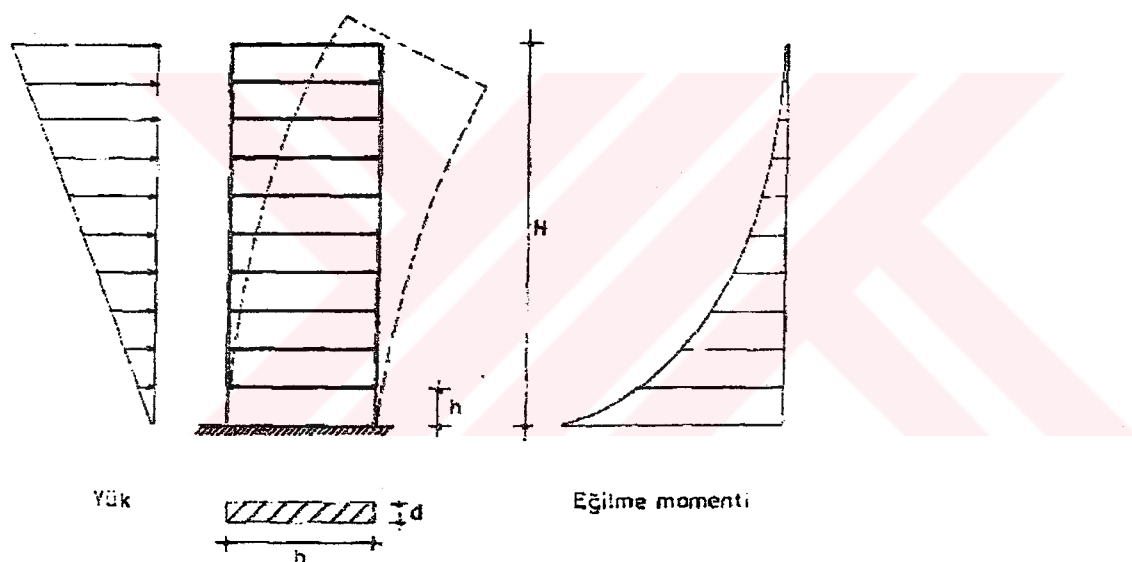
Çerçevevi yapılarda depremden meydana gelen eğilme momenti, kolonda doğrusal bir değişim göstererek, kolon alt ve üst uçlarını daha fazla zorlar. Kolonlarda betonda basınç gerilmeleri etkin olduğu için, betonun yanal şekil değiştirmesinin sınırlandırılması ile hem beton basınç dayanımında ve hem de süneklikte önemli artış sağlamak mümkündür.⁽²⁾

2.4.3.3. Perdeler

Pek çok yüksek yapıda yatay yüklerin karşılanmasıında perdeler etkili bir şekilde kullanılır. Çerçevelerle beraber veya bağ kırıları ile birleşen perde grupları halinde de kullanılabilir. Plandaki yerleri ve geometrileri genellikle mimari fonksiyonların bir sonucu olarak ortaya çıkar. Perdeler, yüksek binalarda, dayanım yanında yanal yerdeğiştirmeyi sınırlaması yönünden de tercih edilir. Büyükk

depremlerde, perdeler plastik şekil değiştirmelerle yatay kuvvetlerin dinamik etkisine karşı koyar. Özenli şekilde düzenlenen perdeler, taşıyıcı sistemin toplam göçmesini önledikleri gibi, yapısal olmayan hasarların sınıflandırılmasında da etkili olurlar.

Tek başına bulunan bir perde betonarme konsol kolon gibi davranır. Ancak, perdenin ince kesiti yanal burkulma tehlikesini akla getirirse de, genellikle çok katlı binalardaki döşemeler perdede yeterli bir yanal rijitlik oluşturarak bu tehlikeyi ortadan kaldırırlar. En çok zorlana kesit tabanda olup, eğilme momenti ve normal kuvvet etkileşimi gözönüne alınarak boyutlandırılır.



Sekil 2.7 Yatay Yük Altındaki Perde

Perdeler kolonlara göre rijitliklerinin büyük olması nedeniyle yatay yüklerin önemli bir kısmını karşılarlar ve kesitlerinde önemli eğilme momenti meydana gelir.⁽²⁾

2.4.3.3.1 Perdelerle İlgili Enkesit Koşulları

Perdeler planda uzun kenarının kalınlığına oranı en az yedi olan taşıyıcı sistem elemanlarıdır. Deprem yüklerinin tamamının bina yüksekliği boyunca sadece perdeler tarafından taşıdığı binalarda,

$$\Sigma A_g / \Sigma A_p \geq 0.002 \quad (2.6)$$

$$V_t / \Sigma A_g \leq 0.5 f_{ctd} \quad (2.7)$$

ΣA_g : Herhangi bir katta, göz önüne alınan deprem doğrultusuna paralel doğrultuda perde olarak çalışan taşıyıcı sistem elemanlarının enkesit alanlarının toplamı

ΣA_p : Binanın tüm katlarının alanları toplamı

V_t : Binaya etkiyen toplam deprem yükü

f_{ctd} : Betonun tasarım çekme dayanımı

ile verilen koşulların sağlanması durumunda, perde duvar kalınlığı, binadaki en yüksek katın yüksekliğinin 1/20'sinden ve 150mm'den az olmayacağı, Bu özel durum dışında perde kalınlığı kat yüksekliğinin 1/15'inden ve 200mm den az olmayacağı. ⁽¹⁾

Yapıya yeterli ötelenme rijitliğinin sağlanması için, perde duvarların iki şartı bir araya getirmesi gereklidir.

a- Kat planına oranla, toplam perde alanlarının miktarı yeterli olmalıdır.

Uygulamada, x ve y yönlerinde yaklaşık olarak

$$\Sigma A_g / \Sigma A_p \geq 0.002 \text{ (kat planı içinde)}$$

Bu oran kullanılarak, perde miktarı hesaplanır, ve kat planı içine, bireysel perdeler olarak dağıtilır. Depremde hasar görmüş yapıların onarılması ve güçlendirilmesinde yaklaşık 0.01 oranında perde kullanılabilir.

b- Perde duvarlar, kat planı içinde, belirli ilkeleri yerine getirecek şekilde dağıtılmalıdır.

- Yapıya en büyük burulma rıjitliğinin sağlanması için perde duvarlar yapı planının çevresine dağıtılmalıdır. Aynı düzlem içinde kalan perde duvarlar, tek başlarına konsol kiriş olarak çalışabildikleri gibi, birbirlerine bağ kirişleri ile bağlanarak perde çifti olarak düzenlenlenebilir.

- Perde duvarlar kat planı içinde, döşeme yüklerinin olabildiğince yüksek kısmını, eksenel kuvvet olarak, temele aktaracak gibi düzenlenmelidir. Bu yapıldığı takdirde, duvarlarda kullanılacak eğilme momentine karşı donatı miktarı azalır. Aynı zamanda, bu tür perde düzenlemeleri sonucu, perdelerin temele aktardığı devrilme momentine karşı koyabilecek uygun temel sistemini oluşturmakta kolaylaşır.

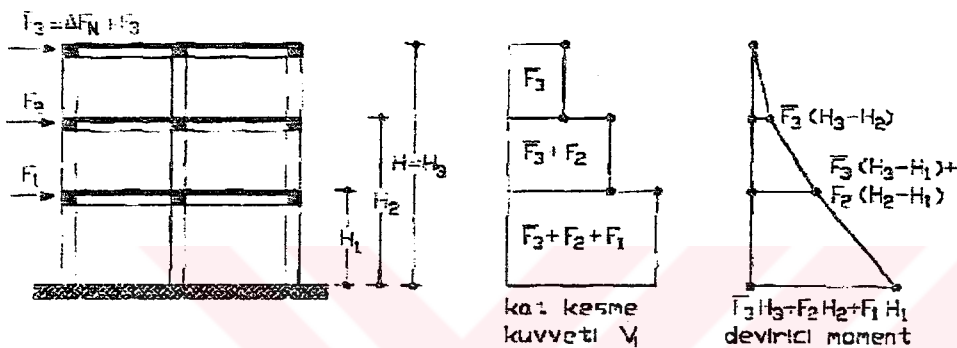
- Çok katlı yapılarda, yapının deprem direncinin yalnız birkaç tane perde duvarlarda yoğunlaştırılması, temel sistemini, yalnız birkaç noktada, çok büyük deprem etkisine maruz bırakır. Bu yoğun deprem kuvvetlerine karşı koyabilmek için, ekonomik olmayan ağır bir temel sistemi gerekebilir.

Perde duvarlar, kat planı içinde her iki yönde de yerleştirilmelidir. Depremin geliş yönü, yapı planının zayıf devrilme ekseni v.b. düşüncelere itibar edilmelidir.⁽¹⁶⁾

2.4.4. Yapının Genel Davranışı

Yatay yükler altındaki binanın davranışını bir düşey konsolunkine benzetilebilir.

Etkiyan yatay kuvvet, temele taban kesme kuvveti ve devirici moment olarak iletilir. Her kata etkiyan yatay kuvvetin bilinmesi durumunda, kat kesme kuvvetleri ve devirici momentler kolayca hesaplanabilir (Şekil 2.8).

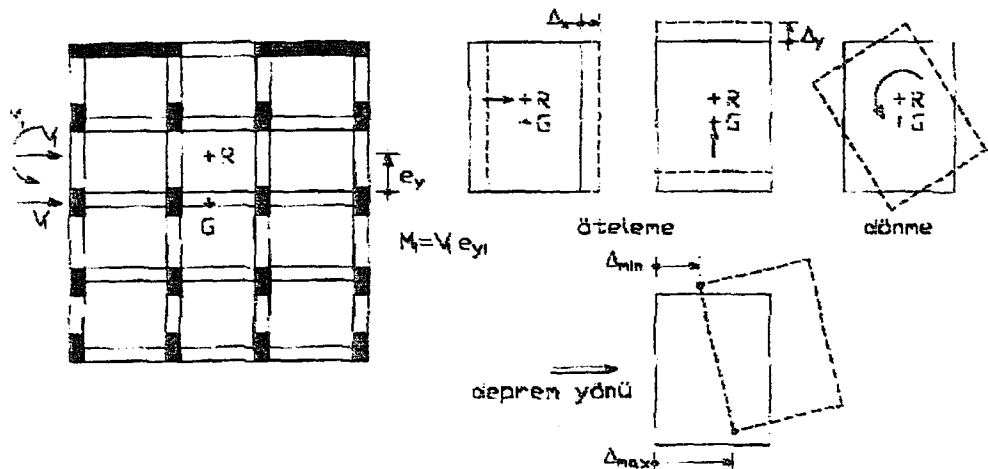


Şekil 2.8 Katlara Gelen Yatay Kuvvetler

Deprem durumunda ivme nedeniyle meydana gelen F_i atalet kuvvetlerinin, kütlelerin yoğunlaştığı kat seviyelerinde etkidiği kabul edilir. Her kata etkiyan bileşke deprem kuvvetinin etki noktası, her kattaki kütle merkezi olur. Düzenli binalarda bu nokta kattan kata çok az değişir. Ancak, düşeyde düzensiz olan binalarda, kattan kata fark eder. Kat kesme kuvveti V_t ise, üst kattaki deprem yüklerini dengelemek durumunda olduğu için, atalet kuvvetlerinin etki noktalarına bağlı olarak ortaya çıkar. Üst katların kütle merkezinin aynı düşeyde bulunduğu durumda, kat kesme kuvveti de bu noktada etkir. Her ne kadar deprem yükü bu noktada hareketin yönüne

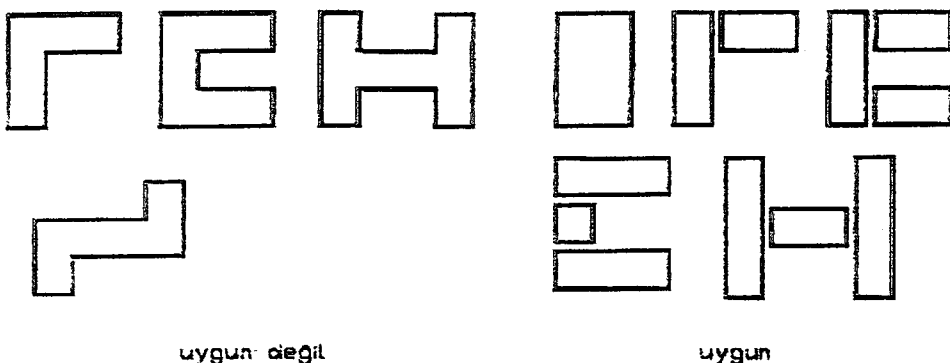
bağlı olarak herhangi bir yönde etkili olursa da, deprem yükünün ayrı ayrı binanın iki asal ekseni doğrultusunda etkidiği kabul edilir. Gerekirse herhangi bir doğrultuda etkimesini gözönüne almak amacıyla iki doğrultuda bulunan değerler uygun şekilde birleştirilir.

Yatay kuvvetlerin etkisiyle bir kat döşemesi alttaki kat döşemesine göre relativ olarak hareket eder. Eğer bu öteleme binanın bir asal doğrultusunda tüm kat kolonlarında aynı doğrultuda ortaya çıkarsa, kat kesme kuvvetleri kolon öteleme rijitliği ile orantılı olur. Bu durumda kolon kesme kuvvetlerinin bileşkesi R kat rijitlik merkezi üzerinde olur. İki doğrultuda kat rijit ötelenmesi düşünülerek kat rijitlik merkezi bulunabilir. Planda kolonlar düzgün dağılmışsa rijitlik merkezi şeclin geometrik merkezine dolayısıyla G kütle merkezine yakın bulunur. Ancak, bina planda düzenli değilse, kolonlar planda iyi dağılmamışsa veya binada simetrik yerleştirilmeyen perdeler varsa, rijitlik merkezi rijit elemanlara doğru kayar ve Şekil 2.9'da gösterilen dışmerkez durum ortaya çıkar. Kütle merkezinde bulunan kat kesme kuvveti bu noktaya geçirildiğinde ilave bir burulma momenti oluşur. Bu da, binayı planda rijitlik merkezi etrafında döndürmeye çalışırken, kolona İlave kesme kuvvetleri meydana getirir. Ek burulma momentinin etkisini azaltmak ve kat relativ yerdeğiştirmelerini sınırlamak bakımından kütle merkezi ile rijitlik merkezini birbirine yaklaştırmak uygundur.



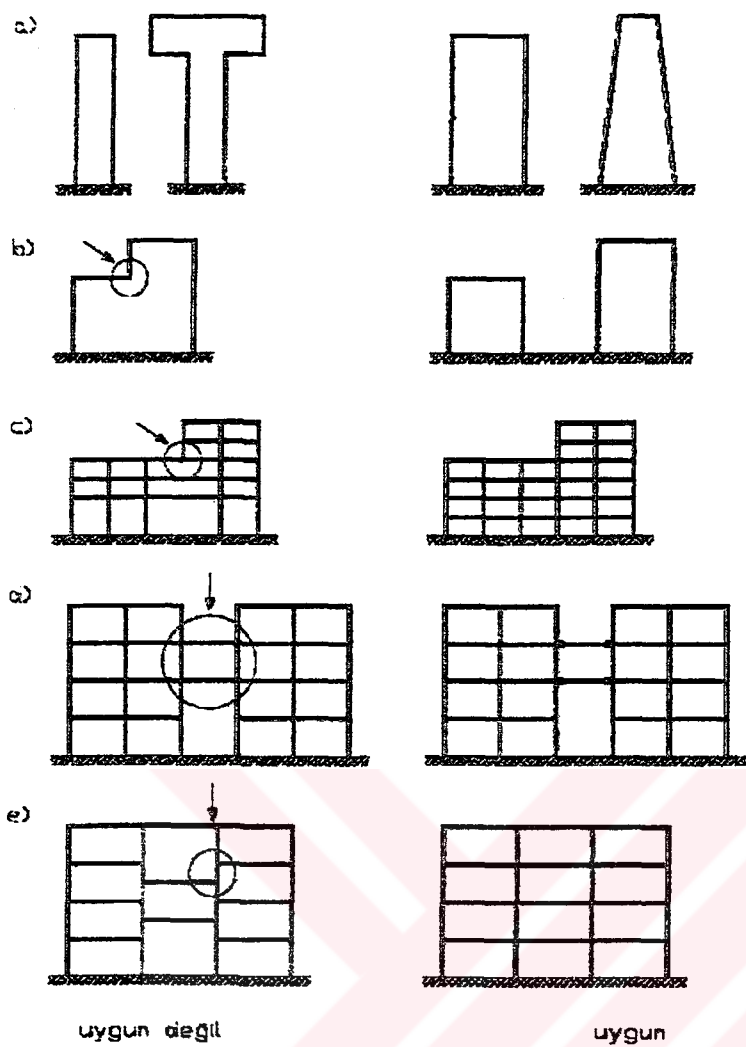
Şekil 2.9 Dışmerkez Durumun Oluşması

Ek zorlamaların çıkışmasını önleyerek, depremin taşıyıcı sistemindeki etkisini azaltmak için yapının planda basit ve düzgün seçilmesi uygundur. T ve L gibi şekillerden kaçınmalıdır. Şekil 2.10'da gösterildiği gibi bunlar basit dikdörtgenlere bölünerek kullanılmalıdır. Şekil 2.11'de gösterildiği gibi, yüksek ve narin binalar devirici momentin zemine güvenli şekilde iletilmesinde geniş temeller gerektirdiği için tercih edilmelidir. Bunun gibi yüksekte toplanmış binalarda alt katlar aşırı bir şekilde zorlanacağı için elden geldiği kadar kaçınılması gereklidir.



Şekil 2.10 Yapı Plan Şekilleri

Bina düşey kesitte ani süreksizliğe sahipse, bu yerde aşırı zorlanmalar oluşacağı için, bu durumu önleyecek tedbir almak gereklidir. Taşıyıcı sistemde düzenli durumun ani olarak bozulması, örneğin bir süreksizlik ortaya çıkarılması, hem düşey ve hem de yatay yükler altında yükü iletimindeki normal akışı bozacağı için uygun değildir. Bir taşıyıcı sistemde kolon gibi düşey elemanların temelden çatıya kadar sürekliliğinin sağlanması, böylece güvenli olarak temele iletilmesi önemli bir husustur. Şekil 2.11'de gösterilen iki bina tamamen aynı olsa bile, depremde aynı fazda titremeyebilir. Bu nedenle iki bina arasındaki köprü şeklindeki bağın binaların farklı serbest yatay titreşimini mümkün kılacak ve yatay bir kuvvet iletimini önleyecek şekilde oluşturulmasıyla, ek zorlanmaların meydana gelmesi önlenebilir.⁽¹⁴⁾



Şekil 2.11 Taşıyıcı Sistemdeki Düzensizlikler

2.5.Betonarme Yüksek Yapılarda Yatay Yük Etkisi

Tüm dünyada olduğu gibi, önemli deprem hattı üzerinde bulunan ülkemizde de inşa edilen binaların çoğu betonarme olarak yapılmaktadır. Yüksek mukavemetli beton ve çelik kullanımı ile üretilen bu türden yapılar, uzun ömürlü ve ekonomik olma özellikleri yanı sıra monolitik olma özelliğine de sahiptir.

Konvensiyonel tarzda genellikle 8-10 katlı, seyrek olarak 12-16, nadir olarak da 20 ve daha fazla katlı binalar inşa edilmekte olan ülkemizde, 20 yıldan bu yana ön yapım tekniği ile her türlü bina yapılmaktadır.

Yüksek yapıların deprem etkisi altındaki davranışında bazı özelliklerin bulunması istenir. Örneğin sık olan ve hafif şiddetteki depremlerden doğan titreşimlerin bina içinde yaşayınlarca hissedilmemesi, seyrek olan orta şiddetteki depremlerin etkisi altında lineerlik sınırının aşılmaması. çok seyrek olan büyük şiddetteki depremlerde ise can kaybının olmaması ve yalnız onarılabilir hasarların meydana gelmesi istenir.

Taşıyıcı sistemin bütün bu özelliklere sahip olması için hafif ve orta şiddetteki deprem etkisi altında rıjıt, büyük şiddetteki deprem etkisinde ise sünek (düktıl) bir davranış göstermesi gerekmektedir.

Yapılarda kat adedinin artması, alt katlardaki kesit boyutlarının büyümESİNE ve artan yük etkisiyle mukavemet açısından sorunların doğmasına neden olmaktadır. Bu türden problemler perde taşıyıcı elemanlarının kullanılmasıyla giderilebilmektedir.

Çerçeve süneklik oranının fazla, perde rıjitliğinin yüksek olması bu iki taşıyıcının bir arada kullanılabilmesini mümkün hale getirmektedir.⁽¹⁸⁾

2.6 Çok Katlı Yapılarda Plan Geometrisi

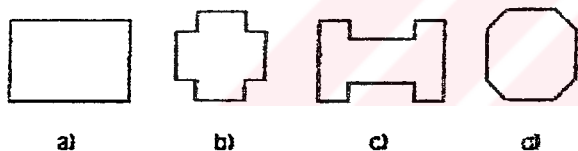
Çok katlı yapıları, plan geometrisi bakımından 3 sınıfa ayırmak mümkündür:

1. Simetrik yapılar,
2. Simetrik davranışlı yapılar,
3. Simetrik olmayan yapılar.

Aşağıda bu gruplar sıra ile ele alınarak burulma özellikleri özetlenecektir

2.6.1 Simetrik Yapılar

Planda en az iki ortogonal simetri ekseni bulunan yapılar "Simetrik Yapılar" olarak adlandırılmaktadır. Bu tip yapıların uygulamada kullanılan türlerinden bazlarının şematik planları Şekil 2.12'de gösterilmiştir.



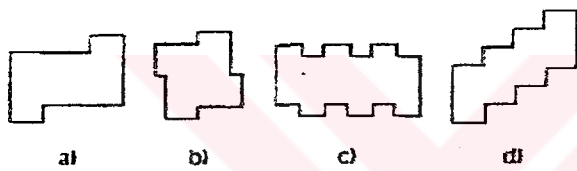
Şekil 2.12 Simetrik yapılar

Bu tür yapıların çoğunda, düşey taşıyıcı eleman olarak sadece kolonların kullanılması hafinde, burulma düzensizliği yoktur. Ancak, perde de kullanılması halinde, perdelerin konumlarının sistemin simetrisini bozmayacak biçimde yerleştirilmesi gereklidir. Ayrıca düşey taşıyıcı elemanlar bakımından da simetrik olan

bazı sistemlerde, yine perde konumlarından kaynaklanan ve "Gizli Burulma Düzensizliği olarak nitelendirilen bir durumla karşılaşılabilir.

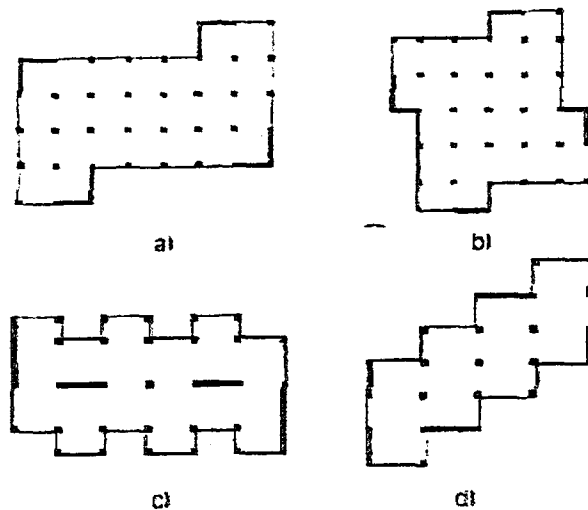
2.6.2 Simetrik Davranışlı Yapılar

Bazı yapılar, planda iki ortogonal simetri eksenleri olmamakla birlikte yatay yükler etkisi altında simetrik yapılar gibi davranış göstermektedir. Bunlar planda noktasal simetrik olan yapılardır. Bu tür yapılara ait bazı örneklerin şematik planları Şekil 2.13'de gösterilmiştir.



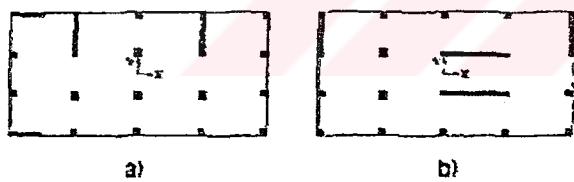
Şekil 2.13 Simetrik Davranışlı Yapılar

Bu tür yapılarda da, düşey taşıyıcı eleman olarak sadece kolonların kullanılması halinde, burulma düzensizliği yoktur. Ancak perde kullanılması durumunda, bunların yapının noktasal simetri durumuna uygun konumlarda yerleştirilmeleri gereklidir. Şekil 2.13'deki yapılarda, uygun perde yerleştirilmesine ait örnekler Şekil 2.14'de şematik olarak gösterilmiştir.



Şekil 2.14 Simetrik Davranışlı Yapılarda Perde Yerleştirilmesi

Geometrik bakımdan düzenli olan, fakat perdeleri noktasal simetrik biçimde yerleştirilmemiş olan bazı yapılar da bu kategoriye girmektedirler. Bu tip yapılara ait bazı örneklerin şematik kalıp planları Şekil 2.15'te gösterilmiştir.

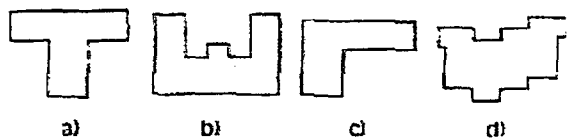


Şekil 2.15: Simetrik Davranışı Perdeleri Olan Yapılar

Bu tür yapıların özelliği, X ekseni doğrultusundaki perdelerin Y eksenine göre, Y ekseni doğrultusundaki perdelerin de X eksenine göre simetrik olarak yerleştirilmiş olmalarıdır. Bu nedenle bu tür yapılar, her iki doğrultudaki deprem etkileri altında simetrik olarak davranışmaktadır.

2.6.3 Simetrik Olmayan Yapılar

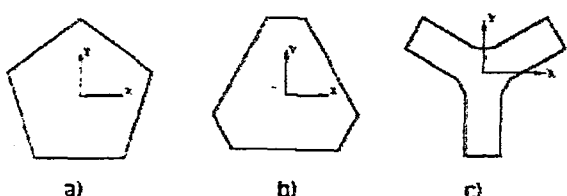
Plan geometrisinde iki ortogonal simetri ekseni olmayan yapılara ait bazı örneklerin şematik planları Şekil 2.16'da gösterilmiştir.



Şekil 2.16 Simetrik Olmayan Yapılar

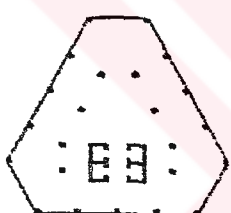
Göründüğü gibi, bu tür yapıların bazlarında tek simetri ekseni vardır (Şekil 2.16a ve 2.16b); bazı türlerde ise hiç simetri ekseni bulunmamaktadır, (Şekil 2.16c ve 2.16d). Bu yapılarda, simetriden şaşma miktarına ve özellikle de perde konumlarına bağlı olarak, az veya çok miktarda burulma düzensizliği olabilmektedir.

Ortogonal olmayan, yani bazı çerçeveleri ve/veya perdeleri birbirine dik düzlemler içinde olmayan yapılar, genellikle simetrik olmayan yapılar sınıfına girerler. Bu tür bazı yapıların planda 2'den çok sayıda, fakat ortogonal olmayan simetri eksenleri vardır. Merkezi simetrisi olan bu yapılara ait bazı örneklerin şematik planları Şekil 2.17'da gösterilmiştir.



Şekil 2.17 Merkezi Simetrisi Olan Yapılar

Deprem yönetmeliklerinde, bu tür yapıların deprem hesaplarının İki ortogonal doğrultuda yapılması ve tasarım büyülüklerinin özel bir superpozisyon formülü ile elde edilmesi öngörmektedir. Ortogonal deprem doğrultularından biri sistemin simetri eksenlerinden biri olarak seçilebilir. Örneğin Şekil 2.17'de gösterilen yapıların Y eksenleri doğrultusundaki davranışları simetrik olduğu halde X eksenleri doğrultusundaki davranışları simetrik değildir. Uygulamada özellikle perdelerin ve/veya çukurdeğerlerin konumları nedeniyle, bu tür yapıların merkezi simetri özellikleri de bozulmaktadır. Böyle bir yapının şematik kalıp planı Şekil 2.18'de gösterilmiştir. Bu tür yapıların burulma düzensizliği konusu bu çalışmanın kapsamı dışında bırakılmıştır.⁽¹⁹⁾



Şekil 2.18 Merkezi Simetrisi Bozulmuş Yapının Kalıp Planı

2.7. Analiz Yöntemleri

Yeni deprem yönetmeliğinde bina türü yapıların hesaplarında kullanılmak üzere üç yöntem önerilmektedir.

- a- Eşdeğer deprem yükü yöntemi
- b- Mod birleştirme yöntemi
- c- Zaman tanım alanında hesap yöntemleri

Bu yöntemlerden Mod Birleştirme ve Zaman Tanım Alanında hesap Yöntemleri her türlü yapı sisteminde uygulanabildiği halde, Eşdeğer Deprem Yükü Yönteminin uygulanabilmesinde deprem bölgesi, H_N yapı yüksekliği, A1- burulma düzensizliği ve B2 yumuşak kat düzensizliği ile ilgili koşullara bağlıdır.

2.7.1. Eşdeğer Deprem Yükü Yöntemi

Deprem hesabı yapılacak binalarda, Eşdeğer Deprem Yükü Yönteminin uygulanabilmesi için Çizelge 2.1'de verilen koşulların sağlanması gerekmektedir.

Çizelge 2.1 Eşdeğer Deprem yükü yönteminin uygulanabileceği binalar

DEPREM BÖLGESİ	BİNA TÜRÜ	TOPLAM YÜKSEKLİK SINIRI
1,2	A1 türü burulma düzensizliği olmayan varsa her katta $\eta_{bi} \leq 2$ koşulunu sağlayan binalar	$H_N \leq 25$ m
1,2	A1 türü burulma düzensizliği olmayan varsa her katta $\eta_{bi} \leq 2$ koşulunu sağlayan ve ayrıca B2 türü düzensizliği olmayan binalar	$H_N \leq 60$ m
3,4	Tüm binalar	$H_N \leq 75$ m

H_N : Temel üst seviyesinden itibaren ölçülen toplam bina yüksekliği

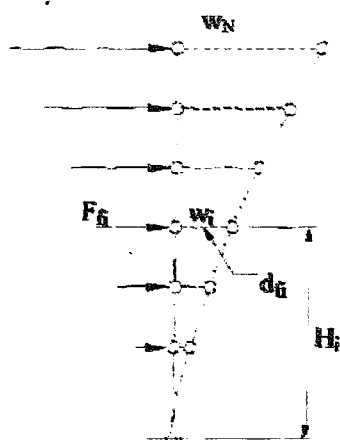
2.7.2. Eşdeğer Deprem Yükü Yönteminin Adımları

- TDY 98'e göre binaların deprem hesaplarının üç boyutlu yapı sistemi olarak modellenmesi gerekmektedir. Dösemelerin yatay düzlemde rijit diyafram olarak çalıştığı kabul edilir. Her katta iki yatay yerdeğiştirme bileşeni ile düşey eksen etrafındaki dönme bağımsız yerdeğiştirme bileşenleri gözönüne alınacaktır.
- Kat kütleleri kütle merkezinde tanımlanır.
- Katlara etkiyen fiktif yükler hesaplanır (F_{fi}) .

$$F_{fi} = \frac{W_i * H_i}{\sum_{j=1}^N (w_j * h_j)} \quad (2.8)$$

H_i : Binanın i 'inci katının temel üstünden itibaren ölçülen yüksekliğidir.

W_i : i 'inci kat ağırlığıdır.



Şekil 2.19 Fiktif Yükler ve Yerdeğiştirme

- Bulunan fiktif yükler (F_{fi}) seçilen deprem doğrultusunda, yapının kat kütle merkezlerine yerleştirilerek statik analiz yapılır ve kuvvet doğrultusundaki deplasmanlar (d_{fi}) bulunur.
- Binanın Birinci Doğal Titreşim Periyodu (T_1) hesaplanır.

Yönetmelikte, T_1 'in hesabı:

I. Ampirik yöntemle T_1 'in hesabı:

Birinci ve ikinci deprem bölgelerinde temel üstünde ölçülen toplam bina yüksekliğinin $H_N < 25$ m koşulunu sağlayan üçüncü ve dördüncü deprem bölgelerinde, Eşdeğer Deprem Yükü Yönteminin uygulandığı tüm binalarda, Birinci Doğal Titreşim Periyodu aşağıda verilen yaklaşık formül ile hesaplanmasına izin verilmektedir.

$$T_1 \approx T_{1A} = C_t * H_N^{3/4} \quad (2.9)$$

H_N : Yapı yüksekliği

Bu bağıntıda görülen C_t değeri, bina taşıyıcı sisteme bağlı olarak aşağıdaki şekilde belirtilmiştir.

- Deprem yüklerinin tamamının betonarme perdelerle taşındığı binalarda C_t değeri;

$$C_t = 0,075 / A_t^{1/2} \leq 0,05 \quad (2.10)$$

formülü ile hesaplanacaktır.

A_t = Eşdeğer alanı

$$A_t = \sum A_{wj} [0,2(l_{wj}/H_N)^2] \quad (2.11)$$

ile verilmektedir. Burada,

A_{wj} : Binanın temel üstündeki ilk katında j'inci perdenin brüt en kesit alanı,

l_{wj} : Binanın temel üstündeki ilk katında j'inci perdenin deprem doğrultusunda çalışan uzunluğuudur.

(l_{wj} / H_N) oranının en büyük değeri 0.9 olarak göz önüne alınacaktır

b) Taşıyıcı sistemi sadece betonarme çerçevelerden veya dışmerkez çaprazlı çelik perdelerden oluşan binalarda $C_t=0.07$, taşıyıcı sistemi sadece çelik çerçevelerden oluşan binalarda $C_t=0.08$, diğer tüm binalarda ise $C_t=0.05$ alınacaktır.

II. Rayleigh oranı ile T_1 'in hesabı:-

$$T_1 = 2\pi \left[\frac{\sum m_i d_{fi}^2}{\sum F_{fi} d_{fi}} \right]^{1/2} \quad (2.12)$$

$$m_i = w_i/g \quad (2.13)$$

m_i : Binanın i'inci katının kütlesi,

d_{fi} : F_{fi} fiktif yüklemesinden dolayı, binanın i'inci katında meydana gelen yatay yerdeğiştirmeyi göstermektedir.

Binanın birinci doğal titreşim periyodu Rayleigh Oranı ile hesaplanması halinde, periyot değeri bir kere de Ampirik Formül ile de hesaplanacak ve bu formülden bulunan değerin $T_{1A} > 1.0$ sn olması durumunda, T 'in deprem hesabında kullanılacak en büyük değeri T_{1A} 'nın 1.30 katından daha büyük olmayacağı.

Eşdeğer Deprem Yükü Yöntemi'nin uygulandığı tüm binaların birinci doğal titreşim periyodu, Rayleigh Oranı ile hesaplanabilir. Ancak, birinci ve ikinci derece deprem bölgelerinde $H_N < 25$ m koşulunu sağlayan binaların, üçüncü ve dördüncü derece deprem bölgelerinde ise Eşdeğer Deprem Yükü Yöntemi'nin uygulandığı tüm binaların birinci doğal titreşim periyodunun Ampirik Formül ile hesaplanmasına izin

verilmiştir. Birinci ve ikinci derece deprem bölgelerinde $H_N > 25$ m olması durumunda ise Rayleigh Oranı ile hesaplanması zorunludur.

- Göz önüne alınan deprem doğrultusunda binanın tümüne etkiyen Toplam Eşdeğer Deprem Yükü (Taban Kesme Kuvveti) (V_T) hesaplanır.

$$V_t = W * A(T_1) / R_A(T_1) \geq 0,10 * A_0 * I * W \quad (2.14)$$

Bu ifadedeki büyüklükler;

W : Binanın deprem sırasında toplam ağırlığı

$$W = \sum_{i=1}^N w_i \quad (2.15)$$

$$w_i = g_i + n q_i \quad (2.16)$$

w_i : i 'inci katın deprem sırasında toplam ağırlığı,

g_i : i 'inci katın toplam sabit yükü,

q_i : i 'inci katın toplam hareketli yükü,

n : Hareketli yük katılım katsayısıdır . Çizelge 2.2 'de verilmiştir

Çizelge 2.2 Hareketli Yük Dağılım Katsayısı

BİNANIN KULLANIM AMACI	n
Depo, antre, vb.	0,8
Okul, öğrenci yurdu, spor tesisi, sinema, tiyatro, konser salonu, garaj, lokanta, mağaza, vb.	0,6
Konut, işyeri, otel, hastane, vb.	0,3

Spektral ivme katsayısı [A (T₁)] : Deprem yüklerinin belirlenmesi için esas alınacak olan ve tanım olarak %5 sönüüm oranı için Elastik Tasarım İvme Spektrumu' nun

yerçekimi ivmesi g' ye bölünmesine karşı gelen Spektral İvme Katsayısı, $A(T_1)$, Denk.2.17.ile verilmiştir.

$$A(T_1) = A_0 * I * S(T_1) \quad (2.17)$$

A_0 : Etkin Yer İvme Katsayısı,

I : Bina Önem Katsayısı

$S(T_1)$: Spektrum Katsayısı

Etkin yer ivmesi katsayısı (A_0) : Maksimum deprem ivmesinin g' ye oranı olarak tanımlanır. Bu katsayı deprem analizini yaptığımız yapının hangi deprem bölgesinde olduğuna bağlı olarak Çizelge 2.3'de verilmiş

Çizelge 2.3. Etkin Yer İvmesi Katsayısı

Deprem Bölgesi	A_0
1	0,40
2	0,30
3	0,20
4	0,10

Bina önem katsayısı (I) : Yapının kullanım amacına göre bağlı olarak belirlenmektedir. Çizelge 2.4'de görüleceği üzere depremden hemen sonrası kullanımı gereken binalarda, tehlikeli madde içeren binalarda, insanların uzun süreli ve yoğun olarak bulunduğu binalarda bu katsayı daha büyüktür.

Çizelge 2.4. Bina Önem Katsayısı (I)

BİNANIN KULLANIM AMACI VEYA TÜRÜ	Bina önem katsayısı (I)
1-Deprem sonrası kullanımı gereken binalar ve tehlikeli madde içeren binalar a- Deprem sonrası hemen kullanılması gereklili binalar (hastaneler, dispanserler, sağlık ocakları, itfaiye bina ve tesisleri, PTT ve diğer haberleşme tesisleri, ulaşım istasyonları ve terminalalleri, enerji üretim ve dağıtım tesisleri, vilayet, kaymakamlık ve belediye yönetim binaları, ilk yardım ve afet planlama istasyonları) b- Toksik, patlayıcı, parlayıcı vb. özelliklerini olan maddelerin bulunduğu veya depolandığı binalar	1,5
2- İnsanların uzun süreli ve yoğun olarak bulunduğu ve değerli eşyanın saklandığı binalar Okullar, diğer eğitim bina ve tesisleri, yurt ve yatakhaneler, askeri kışlalar, ceza evleri, vb. Müzeler	1,4
3- İnsanların kısa süreli ve yoğun olarak bulunduğu binalar Spor tesisleri, sinema, tiyatro ve konser salonları, vb.	1,2
4- Diğer binalar Yukarıdaki tanımlara girmeyen diğer binalar(konutlar, işyerleri, oteller, bina türü endüstri yapıları, vb)	1,0

Spektrum katsayı [S (T_i)] : Yerel zemin koşullarına ve yapının birinci doğal periyoduna bağlı olarak aşağıdaki denklemlerle hesaplanacaktır. hesaplanacaktır.

$$S(T_1)=1+1,5T_1/T_A \quad (0 \leq T_1 \leq T_A) \quad (2.18)$$

$$S(T_1)= 2,5 \quad (T_A \leq T_1 \leq T_B) \quad (2.19)$$

$$S(T_1)=2,5(T_B/T_1)^{0,8} \quad (T_1 > T_B) \quad (2.20)$$

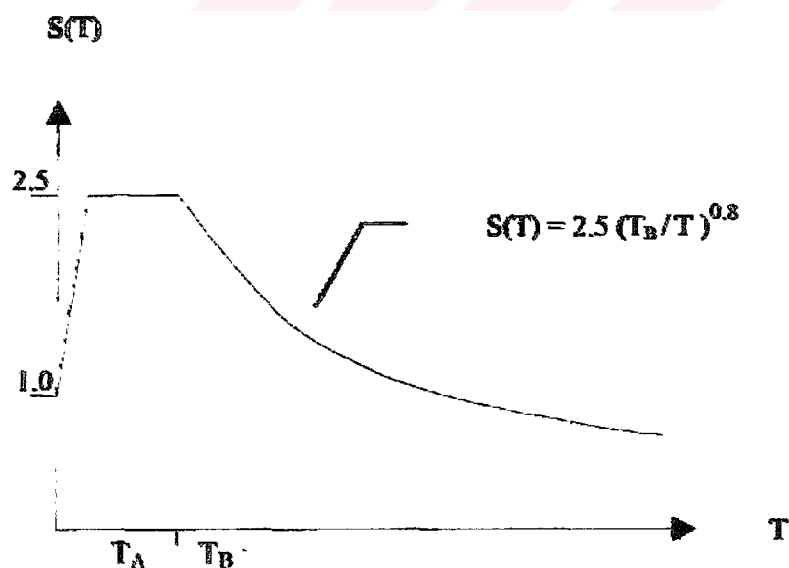
Spektrum karakteristik periyotları (T_A, T_B) : Bu periyotlar Yerel Zemin Sınıflarına bağlı olarak aşağıdaki Çizelge 2.5'de verilmiştir.

Çizelge 2.5. Spektrum Karakteristik Periyotları (T_A , T_B)

YEREL ZEMİN SINIFI	T_A	T_B
Z1	0,10	0,30
Z2	0,15	0,40
Z3	0,15	0,60
Z4	0,20	0,90

Gerekli durumlarda elastik tasarım ivme spektrumu, yerel deprem ve zemin koşulları göz önüne alınarak yapılacak özel araştırmalarla da belirlenebilir. Ancak, bu şekilde belirlenecek ivme spektrumu ordinatlarına karşı gelen spektral ivme katsayıları, tüm periyotlar için, Çizelge 2.5'teki ilgili karakteristik periyotlar göz önüne alınarak denklem (2.18), (2.19), (2.20)'den bulunacak değerlerden hiçbir zaman daha küçük olmayacağındır.

Özel Tasarım Ivme spektrumları



Şekil 2.20 Tasarım Ivme Spektrum Grafiği

Zemin sınıfına göre $T_A = 0.1 - 0.2$ sn arasında değişmektedir. Bu tür zeminlerde, spektrum eğrisinin $0 < T < T_A$ bolumu arasında bulunan yapılar bir veya en çok iki katlı binalara karşı gelmektedir. Yeni deprem yönetmeliğinde Spektrum katsayısı değeri $S(T) > 0.1R$ alt sınırı verilmektedir.

Spektrum katsayısı yukarıdaki sekilden de açıkça görüleceği gibi maksimum değerini yapı periyodu T 'nin spektrum karakteristik periyotları T_A ve T_B arasında yer aldığı zaman 2.5 değerine karşılık gelmektedir.

Yapı periyot değerlerinin T_B değerinden daha büyük olması durumunda ise spektrum katsayısı küçülmektedir. Yukarıdaki tasarım ivme spektrum grafiği % 5 sönüm için hazırlanmıştır.

Deprem yükü azaltma katsayısı [$R_a(T_1)$] : Depremde taşıyıcı sistemin kendine özgü doğrusal elastik olmayan davranışını göz önüne almak üzere, $A_0 \cdot I \cdot S(T_1)$ spektral ivme katsayısına göre bulunacak elastik deprem yükleri, aşağıda tanımlanan Deprem Yükü Azaltma Katsayısına bölünecektir. Deprem Yükü Azaltma Katsayısı, $R_a(T_1)$, çeşitli taşıyıcı sistemler için aşağıdaki Çizelge 2.6 da tanımlanan Taşıyıcı Sistem Davranış Katsayısı, R 'ye ve doğal titreşim periyodu, T ' ye bağlı olarak Denk. (2.21), (2.22) ile belirlenecektir.

$$R_a(T_1) = 1,5 + (R - 1,5)T_1/T_A \quad (0 \leq T_1 \leq T_A) \quad (2.21)$$

$$R_a(T_1) = R \quad (T_1 > T_A) \quad (2.22)$$

Çizelge 2.6: Taşıyıcı Sistem Davranış Katsayısı

BİNA TAŞIYICI SİSTEMİ	SÜNEKLİK DÜZEYİ NORMAL SİSTEMLER	SÜNEKLİK DÜZEYİ YÜKSEK SİSTEMLER
YERİNDE DÖKME BETONARME BİNALAR		
Çerçeve	4	8
Bağ kıraklı boşluklu perde	4	7
Perde	4	6
Çerçeve + perde (boşluklu veya boşluksuz perde)	4	7

Hesaplanan Toplam Eşdeğer Deprem Yükü (V_t) bina katlarına etkiyen eşdeğer deprem yüklerinin toplamı olarak aşağıdaki ifade ile belirlenecektir.

$$V_t = \Delta F_N + \sum_{I=1}^N F_I \quad (2.23)$$

N: Toplam Kat Sayısı

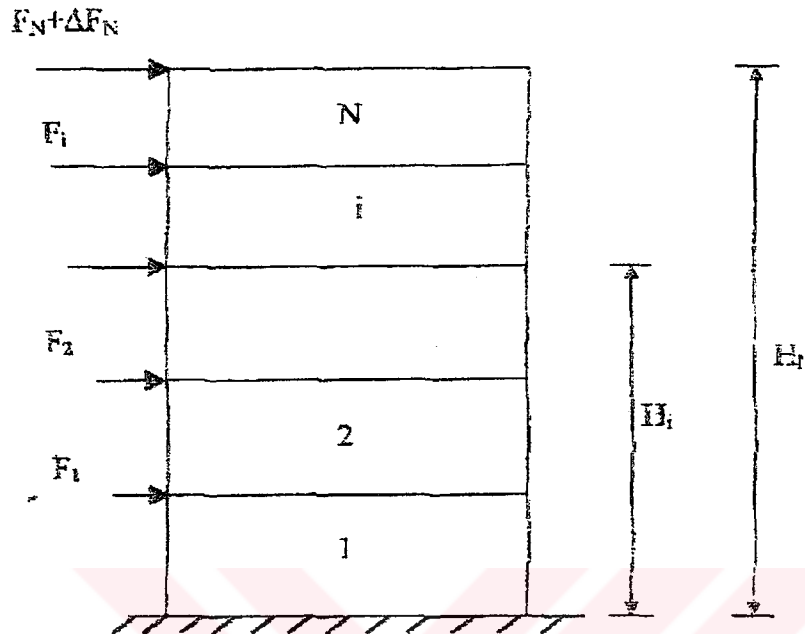
ΔF_N : Ek Eşdeğer Deprem Yükü

$H_N > 25$ m için binanın N'inci katma (tepesine) etkiyen Ek Eşdeğer Deprem Yükü ΔF_N 'in değeri, hesaplanan Birinci Doğal Titreşim Periyodu T_1 'e bağlı olarak, aşağıdaki ifade ile belirlenecektir. $H_N < 25$ m için $\Delta F_N = 0$ alınacaktır.

$$\Delta F_N = 0.07 T_1 V_t < 0.2 V_t \quad (2.24)$$

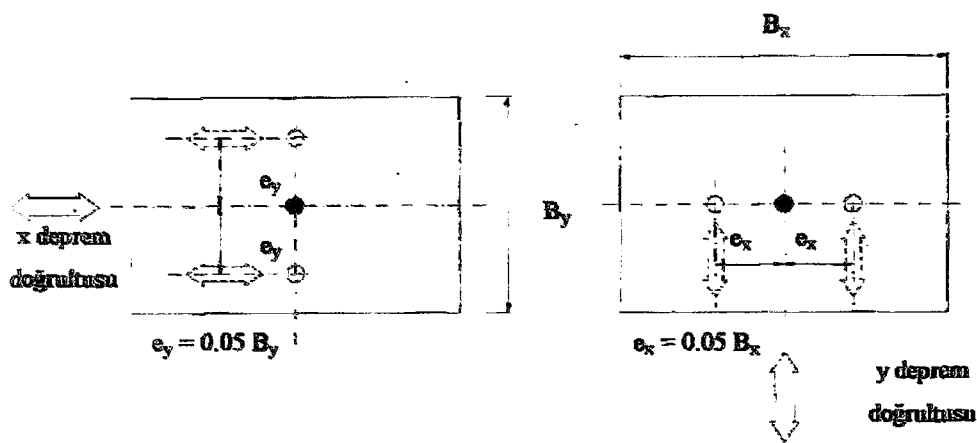
Toplam eşdeğer deprem yükünün ΔF_N dışında geri kalan kısmı, N'inci kat dahil olmak üzere, bina katlarına etkiyen eşdeğer deprem yükleri aşağıdaki denklem ile dağıtilacaktır.

$$F_i = (V_t - \Delta F_N) \frac{w_i H_i}{\sum_{j=1}^N w_j H_j} \quad (2.25)$$



Şekil 2.21 Kat Hizalarına Etkiyen Eşdeğer Deprem Yükleri

- Her katta belirlenen eşdeğer deprem yükleri kat kütle merkezine ve ayrıca ek dışmerkezlik etkisinin hesaba katılması için kaydırılmış kütle merkezlerine tekil yatay yük olarak uygulanmalıdır. Yapılan analiz sonucunda kat deplasmanları ve iç kuvvetler bulunur. Kaydırılmış kütle merkezleri, gerçek kütle merkezinin $\pm 5\%$ kaydırılması ile belirlenen noktalardır .



● Getçek kütle merkezi

○ Kaydırılmış kütle merkezi

Şekil 2.21 Kaydırılmış Kütle Merkezleri

A_1 burulma düzensizliği ve B_2 yumuşak kat düzensizliği kontrolleri yapılır.

Yapılan kontrollerde,

1. ve 2. Derece deprem bölgelerinde $\eta_{bi} > 1.5$ ise dinamik analiz yapılması zorunludur.

$1.2 < \eta_{bi} < 2$ ise eksantrisite değerleri D_i katsayısı ile çarpılarak büyütülmeli ve yeniden eşdeğer deprem yükleri büyütülmüş eksantrisite değerlerinin olduğu yerlere uygulanarak analiz tekrarlanmalıdır.

$$D_i = (\eta_{ki} / 1.2)^2 \quad (2.26)$$

Göreli Kat Ötelemeleri kontrolü yapılır.

Herhangi bir kolon veya perde için, ardışık iki kat arasındaki yerdeğiştirme farkını ifade eden “Göreli Kat Ötelemesi”, Δ_i aşağıdaki formül ile elde edilir.

$$\Delta_i = d_i - d_{i-1} \quad (2.27)$$

d_i ve d_{i-1} , binanın i 'inci ve $(i-1)$ 'inci katlarında herhangi bir kolon veya perdenin uçlarında hesaptan elde edilen yatay yer değiştirmeleri göstermektedir.

Her bir deprem doğrultusu için, binanın herhangi bir i 'inci katındaki kolon veya perdelerde, Denk.2.26 ile hesaplanan görelî kat ötelemelerinin kat içindeki en büyük değeri $(\Delta_i)_{max}$, Denklem (2.28), (2.29) verilen koşulların elverişsiz olanını sağlayacaktır.

$$(\Delta_i)_{max}/h_i \leq 0,0035 \quad (2.28)$$

$$(\Delta_i)_{max}/h_i \leq 0,02/R \quad (2.29)$$

Yukarıda verilen koşulun binanın herhangi bir katında sağlanamaması durumunda, taşıyıcı sistemin rıjitliği arttırılarak deprem hesabı tekrarlanacaktır. Ancak verilen koşul sağlansa bile, yapısal olmayan gevrek elemanların (cephe elemanları vb), elde edilen görelî kat ötelemeleri altında kullanılabilirliği hesapla doğrulanmalıdır.

İkinci mertebe etkilerinin kontrolü yapılır.

Taşıyıcı sistem elemanlarının doğrusal elastik olmayan davranışını esas alan daha kesin bir hesap yapılmadıkça, ikinci mertebe etkileri aşağıda belirtildiği gibi göz önüne alınabilir.

Göz önüne alınan deprem doğrultusunda her bir katta, İkinci Mertebe Göstergesi Değeri, θ_i 'nin Denk.2.29 ile verilen koşulu sağlaması durumunda, ikinci mertebe etkileri yürürlükteki betonarme ve çelik yapı yönetmeliklerine göre değerlendirilecektir.

$$\theta_i = \frac{(\Delta_i)_{\text{ort}} \sum_{j=1}^N w_j}{V_i h_i} \quad (2.30)$$

Burada ;

$(\Delta_i)_{\text{ort}}$: i'inci kattaki kolon ve perdelerde hesaplanan göreli kat ötelemelerinin kat içindeki ortalama değerini,

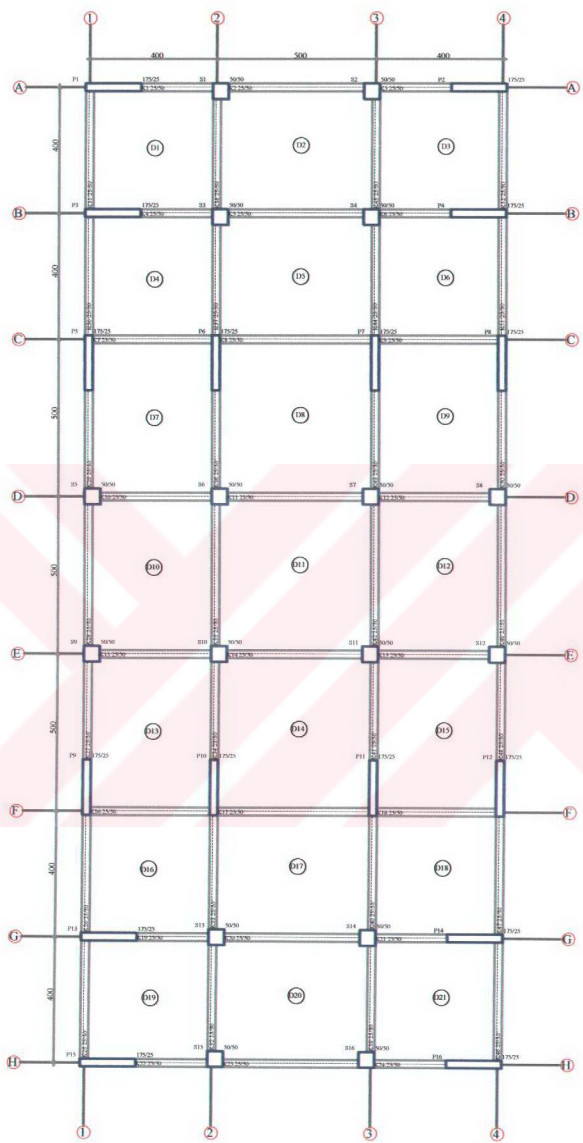
V_i : i'inci kattaki kesme kuvvetini,

H_i : i'inci kat yüksekliğini,

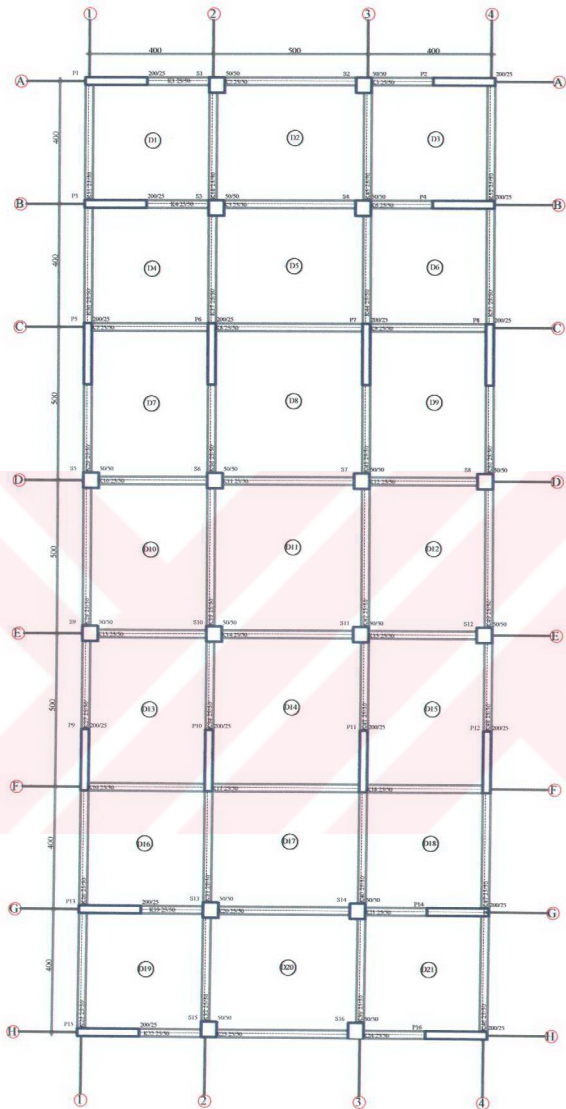
$\sum_{j=1}^N w_j$: i'inci katın üstündeki kat ağırlıkları toplamını göstermektedir.

İkinci Mertebe Göstergesi Değeri. θ_i değerinin herhangi bir katta 0.12 den büyük olması durumunda, taşıyıcı sistemin rıjitliği yeterli ölçüde artırılarak deprem hesabı tekrarlanmalıdır.⁽¹⁹⁾

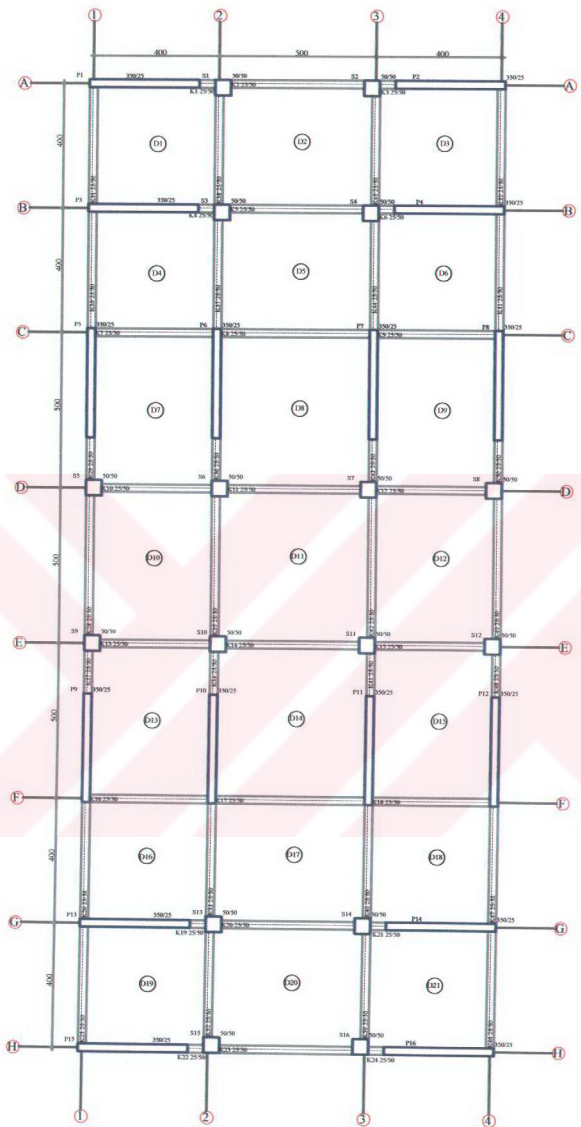
$$\theta_i \leq 0.12 \quad (2.31)$$



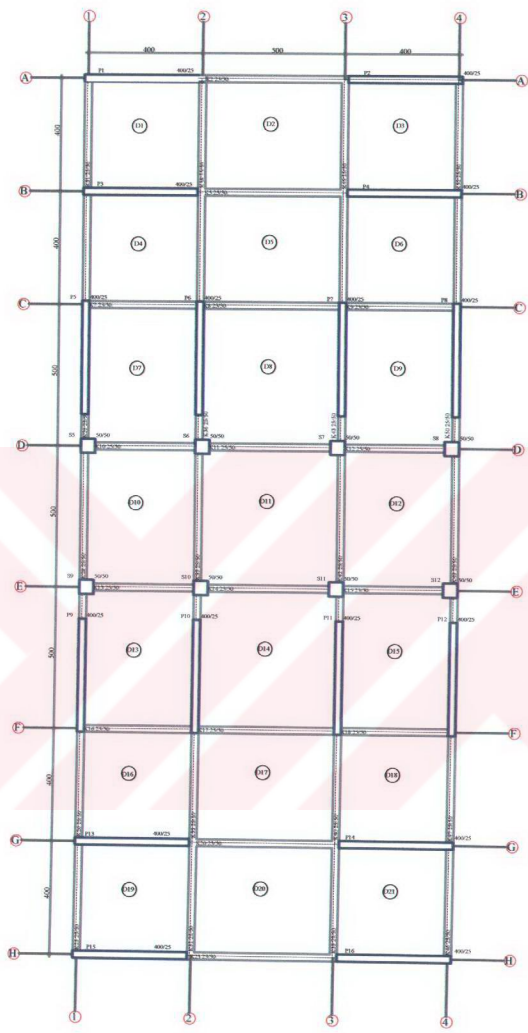
Şekil 3.1 Model 1a'ya ait kalıp planı



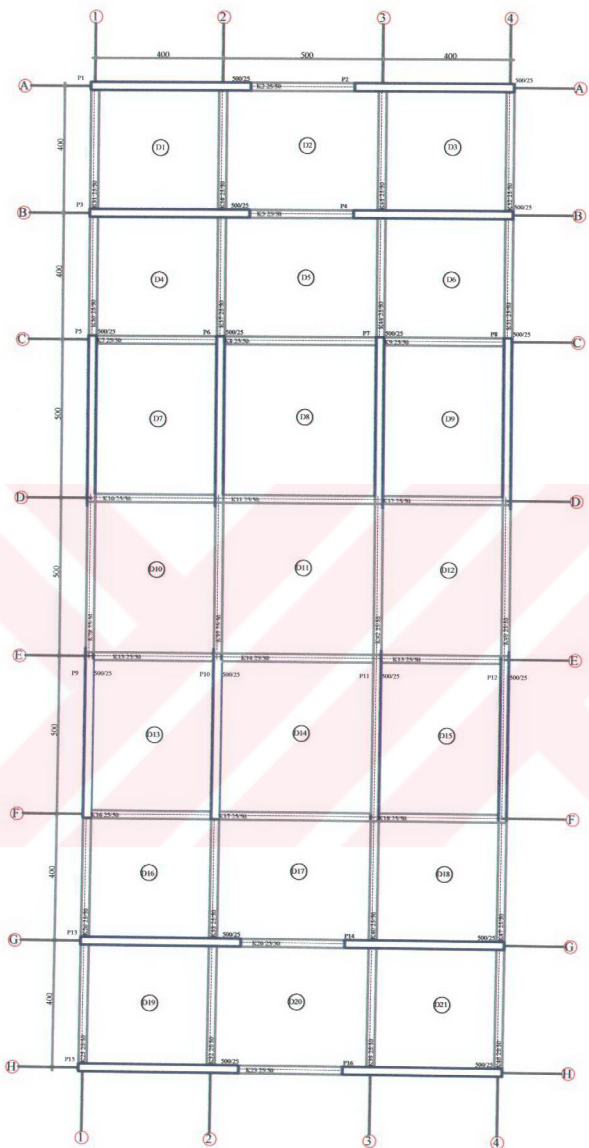
Şekil 3.2 Model 1b'ye ait kalıp planı



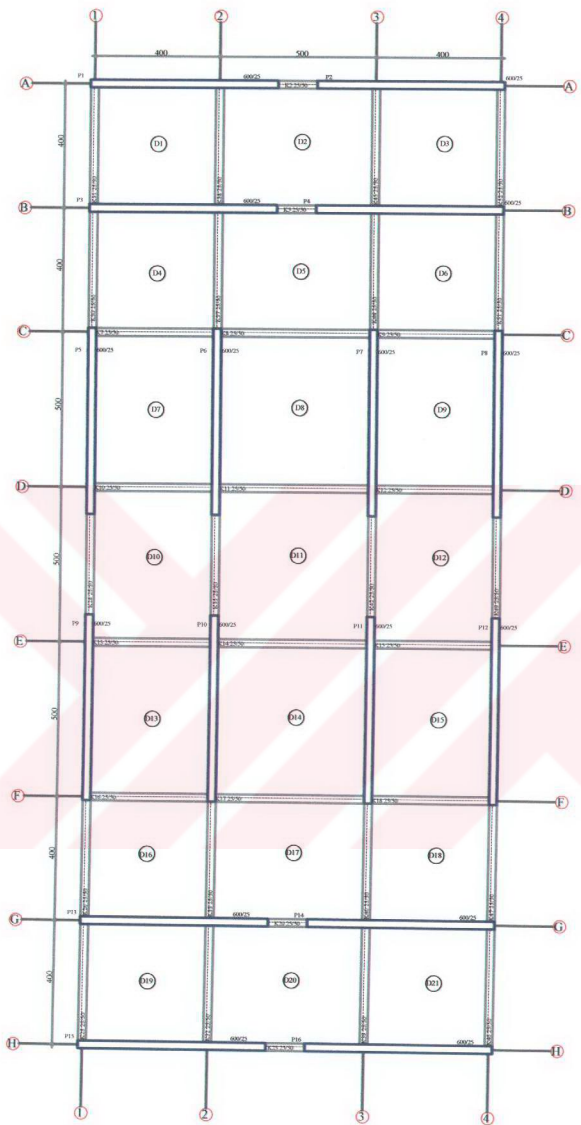
Sekil 3.4 Model 2'a'yea ait kalip planı



Şekil 3.4 Model 2b'ye ait kalıp planı



Şekil 3.5 Model 3a'ya ait kalıp planı



Şekil 3.6 Model 3b'ye ait kalp planı

3. ARAŞTIRMA BULGULARI

Analizlerde aynı kat planına sahip, kat adetleri farklı olmak üzere 3 model kullanılmıştır. Yapıların taşıyıcı sistemi çerçeveye sistem ve perdelerden oluşmaktadır. Seçilen kalıp planı dikdörtgen geometriye sahip olduğu için x ve y deprem yönleri için analizler aynı ayrı yapılmıştır.

Modellemede yapı 4 katlı, 8 katlı ve 12 katlı olarak incelenmiştir. Üç model için minimum perde alanları hesaplanmış x ve y yönünde simetrik olmak üzere yerleştirilmiştir. Minimum perde alanları ile yapılan analizlerle kıyaslamak açısından her bir modelde perde boyaları artırılarak analizler tekrarlanmıştır.

Analizlerin tümünde “Eşdeğer Deprem Yükü Yöntemi” kullanılmıştır. Seçilen modeller hem geometri hem de rıjilik bakımından simetrik olduğu için burulma düzensizliği kontrolü yapmaya gerek duyulmamıştır.

3.1. Eşdeğer Deprem Yükü Yöntemi İle Analizler

3.1.1. Model 1a :

Döşeme kalınlığı:

Çatı katı döşeme kalınlığı: 12cm

Normal kat döşeme kalınlığı: 15 cm

Kirişler : 50*25 cm

Kolonlar : 50*50 cm

Gerekli perde alanın hesaplanması:

$$0,002 * \Sigma A_p = 0,002 * 4 * 13 * 31 = 3,2 m^2$$

planda x yönünde 8 adet, y yönünde 8 adet toplam 16 adet perde var ve perde kalınlıkları $b_w=0,25m$ seçildi.

$3,2/8=0,4m^2$ bir perdenin enkesit alanı

x ve y yönündeki perde uzunlukları

$$l_x=l_y=0,4/0,25=1,6m$$

Perdeler, planda uzun kenarının kalınlığına oranı en az yedi olan düşey taşıyıcı sistem elemanları oldukları için ve modellerin hepsinde $b_w=0,25m$ seçildiği için

$$l_x=l_y=1,75m(0,25*7=1,75m) \text{ seçildi}$$

Perdeler : 25*175 cm

3.1.1.1. Bina Bilgileri

Kat sayısı : 4

Bodrum Kat Sayısı : -

Bina Önem Katsayısı: 1

Taşıyıcı Sistem Türü : Deprem Yüklerinin Betonarme Çerçeveelerle ve Perdelerle Taşındığı Binalar

Kat Yükseklikleri: 3m

3.1.1.2. Deprem Bilgileri

Deprem Bölgesi: 1

Etkin Yer İvme Katsayısı: $A_0=0,40$

Yerel Zemin Sınıfı: Z1

Spektrum Karakteristik Periyotları : $T_A=0,10$ $T_B=0,30$

Taşıyıcı Sistem Davranış Katsayısı : 7

3.1.1.3. Kat Ağırlıkları

Çatı Katı İçin : 490t

Normal Katlar İçin : 560t

3.1.1.4. Fiktif Yüklerinin Hesabı

Çizelge 3.1. Model 1a'ya Ait Fiktif Yüklerin Hesabı

Kat No	Wi (t)	Hi(m)	Wi*Hi	Ffi
4	490	12	5880	0,4
3	560	9	5040	0,3
2	560	6	3360	0,2
1	560	3	1680	0,1
Σ	2170		15960	1

3.1.1.5. Kat Deplasmanlarının Hesabı

3.1.1.5.1. X Deprem Yönü İçin Kat Deplasmanları Hesabı

Çizelge 3.2. Model 1a'ya Ait X Deprem Yönü Kat Deplasmanları

Kat No	d _{fi} (m)
4	0,0000396
3	0,0000285
2	0,0000164
1	0,0000544

3.1.1.5.2. Y Deprem Yönü İçin Kat Deplasmanları Hesabı

Çizelge 3.3. Model1a'ya Ait Y Deprem Yönü Kat Deplasmanları

Kat No	d_{fi} (m)
4	0,0000396
3	0,0000285
2	0,0000164
1	0,0000544

3.1.1.6. Binanın Birinci Titreşim Periyodunun Hesabı

3.1.1.6.1 X Deprem Yönü İçin Binanın Birinci Titreşim Periyodu

Çizelge 3.4. Model1a'ya Ait X Deprem Yönü İçin Rayleigh Oranı İle T_1 in Hesabı

Kat no	m_i	F_{fi}	d_{fi}	$m_i * d_{fi}^2$	$F_{fi} * d_{fi}$
4	50	0,4	0,0000396	$7,86 * 10^{-8}$	$1,59 * 10^{-5}$
3	57	0,3	0,0000285	$4,62 * 10^{-8}$	$8,54 * 10^{-6}$
2	57	0,2	0,0000164	$1,53 * 10^{-8}$	$3,27 * 10^{-6}$
1	57	0,1	0,0000544	$1,69 * 10^{-9}$	$5,44 * 10^{-7}$
Σ	221	1	0,0000899	$1,42 * 10^{-7}$	$2,82 * 10^{-5}$

Rayleigh Oranı ile Periyot Hesabı

$$T_1 = 2\pi \sqrt{\frac{\sum_{i=1}^N (m_i d_{fi})^2}{\sum_{i=1}^N F_{fi} d_{fi}}}$$

$$T_1 = 0,45 \text{ sn}$$

Bina önem katsayısı $I=1$

$$\text{Deprem Yükü Azaltma Katsayı } R_a(T_1) = R \quad T > T_A$$

$$R_a(T_1) = 7 \quad 0,45 > 0,10$$

$$\text{Spektrum Katsayı } S(T_1) = 2,5(T_B/T_1)^{0,8} \quad T > T_B$$

$$S(T_1) = 2,5(0,30/0,45)^{0,8}$$

$$=1.80$$

Spektral İvme Katsayısı

$$A(T_1) = A_0 * I * S(T_1)$$

$$=0,40 * I * 1,80$$

$$=0,72$$

Toplam Eşdeğer Deprem Yükü

$$V(T_1) = \sum W * A(T_1) / R_a(T_1)$$

$$= 2170 * 0,72 / 7$$

$$= 223t$$

$$V(T_1) \geq 0,1 * A * I * \sum W$$

$$= 0,1 * 0,4 * 1 * 2170$$

$$223t \geq 87t$$

$V(T_1) = 223t$ alınacaktır.

Ek Eşdeğer Deprem Yükü yok çünkü bina yüksekliği 25m den küçük.

3.1.1.6.2.Y Deprem Yönü İçin Binanın Birinci Titreşim Periyodunun Hesabı

Çizelge 3.5. Model 1a'ya Ait Y Deprem Yönü İçin Rayleigh Oranı İle T_1 in Hesabı

Kat no	mi	F _{f1}	d _{f1}	mi * d _{f1} ²	F _{f1} * d _{f1}
4	50	0,4	0,0000396	7,86 * 10 ⁻⁸	1,59 * 10 ⁻⁵
3	57	0,3	0,0000285	4,62 * 10 ⁻⁸	8,54 * 10 ⁻⁶
2	57	0,2	0,0000164	1,53 * 10 ⁻⁸	3,27 * 10 ⁻⁶
1	57	0,1	0,0000544	1,69 * 10 ⁻⁹	5,44 * 10 ⁻⁷
Σ	221	1	0,0000899	1,42 * 10 ⁻⁷	2,82 * 10 ⁻⁵

Rayleigh Oranı ile Periyot Hesabı

$$T_1 = 2\prod \left[\frac{\sum_{i=1}^N (m_i d_{f_i})^2}{\sum_{i=1}^N F_{f_i} d_{f_i}} \right]^{1/2}$$

$$T_1=0,45sn$$

Bina önem katsayısı I=1

Deprem Yükü Azaltma Katsayı $R_a(T_1)=R$ $T>T_A$

$$R_a(T_1)=7 \quad 0,45>0,10$$

Spektrum Katsayı $S(T_1)=2.5(T_B/T_1)^{0.8} \quad T>T_B$

$$S(T_1)=2.5(0,30/0,45)^{0.8}$$

$$=1.80$$

Spektral İvme Katsayı $A(T_1)=A_0*I*S(T_1)$

$$=0,40*I*1,80$$

$$=0,72$$

Toplam Eşdeğer Deprem Yükü $V(T_1)=\sum W*A(T_1)/ R_a(T_1)$

$$=2170*0,72/7$$

$$=223t$$

$$V(T_1) \geq 0,1*A*I*\sum W$$

$$=0,1*0,4*I*2170$$

$$223t \geq 87t$$

$V(T_1)=223t$ alınacaktır.

Ek Eşdeğer Deprem Yükü yok çünkü bina yüksekliği 25m den küçük.

3.1.1.7. Eşdeğer Kat Deprem Yüklerinin Hesabı

3.1.1.7.1 X Deprem Yönü için Eşdeğer Kat Deprem Yüklerinin Hesabı

$$F_i = V(T_1) \frac{W_i H_i}{\sum_{j=1}^N (W_j H_j)} = V(T_1) F_{fi}$$

Çizelge 3.6 Model 1a'ya Ait X Deprem yönü için Eşdeğer Deprem Yüklerinin Hesabı

Kat No	W _i (t)	H _i (m)	W _i H _i	F _i (t)
4	490	12	5880	82
3	560	9	5040	70
2	560	6	3360	47
1	560	3	1680	24
Σ	2170		15960	223

3.1.1.7.2 Y Deprem Yönü için Eşdeğer Kat Deprem Yüklerinin Hesabı

$$F_i = V(T_1) \frac{W_i H_i}{\sum_{j=1}^N (W_j H_j)} = V(T_1) F_{fi}$$

Çizelge 3.7 Model 1a'ya Ait Y Deprem yönü için Eşdeğer Deprem Yüklerinin Hesabı

Kat No	W _i (t)	H _i (m)	W _i *H _i	F _i (t)
4	490	12	5880	82
3	560	9	5040	70
2	560	6	3360	47
1	560	3	1680	24
Σ	2170		15960	223

3.1.1.8. Eşdeğer Deprem Kuvvetlerinin Kat Kolon ve Perdelerine Dağılımı

3.1.1.8.1. X yönündeki Eşdeğer Deprem Kuvvetlerinin Kat Kolon ve Perdelerine Dağılımı

Çizelge 3.8 Model 1a X Yönündeki Eşdeğer Deprem Kuvvetlerinin Kat Kolon ve Perdelerine Dağılımı

Kat no	Kolonlar (t)	X yönündeki perdeler (t)	Y yönündeki perdeler (t)	Toplam kat kesme kuvveti(t)	Eşdeğer deprem yükü(t)
4	-74	0	-8	-82	82
3	-66	-77	-9	-152	152
2	-68	-121	-9	-199	199
1	-47	-168	-8	-223	223

3.1.1.8.2. Y yönündeki Eşdeğer Deprem Kuvvetlerinin Kat Kolon ve Perdelerine Dağılımı

Çizelge 3.9 Model 1a Y Yönündeki Eşdeğer Deprem Kuvvetlerinin Kat Kolon ve Perdelerine Dağılımı

Kat no	Kolonlar (t)	X yönündeki perdeler (t)	Y yönündeki perdeler (t)	Toplam kat kesme kuvveti(t)	Eşdeğer deprem yükü(t)
4	-80	-7	5	-82	82
3	-72	-9	-72	-152	152
2	-74	-9	-117	-199	199
1	-49	-8	-166	-223	223

3.1.2. Model 1b

Döşeme kalınlığı:

Çatı katı döşeme kalınlığı: 12cm

Normal kat döşeme kalınlığı: 15 cm

Kirişler : 50*25 cm

Kolonlar : 50*50 cm

Arttırılmış perde alanın hesaplanması:

$$0,0025 \cdot \Sigma A_p = 0,0025 \cdot 4 \cdot 13 \cdot 31 = 4 \text{ m}^2$$

planda x yönünde 8 adet, y yönünde 8 adet toplam 16 adet perde var ve perde kalınlıkları $b_w=0,25\text{m}$ seçildi.

$4/8=0,5\text{m}^2$ bir perdenin enkesit alanı

x ve y yönündeki perde uzunlukları

$$l_x=l_y = 0,5/0,25 = 2,0\text{m}$$

Perdeler : 25*200 cm

3.1.2.1. Bina Bilgileri

Kat sayısı : 4

Bodrum Kat Sayısı : -

Bina Önem Katsayısı: 1

Taşıyıcı Sistem Türü : Deprem Yüklerinin Betonarme Çerçevelerle ve Perdelerle

Taşındığı Binalar

Kat Yükseklikleri: 3m

3.1.2.2. Deprem Bilgileri

Deprem Bölgesi: 1

Etkin Yer İvme Katsayısı: $A_0=0,40$

Yerel Zemin Sınıfı: Z1

Spektrum Karakteristik Periyotları : $T_A=0,10$ $T_B=0,30$

3.1.2.3. Kat Ağırlıkları

Çatı Katı İçin : 493t

Normal Katlar İçin : 563t

3.1.2.4. Fiktif Yüklerinin Hesabı

Çizelge 3.10. Model 1b'ye Ait Fiktif Yüklerin Hesabı

Kat No	Wi (t)	Hi(m)	Wi*Hi	Ffi
4	493	12	5880	0,4
3	563	9	5040	0,3
2	563	6	3360	0,2
1	563	3	1680	0,1
Σ	2182		15960	1

3.1.2.5. Kat Deplasmanlarının Hesabı

3.1.2.5.1. X Deprem Yönü İçin Kat Deplasmanları Hesabı

Çizelge 3.11. Model1b'ye Ait X Deprem Yönü İçin Kat Deplasmanları

Kat No	$d_{fi}(m)$
4	0,0000370
3	0,0000259
2	0,0000145
1	0,0000467

3.1.2.5.2. Y Deprem Yönü İçin Kat Deplasmanları Hesabı

Çizelge 3.12. Model1b'ye Ait X Deprem Yönü İçin Kat Deplasmanları

Kat No	$d_{fi}(m)$
4	0,0000370
3	0,0000259
2	0,0000145
1	0,0000467

3.1.2.6. Binanın Birinci Titreşim Periyodunun Hesabı

3.1.2.6.1 X Deprem Yönü İçin Binanın Birinci Titreşim Periyodu

Çizelge 3.13. Model1b'ye Ait X Deprem Yönü İçin Rayleigh Oranı İle T_1 'in Hesabı

Kat no	m_i	F_{fi}	d_{fi}	$m_i * d_{fi}^2$	$F_{fi} * d_{fi}$
4	50	0,4	0,0000370	6,83E-08	6,83E-08
3	57	0,3	0,0000259	3,81E-08	3,81E-08
2	57	0,2	0,0000145	1,19E-08	1,19E-08
1	57	0,1	0,0000467	1,25E-09	1,25E-09
Σ	221	1		1,20E-07	1,20E-07

Rayleigh Oranı ile Periyot Hesabı

$$T_1 = 2\pi \sqrt{\frac{\sum_{i=1}^N (m_i d_{fi})^2}{\sum_{i=1}^N F_{fi} d_{fi}}}$$

$$T_1 = 0,43 \text{ sn}$$

Bina önem katsayısı I=1

$$\text{Deprem Yükü Azaltma Katsayı } R_a(T_1) = R \quad T > T_A$$

$$R_a(T_1) = 7 \quad 0,43 > 0,10$$

$$\text{Spektrum Katsayı } S(T_1) = 2,5(T_B/T_1)^{0,8} \quad T > T_B$$

$$S(T_1) = 2,5(0,30/0,43)^{0,8}$$

$$= 1,90$$

Spektral İvme Katsayısı

$$A(T_1) = A_0 * I^* S(T_1)$$

$$= 0,40 * 1 * 1,90$$

$$= 0,76$$

Toplam Eşdeğer Deprem Yükü

$$V(T_1) = \sum W * A(T_1) / R_a(T_1)$$

$$= 2182 * 0,76 / 7$$

$$= 237t$$

$$V(T_1) \geq 0,1 * A * I^* \sum W$$

$$= 0,1 * 0,4 * 1 * 2182$$

$$237t \geq 87t$$

$V(T_1) = 237t$ alınacaktır.

Ek Eşdeğer Deprem Yükü yok çünkü bina yüksekliği 25m den küçük.

3.1.2.6.2.Y Deprem Yönü İçin Binanın Birinci Titreşim Periyodunun Hesabı

Çizelge 3.14. Model1b'ye Ait X Deprem Yönü İçin Rayleigh Oranı İle T_1 'in Hesabı

Kat no	m_i	F_{fi}	d_{fi}	$m_i * d_{fi}^2$	$F_{fi} * d_{fi}$
4	50	0,4	0,0000370	6,83E-08	6,83E-08
3	57	0,3	0,0000259	3,81E-08	3,81E-08
2	57	0,2	0,0000145	1,19E-08	1,19E-08
1	57	0,1	0,0000467	1,25E-09	1,25E-09
Σ	221	1		1,20E-07	1,20E-07

Rayleigh Oranı ile Periyot Hesabı

$$T_1 = 2\prod \left[\frac{\sum_{i=1}^N (m_i d_{fi})^2}{\sum_{i=1}^N F_{fi} d_{fi}} \right]^{1/2}$$

$$T_1 = 0,43 \text{ sn}$$

Bina önem katsayısı I=1

$$\text{Deprem Yükü Azaltma Katsayı } R_a(T_1) = R \quad T > T_A$$

$$R_a(T_1) = 7 \quad 0,43 > 0,10$$

$$\text{Spektrum Katsayı } S(T_1) = 2,5(T_B/T_1)^{0,8} \quad T > T_B$$

$$S(T_1) = 2,5(0,30/0,43)^{0,8}$$

$$= 1,90$$

$$\text{Spektral İvme Katsayı } A(T_1) = A_0 * I * S(T_1)$$

$$= 0,40 * 1 * 1,90$$

$$= 0,76$$

$$\text{Toplam Eşdeğer Deprem Yükü } V(T_1) = \sum W * A(T_1) / R_a(T_1)$$

$$= 2182 * 0,76 / 7$$

$$= 237t$$

$$V(T_1) \geq 0,1 * A * I * \sum W$$

$$= 0,1 * 0,4 * 1 * 2182$$

$$237t \geq 87t$$

$V(T_1) = 237t$ alınacaktır.

Ek Eşdeğer Deprem Yükü yok çünkü bina yüksekliği 25m den küçük.

3.1.2.7. Eşdeğer Kat Deprem Yüklerinin Hesabı

3.1.2.7.1 X Deprem Yönü için Eşdeğer Kat Deprem Yüklerinin Hesabı

$$F_i = V(T_1) \frac{\sum_{j=1}^N (W_j H_j)}{\sum_{j=1}^N (W_j H_j)} = V(T_1) F_{fi}$$

Çizelge 3.15 Model 1b X Deprem Yönü için Eşdeğer Kat Deprem Yüklerinin Hesabı

Kat No	$W_i(t)$	$H_i(m)$	$W_i H_i$	$F_i(t)$
4	493	12	5916	87
3	563	9	5067	75
2	563	6	3378	50
1	563	3	1689	25
Σ	2272		16050	237

3.1.2.7.2 Y Deprem Yönü için Eşdeğer Kat Deprem Yüklerinin Hesabı

$$F_i = V(T_1) \frac{W_i H_i}{\sum_{j=1}^N (W_j H_j)} = V(T_1) F_{fi}$$

Çizelge 3.16 Model 1b Y Deprem Yönü için Eşdeğer Kat Deprem Yüklerinin Hesabı

Kat No	$W_i(t)$	$H_i(m)$	$W_i H_i$	$F_i(t)$
4	493	12	5916	87
3	563	9	5067	75
2	563	6	3378	50
1	563	3	1689	25
Σ	2272		16050	237

3.1.2.8. Eşdeğer Deprem Kuvvetlerinin Kat Kolon ve Perdelerine Dağılımı

3.1.2.8.1. X Yönündeki Eşdeğer Deprem Kuvvetlerinin Kat Kolon ve Perdelerine Dağılımı

Çizelge 3.17 Model 1b X Deprem Yönündeki Eşdeğer Deprem Kuvvetlerinin Katlara Dağılımı

Kat no	Kolonlar (t)	X yönündeki perdeler (t)	Y yönündeki perdeler (t)	Toplam kat kesme kuvveti(t)	Eşdeğer deprem yükü(t)
4	-58	-21	-8	-87	87
3	-54	-99	-9	-162	162
2	-55	-148	-10	-213	213
1	-37	-197	-8	-242	242

3.1.2.8.2. Y yönündeki Eşdeğer Deprem Kuvvetlerinin Kat Kolon ve Perdelerine Dağılımı

Çizelge 3.18 Model 1b Y Deprem Yönündeki Eşdeğer Deprem Kuvvetlerinin Katlara Dağılımı

Kat no	Kolonlar (t)	X yönündeki perdeler (t)	Y yönündeki perdeler (t)	Toplam kat kesme kuvveti(t)	Eşdeğer deprem yükü(t)
4	-63	-7	-17	-87	87
3	-58	-8	-96	-162	162
2	-55	-10	-148	-213	213
1	-37	-8	-197	-242	242

3.1.3. Model 2a :

Döşeme kalınlığı:

Çatı katı döşeme kalınlığı: 12cm

Normal kat döşeme kalınlığı: 15 cm

Kirişler : 50*25 cm

Kolonlar : 50*50 cm

Gerekli perde alanın hesaplanması:

$$0,002 \cdot \Sigma A_p = 0,002 \cdot 8 \cdot 13 \cdot 31 = 6,5 m^2$$

planda x yönünde 8 adet, y yönünde 8 adet toplam 16 adet perde var ve perde kalınlıkları $b_w=0,25m$ seçildi.

$6,5/8=0,81m^2$ bir perdenin enkesit alanı

x ve y yönündeki perde uzunlukları

$$l_x=l_y=0,81/0,25=3,25m$$

$$l_x=l_y=3,50m$$
 seçildi

Perdeler : 25*350 cm

3.1.3.1. Bina Bilgileri

Kat sayısı : 8

Bodrum Kat Sayısı : -

Bina Önem Katsayısı: 1

Taşıyıcı Sistem Türü : Deprem Yüklerinin Betonarme Çerçevelerle ve Perdelerle

Taşındığı Binalar

Kat Yükseklikleri: 3m

3.1.3.2. Deprem Bilgileri

Deprem Bölgesi: 1

Etkin Yer İvme Katsayısı: $A_0=0,40$

Yerel Zemin Sınıfı: Z1

Spektrum Karakteristik Periyotları : $T_A=0,10$ $T_B=0,30$

Taşıyıcı Sistem Davranış Katsayısı :7

3.1.3.3. Kat Ağırlıkları

Çatı Katı İçin : 545t

Normal Katlar İçin : 615t

3.1.3.4. Fiktif Yüklerinin Hesabı

Çizelge 3.19. Model 2a'ya Ait Fiktif Yüklerin Hesabı

Kat no	Wi	Hi	Wi*Hi	F _f
8	545	24	13080	0,2
7	615	21	12915	0,2
6	615	18	11070	0,2
5	615	15	9225	0,1
4	615	12	7380	0,1
3	615	9	5535	0,1
2	615	6	3690	0,06
1	615	3	1845	0,06
Σ	4850		64740	1

3.1.3.5. Kat Deplasmanlarının Hesabı

3.1.3.5.1. X Deprem Yönü İçin Kat Deplasmanları Hesabı

Çizelge 3.20. Model2a'ya Ait X Deprem Yönü İçin Kat Deplasmanları

Kat No	$d_{fi}(m)$
8	3,21E-05
7	2,80E-05
6	2,35E-05
5	1,87E-05
4	1,38E-05
3	9,06E-06
2	4,78E-06
1	1,51E-06

3.1.3.5.2. Y Deprem Yönü İçin Kat Deplasmanları Hesabı

Çizelge 3.21. Model1a'ya Ait Y Deprem Yönü İçin Kat Deplasmanları

Kat No	$d_{fi}(m)$
8	4,10E-05
7	3,49E-05
6	2,86E-05
5	2,22E-05
4	1,59E-05
3	1,02E-05
2	5,22E-06
1	1,61E-06

3.1.3.6. Binanın Birinci Titreşim Periyodunun Hesabı

3.1.3.6.1 X Deprem Yönü İçin Binanın Birinci Titreşim Periyodu

Çizelge 3.22. Model2a'ya Ait Kat Deprem Yönü İçin Rayleigh Oranı ile T_1 'in Hesabı

Kat no	mi	F_{fi}	d_{fi}	mi^*dfi^2	F_{fi}^*dfi
8	56	0,2	3,21E-05	5,78E-08	6,43E-06
7	63	0,2	2,80E-05	4,94E-08	5,60E-06
6	63	0,2	2,35E-05	3,48E-08	4,70E-06
5	63	0,1	1,87E-05	2,21E-08	1,87E-06
4	63	0,1	1,38E-05	1,20E-08	1,38E-06
3	63	0,1	9,06E-06	5,17E-09	9,06E-07
2	63	0,06	4,78E-06	1,44E-09	2,87E-07
1	63	0,03	1,51E-06	1,44E-10	4,54E-08
Σ				1,83E-07	2,12E-05

Rayleigh Oranı ile Periyot Hesabı

$$T_1 = 2\pi \sqrt{\frac{\sum_{i=1}^N (m_i d_{fi})^2}{\sum_{i=1}^N F_{fi} d_{fi}}}$$

$$T_1 = 0,58 \text{ sn}$$

Bina önem katsayısı I=1

Deprem Yükü Azaltma Katsayı $R_a(T_1) = R$

$T > T_A$

$$R_a(T_1) = 7 \quad 0,58 > 0,10$$

Spektrum Katsayı

$$S(T_1) = 2,5(T_B/T_1)^{0,8} \quad T > T_B$$

$$S(T_1) = 2,5(0,30/0,58)^{0,8}$$

$$= 1,48$$

Spektral İvme Katsayı

$$A(T_1) = A_0 * I * S(T_1)$$

$$= 0,40 * 1 * 1,80$$

$$=0,60$$

$$\text{Toplam Eşdeğer Deprem Yükü} \quad V(T_1) = \sum W * A(T_1) / R_a(T_1)$$

$$= 4850 * 0,60 / 7$$

$$= 416t$$

$$V(T_1) \geq 0,1 * A * I * \sum W$$

$$= 0,1 * 0,4 * 1 * 4850$$

$$416t \geq 194t$$

$V(T_1) = 416t$ alınacaktır.

Ek Eşdeğer Deprem Yükü yok çünkü bina yüksekliği 25m den küçük.

3.1.3.6.2. Y Deprem Yönü İçin Binanın Birinci Titreşim Periyodunun Hesabı

Çizelge 3.23. Model2a'ya Ait Kat Y Deprem Yönü İçin Rayleigh Oranı İle T1'in Hesabı

Kat no	m_i	F_{fi}	d_{fi}	$m_i * d_{fi}^2$	$F_{fi} * d_{fi}$
8	56	0,2	4,10E-05	9,43E-08	8,21E-06
7	63	0,2	3,49E-05	7,67E-08	6,98E-06
6	63	0,2	2,86E-05	5,15E-08	5,72E-06
5	63	0,1	2,22E-05	3,10E-08	2,22E-06
4	63	0,1	1,59E-05	1,60E-08	1,59E-06
3	63	0,1	1,02E-05	6,50E-09	1,02E-06
2	63	0,06	5,22E-06	1,72E-09	3,13E-07
1	63	0,03	1,61E-06	1,64E-10	4,84E-08
Σ				2,78E-07	2,61E-05

Rayleigh Oranı ile Periyot Hesabı

$$T_1 = 2\pi \left[\frac{\sum_{i=1}^N (m_i d_{fi})^2}{\sum_{i=1}^N F_{fi} d_{fi}} \right]^{1/2}$$

$$T_1 = 0,65 \text{ sn}$$

Bina önem katsayısı I=1

$$\text{Deprem Yükü Azaltma Katsayısı } R_a(T_1) = R \quad T > T_A$$

$$R_a(T_1) = 7 \quad 0,65 > 0,10$$

$$\text{Spektrum Katsayısı} \quad S(T_1) = 2.5(T_B/T_1)^{0.8} \quad T > T_B$$

$$S(T_1) = 2.5(0,30/0,65)^{0.8}$$

$$= 1,35$$

$$\text{Spektral İvme Katsayısı} \quad A(T_1) = A_0 * I * S(T_1)$$

$$= 0,40 * 1 * 1,35$$

$$= 0,54$$

$$\text{Toplam Eşdeğer Deprem Yükü} \quad V(T_1) = \sum W * A(T_1) / R_a(T_1)$$

$$= 4850 * 0,54 / 7$$

$$= 374t$$

$$V(T_1) \geq 0,1 * A * I * \sum W$$

$$= 0,1 * 0,4 * 1 * 4850$$

$$374t \geq 194t$$

$V(T_1) = 374t$ alınacaktır.

Ek Eşdeğer Deprem Yükü yok çünkü bina yüksekliği 25m den küçük.

3.1.3.7. Eşdeğer Kat Deprem Yüklerinin Hesabı

3.1.3.7.1 X Deprem Yönü için Eşdeğer Kat Deprem Yüklerinin Hesabı

$$F_i = V(T_1) \frac{W_i H_i}{\sum_{j=1}^N (W_j H_j)} = V(T_1) F_{fi}$$

Çizelge 3.24 Model 2'ya Ait X Deprem Yönü İçin Eşdeğer Deprem Yüklerinin Hesabı

Kat No	W _i (t)	H _i (m)	W _i H _i	F _i (t)
8	545	24	13080	84
7	615	21	12915	83
6	615	18	11070	71
5	615	15	9225	59
4	615	12	7380	47
3	615	9	5535	36
2	615	6	3690	24
1	615	3	1845	12
Σ	4850		64740	416

3.1.3.7.2 Y Deprem Yönü için Eşdeğer Kat Deprem Yüklerinin Hesabı

$$F_i = V(T_1) \frac{W_i H_i}{\sum_{j=1}^N (W_j H_j)} = V(T_1) F_{fi}$$

Çizelge 3.25 Model 2a'ya Ait Y Deprem Yönü İçin Eşdeğer Deprem Yüklerinin Hesabı

Kat No	$W_i(t)$	$H_i(m)$	$W_i H_i$	$F_i(t)$
8	545	24	13080	76
7	615	21	12915	75
6	615	18	11070	64
5	615	15	9225	53
4	615	12	7380	43
3	615	9	5535	32
2	615	6	3690	20
1	615	3	1845	11
Σ	4850		64740	374

3.1.3.8. Eşdeğer Deprem Kuvvetlerinin Kat Kolon ve Perdelerine Dağılımı

3.1.3.8.1. X yönündeki Eşdeğer Deprem Kuvvetlerinin Kat Kolon ve Perdelerine Dağılımı

Çizelge 3.26 Model 2a X Deprem Yönündeki Eşdeğer Deprem Kuvvetlerinin Katlara Dağılımı

Kat no	Kolonlar (t)	X yönündeki perdeler (t)	Y yönündeki perdeler (t)	Toplam kat kesme kuvveti(t)	Eşdeğer deprem yükü(t)
8	-67	-2	-15	-84	84
7	-57	-97	-13	-163	163
6	-67	-157	-14	-238	238
5	-71	-211	-15	-297	297
4	-72	-257	-15	-344	344
3	-67	-299	-14	-380	380
2	-53	-341	-10	-407	407
1	-31	-377	-8	-416	416

3.1.3.8.2. Y yönündeki Eşdeğer Deprem Kuvvetlerinin Kat Kolon ve

Perdelerine Dağılımı

Çizelge 3.27 Model 2a Y Deprem Yönündeki Eşdeğer Deprem Kuvvetlerinin Katlara Dağılımı

Kat no	Kolonlar (t)	X yönündeki perdeler (t)	Y yönündeki perdeler (t)	Toplam kat kesme kuvveti(t)	Eşdeğer deprem yükü(t)
8	-64	-15	2	-76	76
7	-52	-15	-87	-151	151
6	-59	-13	-143	-215	215
5	-61	-13	-195	-268	268
4	-60	-12	-239	-311	311
3	-55	-11	-278	-343	343
2	-44	-8	-311	-363	363
1	-27	-7	-341	-374	374

3.1.4. Model 2b :

Döşeme kalınlığı:

Çatı katı döşeme kalınlığı: 12cm

Normal kat döşeme kalınlığı: 15 cm

Kirişler : 50*25 cm

Kolonlar : 50*50 cm

Arttırılmış perde alanın hesaplanması:

$$0,0025 * \Sigma A_p = 0,0025 * 8 * 13 * 31 = 8 \text{ m}^2$$

planda x yönünde 8 adet, y yönünde 8 adet toplam 16 adet perde var ve perde kalınlıkları $b_w=0,25\text{m}$ seçildi.

$8/8=1,0\text{m}^2$ bir perdenin enkesit alanı

x ve y yönündeki perde uzunlukları

$$l_x = l_y = 1,0 / 0,25 = 4,0 \text{ m}$$

Perdeler : 25*400 cm

3.1.4.1. Bina Bilgileri

Kat sayısı : 8

Bodrum Kat Sayısı : -

Bina Önem Katsayısı: 1

Taşıyıcı Sistem Türü : Deprem Yüklerinin Betonarme Çerçeveelerle ve Perdelerle

Taşındığı Binalar

Kat Yükseklikleri: 3m

3.1.4.2. Deprem Bilgileri

Deprem Bölgesi: 1

Etkin Yer İvme Katsayısı: $A_0 = 0,40$

Yerel Zemin Sınıfı: Z1

Spektrum Karakteristik Periyotları : $T_A = 0,10$ $T_B = 0,30$

Taşıyıcı Sistem Davranış Katsayıısı : 7

3.1.4.3. Kat Ağırlıkları

Çatı Katı İçin : 550t

Normal Katlar İçin : 620t

3.1.4.4. Fiktif Yüklerinin Hesabı

Çizelge 3.28. Model 2b'ye ait Fiktif Yüklerin Hesabı

Kat no	Wi	Hi	Wi*Hi	F _{fı}
8	550	24	13080	0,2
7	620	21	12915	0,2
6	620	18	11070	0,2
5	620	15	9225	0,1
4	620	12	7380	0,1
3	620	9	5535	0,1
2	615	6	3690	0,06
1	615	3	1845	0,06
Σ	4855		64740	1

3.1.4.5. Kat Deplasmanlarının Hesabı

3.1.4.5.1. X Deprem Yönü İçin Kat Deplasmanları Hesabı

Çizelge 3.29. Model2b'ye Ait X Deprem Yönleri İçin Kat Deplasmanları

Kat No	d _{fı} (m)
8	2,96E-05
7	2,53E-05
6	2,09E-05
5	1,63E-05
4	1,18E-05
3	7,63E-06
2	3,96E-06
1	1,25E-06

3.1.4.5.2. Y Deprem Yönü İçin Kat Deplasmanları Hesabı

Çizelge 3.30. Model 2b'ye Ait Y Deprem Yönleri İçin Kat Deplasmanları

Kat No	$d_{fi}(m)$
8	4,88E-05
7	4,13E-05
6	3,36E-05
5	2,59E-05
4	1,84E-05
3	1,16E-05
2	5,82E-06
1	1,73E-06

3.1.4.6. Binanın Birinci Titreşim Periyodunun Hesabı

3.1.4.6.1 X Deprem Yönü İçin Binanın Birinci Titreşim Periyodu

Çizelge 3.31. Model 2b'ye Ait X Deprem Yönü İçin Rayleigh Oranı İle T_1 'in Hesabı

Kat no	m_i	F_{fi}	d_{fi}	$m_i * d_{fi}^2$	$F_{fi} * d_{fi}$
8	56	0,2	2,96E-05	4,89E-08	5,91E-06
7	63	0,2	2,53E-05	4,03E-08	5,06E-06
6	63	0,2	2,09E-05	2,75E-08	4,18E-06
5	63	0,1	1,63E-05	1,68E-08	1,63E-06
4	63	0,1	1,18E-05	8,84E-09	1,18E-06
3	63	0,1	7,63E-06	3,67E-09	7,63E-07
2	63	0,06	3,96E-06	9,90E-10	2,38E-07
1	63	0,03	1,25E-06	9,80E-11	3,74E-08
				1,47E-07	1,90E-05

Rayleigh Oranı ile Periyot Hesabı

$$T_1 = 2\prod \left[\frac{\sum_{i=1}^N (m_i d_{fi})^2}{\sum_{i=1}^N F_{fi} d_{fi}} \right]^{1/2}$$

$$T_1 = 0,55 \text{ sn}$$

Bina önem katsayısı $I=1$

Deprem Yükü Azaltma Katsayısı $R_a(T_1)=R$ $T>T_A$

$$R_a(T_1)=7 \quad 0,55>0,10$$

Spektrum Katsayısı $S(T_1)=2.5(T_B/T_1)^{0.8} \quad T>T_B$

$$S(T_1)=2.5(0,30/0,55)^{0.8}$$
$$=1.54$$

Spektral İvme Katsayısı $A(T_1)=A_0*I*S(T_1)$

$$=0,40*1*1,54$$
$$=0,62$$

Toplam Eşdeğer Deprem Yükü $V(T_1)=\sum W*A(T_1)/ R_a(T_1)$

$$=4890*0,62/7$$
$$=433t$$
$$V(T_1)\geq 0,1*A_0*I*\sum W$$
$$=0,1*0,4*1*4890$$
$$433t\geq 196t$$

$V(T_1)=433t$ alınacaktır.

Ek Eşdeğer Deprem Yükü yok çünkü bina yüksekliği 25m den küçük.

3.1.4.6.2.Y Deprem Yönü İçin Binanın Birinci Titreşim Periyodunun Hesabı

Çizelge 3.32. Model 2b'ye Ait X Deprem Yönü İçin Rayleigh Oranı İle T_1 'in Hesabı

Kat no	m_i	F_{fi}	d_{fi}	$m_i * d_{fi}^2$	$F_{fi} * d_{fi}$
8	56	0,2	4,88E-05	1,33E-07	9,76E-06
7	63	0,2	4,13E-05	1,07E-07	8,26E-06
6	63	0,2	3,36E-05	7,11E-08	6,72E-06
5	63	0,1	2,59E-05	4,22E-08	2,59E-06
4	63	0,1	1,84E-05	2,14E-08	1,84E-06
3	63	0,1	1,16E-05	8,45E-09	1,16E-06
2	63	0,06	5,82E-06	2,14E-09	3,49E-07
1	63	0,03	1,73E-06	1,89E-10	5,19E-08
Σ				3,86E-07	3,07E-05

Rayleigh Oranı ile Periyot Hesabı

$$T_1 = 2\prod \left[\frac{\sum_{i=1}^N (m_i d_{fi})^2}{\sum_{i=1}^N F_{fi} d_{fi}} \right]^{1/2}$$

$$T_1 = 0,71 \text{ sn}$$

Bina önem katsayıısı $I=1$

Deprem Yükü Azaltma Katsayıısı $R_a(T_1)=R$

$T > T_A$

$$R_a(T_1)=7 \quad 0,71 > 0,10$$

Spektrum Katsayıısı

$$S(T_1)=2,5(T_B/T_1)^{0,8} \quad T > T_B$$

$$S(T_1)=2,5(0,30/0,71)^{0,8}$$

$$=1,25$$

Spektral İvme Katsayıısı

$$A(T_1)=A_0 * I * S(T_1)$$

$$=0,40 * 1 * 1,25$$

$$=0,50$$

Toplam Eşdeğer Deprem Yükü

$$V(T_1)=\sum W * A(T_1) / R_a(T_1)$$

$$=4890 * 0,5 / 7$$

$$=349t$$

$$V(T_1) \geq 0,1 * A * I * \sum W$$

$$=0,1 * 0,40 * 1 * 4890$$

$$349t \geq 196t$$

$V(T_1)=349t$ alınacaktır.

Ek Eşdeğer Deprem Yükü yok çünkü bina yüksekliği 25m den küçük.

3.1.4.7. Eşdeğer Kat Deprem Yüklerinin Hesabı

3.1.4.7.1 X Deprem Yönü için Eşdeğer Kat Deprem Yüklerinin Hesabı

$$F_i = V(T_1) \frac{W_i H_i}{\sum_{j=1}^N (W_j H_j)} = V(T_1) F_{fi}$$

Çizelge 3.33 Model 2b'ye Ait X Deprem Yönü İçin Eşdeğer Deprem Yüklerinin Hesaplanması

Kat No	$W_i(t)$	$H_i(m)$	$W_i H_i$	$F_i(t)$
8	550	24	13200	88
7	620	21	13020	86
6	620	18	11160	74
5	620	15	9300	62
4	620	12	7440	49
3	620	9	5580	37
2	620	6	3720	25
1	620	3	1860	12
Σ	4890		65280	433

3.1.3.7.2 Y Deprem Yönü için Eşdeğer Kat Deprem Yüklerinin Hesabı

$$F_i = V(T_1) \frac{W_i H_i}{\sum_{j=1}^N (W_j H_j)} = V(T_1) F_{fi}$$

Çizelge 3.34 Model 2b'ye Ait X Deprem Yönü İçin Eşdeğer Deprem Yüklerinin Hesaplanması

Kat No	$W_i(t)$	$H_i(m)$	$W_i H_i$	$F_i(t)$
8	550	24	13200	71
7	620	21	13020	70
6	620	18	11160	59
5	620	15	9300	49
4	620	12	7440	40
3	620	9	5580	30
2	620	6	3720	20
1	620	3	1860	10
Σ	4890		65280	349

3.1.4.8. Eşdeğer Deprem Kuvvetlerinin Kat Kolon ve Perdelerine Dağılımı

3.1.4.8.1. X yönündeki Eşdeğer Deprem Kuvvetlerinin Kat Kolon ve Perdelerine Dağılımı

Çizelge 3.35 Model 2b X Deprem Yönündeki Eşdeğer Deprem Yüklerinin Katlara Dağılımı

Kat no	Kolonlar (t)	X yönündeki perdeler (t)	Y yönündeki perdeler (t)	Toplam kat kesme kuvveti(t)	Eşdeğer deprem yükü(t)
8	-40	-28	-20	-88	88
7	-35	-121	-19	-174	174
6	-40	-189	-20	-248	248
5	-42	-248	-20	-310	310
4	-43	-298	-16	-359	359
3	-40	-340	-17	-396	396
2	-32	-377	-12	-421	421
1	-17	-407	-9	-433	433

3.1.4.8.2. Y yönündeki Eşdeğer Deprem Kuvvetlerinin Kat Kolon ve Perdelerine Dağılımı

Çizelge 3.36 Model 2b Y Deprem Yönündeki Eşdeğer Deprem Yüklerinin Katlara Dağılımı

Kat no	Kolonlar (t),	X yönündeki perdeler (t)	Y yönündeki perdeler (t)	Toplam kat kesme kuvveti(t)	Eşdeğer deprem yükü(t)
8	-35	-12	-24	-71	71
7	-26	-11	-104	-141	141
6	-28	-12	-160	-200	200
5	-27	-12	-210	-249	249
4	-26	-11	-252	-289	289
3	-22	-10	-288	-319	319
2	-16	-7	-316	-339	339
1	-9	-6	-334	-349	349

3.1.5. Model 3a:

Döşeme kalınlığı:

Çatı katı döşeme kalınlığı: 12cm

Normal kat döşeme kalınlığı: 15 cm

Kirişler : 50*25 cm

Kolonlar : 50*50 cm

Gerekli perde alanın hesaplanması:

$$0,002 * \Sigma A_p = 0,002 * 12 * 13 * 31 = 9,7 m^2$$

planda x yönünde 8 adet, y yönünde 8 adet toplam 16 adet perde var ve perde kalınlıkları $b_w=0,25m$ seçildi.

$9,7/8=1,2m^2$ bir perdenin enkesit alanı

x ve y yönündeki perde uzunlukları

$$l_x=l_y=1,2/0,25=4,8m$$

$lx=ly=5,0m$ seçildi

Perdeler : 25*500 cm

3.1.5.1. Bina Bilgileri

Kat sayısı : 12

Bodrum Kat Sayısı : -

Bina Önem Katsayısı: 1

Taşıyıcı Sistem Türü : Deprem Yüklerinin Boşluksuz Perdelerle Taşındığı Binalar

Kat Yükseklikleri: 3m

3.1.5.2. Deprem Bilgileri

Deprem Bölgesi: 1

Etkin Yer İvme Katsayısı: $A_0 = 0,40$

Yerel Zemin Sınıfı: Z1

Spektrum Karakteristik Periyotları : $T_A = 0,10$ $T_B = 0,30$

Taşıyıcı Sistem Davranış Katsayısı : 6

3.1.5.3. Kat Ağırlıkları

Çatı Katı İçin : 590t

Normal Katlar İçin : 657t

3.1.5.4. Fiktif Yüklerinin Hesabı

Çizelge 3.37. Model 3a'ya ait Fiktif Yüklerin Hesabı

Kat no	Wi	Hi	Wi*Hi	F _{fı}
12	590	36	21240	0,14
11	657	33	21681	0,14
10	657	30	19710	0,13
9	657	27	17739	0,12
8	657	24	15768	0,1
7	657	21	13797	0,09
6	657	18	11826	0,08
5	657	15	9855	0,07
4	657	12	7884	0,05
3	657	9	5913	0,04
2	657	6	3942	0,03
1	657	3	1971	0,01
Σ	7817		151326	1

3.1.5.5. Kat Deplasmanlarının Hesabı

3.1.5.5.1. X Deprem Yönü İçin Kat Deplasmanları Hesabı

Çizelge 3.38. Model 3a'ya Ait X Deprem Yönü İçin Kat Deplasmanları

Kat No	d _{fı} (m)
12	6,81E-05
11	6,18E-05
10	5,35E-05
9	4,86E-05
8	4,17E-05
7	3,47E-05
6	2,78E-05
5	2,10E-05
4	1,47E-05
3	9,11E-06
2	4,54E-06
1	1,36E-06

3.1.5.5.2. Y Deprem Yönü İçin Kat Deplasmanları Hesabı

Çizelge 3.39. Model3a'ya Ait Y Deprem Yönü İçin Kat Deplasmanları

Kat No	$d_{fi}(m)$
12	6,60E-05
11	5,99E-05
10	5,15E-05
9	4,72E-05
8	4,05E-05
7	3,37E-05
6	2,70E-05
5	2,04E-05
4	1,43E-05
3	8,88E-06
2	4,43E-06
1	1,33E-06

3.1.5.6. Binanın Birinci Titreşim Periyodunun Hesabı

3.1.5.6.1 X Deprem Yönü İçin Binanın Birinci Titreşim Periyodu

Çizelge 3.40. Model3a'ya Ait X Deprem Yönü İçin Rayleigh Oranı ile T_1 'in Hesabı

Kat no	m_i	F_{fi}	d_{fi}	$m_i * d_{fi}^2$	$F_{fi} * d_{fi}$
12	60	0,14	6,81E-05	2,78E-07	9,53E-06
11	67	0,14	6,18E-05	2,56E-07	8,65E-06
10	67	0,13	5,35E-05	1,92E-07	6,96E-06
9	67	0,12	4,86E-05	1,58E-07	5,83E-06
8	67	0,1	4,17E-05	1,17E-07	4,17E-06
7	67	0,09	3,47E-05	8,07E-08	3,12E-06
6	67	0,08	2,78E-05	5,18E-08	2,22E-06
5	67	0,07	2,10E-05	2,95E-08	1,47E-06
4	67	0,05	1,47E-05	1,45E-08	7,35E-07
3	67	0,04	9,11E-06	5,56E-09	3,64E-07
2	67	0,03	4,54E-06	1,38E-09	1,36E-07
1	67	0,01	1,36E-06	1,24E-10	1,36E-08

Rayleigh Oranı ile Periyot Hesabı

$$T_1 = 2\pi \left[\frac{\sum_{i=1}^N (m_i d_{fi})^2}{\sum_{i=1}^N F_{fi} d_{fi}} \right]^{1/2}$$

$$T_1 = 1,04 \text{ sn}$$

Bina önem katsayıısı I=1

$$\text{Deprem Yükü Azaltma Katsayıısı } R_a(T_1) = R \quad T > T_A$$

$$R_a(T_1) = 6 \quad 1,04 > 0,10$$

$$\text{Spektrum Katsayıısı} \quad S(T_1) = 2.5(T_B/T_1)^{0.8} \quad T > T_B$$

$$S(T_1) = 2.5(0.30/1.04)^{0.8}$$

$$= 0,93$$

$$\text{Spektral İvme Katsayıısı} \quad A(T_1) = A_0 * I * S(T_1)$$

$$= 0,40 * 1 * 0,93$$

$$= 0,37$$

$$\text{Toplam Eşdeğer Deprem Yükü} \quad V(T_1) = \sum W * A(T_1) / R_a(T_1)$$

$$= 7817 * 0,37 / 6$$

$$= 482 t$$

H=36m olduğu için Ek eşdeğer deprem kuvveti hesaplanmıştır.

$$\Delta F_N = 0,07 * T_1 * V_t < 0,2 * V_t$$

$$\Delta F_N = 0,07 * 1,04 * 482 < 0,2 * 482$$

$$= 35 t < 96 t$$

$$\Delta F_N = 35 t$$

$$F_i = (V_t - \Delta F_N) * \frac{W_i H_i}{\sum_{j=1}^N (W_j H_j)}$$

3.1.5.6.2Y Deprem Yönü İçin Binanın Birinci Titreşim Periyodunun Hesabı

Çizelge 3.41 Model3a'ya Ait X Deprem Yönü İçin Rayleigh Oranı ile T_1 'in Hesabı

Kat No	mi	F f_i	df i	mi*di*di	F f_i *df i
12	63	0,14	6,60E-05	2,74E-07	9,24E-06
11	70	0,14	5,99E-05	2,51E-07	8,39E-06
10	70	0,13	5,15E-05	1,86E-07	6,70E-06
9	70	0,12	4,72E-05	1,56E-07	5,66E-06
8	70	0,1	4,05E-05	1,15E-07	4,05E-06
7	70	0,09	3,37E-05	7,95E-08	3,03E-06
6	70	0,08	2,70E-05	5,10E-08	2,16E-06
5	70	0,07	2,04E-05	2,91E-08	1,43E-06
4	70	0,05	1,43E-05	1,43E-08	7,15E-07
3	70	0,04	8,88E-06	5,52E-09	3,55E-07
2	70	0,03	4,43E-06	1,37E-09	1,33E-07
1	70	0,01	1,33E-06	1,24E-10	1,33E-08
		1		1,16E-06	4,19E-05

Rayleigh Oranı ile Periyot Hesabı

$$T_1 = 2\pi \sqrt{\frac{\sum_{i=1}^N (m_i d_{fi})^2}{\sum_{i=1}^N F_{fi} d_{fi}}}$$

$$T_1 = 1,05 \text{ sn}$$

Bina önem katsayısı I=1

Deprem Yükü Azaltma Katsayı R_a(T₁)=R

T>T_A

$$R_a(T_1) = 6 \quad 1,05 > 0,1$$

Spektrum Katsayısı

$$S(T_1) = 2,5(T_B/T_1)^{0,8} \quad T > T_B$$

$$S(T_1) = 2,5(0,30/1,05)^{0,8}$$

$$= 0,92$$

Spektral İvme Katsayıısı

$$A(T_1) = A_0 * I * S(T_1)$$

$$= 0,40 * 1 * 0,92$$

$$= 0,37$$

Toplam Eşdeğer Deprem Yükü $V(T_1) = \sum W * A(T_1) / R_a(T_1)$

$$= 7817 * 0,37 / 6$$

$$= 482 t$$

$H = 36 m$ olduğu için Ek eşdeğer deprem kuvveti hesaplanmıştır.

$$\Delta F_N = 0,07 * T_1 * V_t < 0,2 * V_t$$

$$\Delta F_N = 0,07 * 1,05 * 482 < 0,2 * 482$$

$$= 35 t < 96 t$$

$$\Delta F_N = 35 t$$

3.1.5.7 Eşdeğer Kat Deprem Yüklerinin Hesabı

3.1.5.7.1 X Deprem Yönü için Eşdeğer Kat Deprem Yüklerinin Hesabı

$$F_i = (Vt - \Delta F_N) * \frac{W_i H_i}{\sum_{j=1}^n (W_j H_j)}$$

Çizelge 3.42 Model 3a'ya Ait X Deprem Yönü İçin Eşdeğer Deprem Yüklerinin Hesabı

Kat No	$W_i(t)$	$H_i(m)$	$W_i H_i$	$F_i(t)$
12	590	36	21240	63
11	657	33	21681	64
10	657	30	19710	58
9	657	27	17739	52
8	657	24	15768	47
7	657	21	13797	41
6	657	18	11826	35
5	657	15	9855	29
4	657	12	7884	23
3	657	9	5913	17
2	657	6	3942	12
1	657	3	1971	6
Σ	7817		151326	447

3.1.3.7.2 Y Deprem Yönü için Eşdeğer Kat Deprem Yüklerinin Hesabı

$$F_i = (Vt - \Delta F_N) * \frac{W_i H_i}{\sum_{j=1}^N (W_j H_j)}$$

Çizelge 3.43 Model 3a'ya Ait X Deprem Yönü İçin Eşdeğer Deprem Yüklerinin Hesabı

Kat No	$W_i(t)$	$H_i(m)$	$W_i H_i$	$F_i(t)$
12	590	36	21240	63
11	657	33	21681	64
10	657	30	19710	58
9	657	27	17739	52
8	657	24	15768	47
7	657	21	13797	41
6	657	18	11826	35
5	657	15	9855	29
4	657	12	7884	23
3	657	9	5913	17
2	657	6	3942	12
1	657	3	1971	6
Σ	7817		151326	447

3.1.5.8. Eşdeğer Deprem Kuvvetlerinin Kat Kolon ve Perdelerine Dağılımı

3.1.5.8.1. X yönündeki Eşdeğer Deprem Kuvvetlerinin Kat Kolon ve Perdelerine Dağılımı

Çizelge 3.44 Model 3a X Deprem Yöndeneki Eşdeğer Deprem Yüklerinin Katlara Dağılımı

Kat no	X yönündeki perdeler (t)	Y yönündeki perdeler (t)	Toplam kesme kuvveti(t)	kat	Eşdeğer deprem yükü(t)
12	-18	-45	-63		63
11	-91	-36	-127		127
10	-146	-39	-185		185
9	-197	-40	-237		237
8	-243	-41	-284		284
7	-284	-41	-325		325
6	-320	-40	-360		360
5	-352	-37	-389		389
4	-379	-33	-412		412
3	-402	-27	-429		429
2	-422	-19	-441		441
1	-436	-11	-447		447

3.1.5.8.2. Y yönündeki Eşdeğer Deprem Kuvvetlerinin Kat Kolon ve

Perdelerine Dağılımı

Çizelge 3.45 Model 3a X Deprem Yönündeki Eşdeğer Deprem Yüklerinin Katlara Dağılımı

Kat no	X yönündeki perdeler (t)	Y yönündeki perdeler (t)	Toplam kesme kuvveti(t)	kat	Eşdeğer deprem yükü(t)
12	-25	-38	-63		63
11	-20	-107	-127		127
10	-23	-163	-186		186
9	-23	-214	-237		237
8	-24	-260	-284		284
7	-24	-301	-325		325
6	-23	-337	-360		360
5	-22	-367	-389		389
4	-20	-392	-412		412
3	-17	-412	-429		429
2	-12	-430	-442		442
1	-9	-438	-447		447

3.1.6. Model 3b:

Döşeme kalınlığı:

Çatı katı döşeme kalınlığı: 12cm

Normal kat döşeme kalınlığı: 15 cm

Kirişler : 50*25 cm

Kolonlar : 50*50 cm

Arttırılmış perde alanın hesaplanması:

$$0,0025 * \Sigma A_p = 0,0025 * 12 * 13 * 31 = 12 \text{ m}^2$$

planda x yönünde 8 adet, y yönünde 8 adet toplam 16 adet perde var ve perde kalınlıkları $b_w=0,25\text{m}$ seçildi.

$12/8=1,5\text{m}^2$ bir perdenin enkesit alanı

x ve y yönündeki perde uzunlukları

$$l_x = l_y = 1,5 / 0,25 = 6,0 \text{ m}$$

Perdeler : 25*600 cm

3.1.6.1. Bina Bilgileri

Kat sayısı : 12

Bodrum Kat Sayısı : -

Bina Önem Katsayısı: 1

Taşıyıcı Sistem Türü : Deprem Yüklerinin Boşluksuz Perdelerle Taşındığı Binalar

Kat Yükseklikleri: 3m

3.1.6.2. Deprem Bilgileri

Deprem Bölgesi: 1

Etkin Yer İvme Katsayısı: $A_0 = 0,40$

Yerel Zemin Sınıfı: Z1

Spektrum Karakteristik Periyotları : $T_A = 0,10$ $T_B = 0,30$

Taşıyıcı Sistem Davranış Katsayısı : 6

3.1.6.3. Kat Ağırlıkları

Çatı Katı İçin : 620t

Normal Katlar İçin : 690t

3.1.6.4. Fiktif Yüklerinin Hesabı

Çizelge 3.46. Model 3b'ye Ait Fiktif Yüklerin Hesabı

Kat no	Wi	Hi	Wi*Hi	F _{f1}
12	620	36	22320	0,14
11	690	33	22770	0,14
10	690	30	20700	0,13
9	690	27	18630	0,12
8	690	24	16560	0,1
7	690	21	14490	0,09
6	690	18	12420	0,08
5	690	15	10350	0,07
4	690	12	8280	0,05
3	690	9	6210	0,04
2	690	6	4140	0,03
1	690	3	2070	0,01
Σ	8210		158940	1

3.1.6.5. Kat Deplasmanlarının Hesabı

3.1.6.5.1. X Deprem Yönü İçin Kat Deplasmanları Hesabı

Çizelge 3.47. Model3b'ye Ait X Deprem Yönü İçin Kat Deplasmanları

Kat No	d _{f1} (m)
12	3,22E-05
11	2,63E-05
10	5,35E-05
9	4,68E-05
8	2,00E-05
7	1,67E-05
6	1,34E-05
5	1,02E-05
4	7,18E-06
3	4,49E-06
2	2,28E-06
1	7,12E-07

3.1.6.5.2. Y Deprem Yönü İçin Kat Deplasmanları Hesabı

Çizelge 3.48. Model3b'ye Y Deprem Yönü İçin Kat Deplasmanları

Kat No	$d_{fi}(m)$
12	2,22E-05
11	2,02E-05
10	1,82E-05
9	1,60E-05
8	1,38E-05
7	1,16E-05
6	9,34E-06
5	7,17E-06
4	5,12E-06
3	3,26E-06
2	1,71E-06
1	5,64E-07

3.1.6.6. Binanın Birinci Titreşim Periyodunun Hesabı

3.1.6.6.1 X Deprem Yönü İçin Binanın Birinci Titreşim Periyodu

Çizelge 3.49. Model3b'ye Ait X Deprem Yönü İçin Rayleigh Oranı ile T_1 'in Hesabı

Kat no	m_i	F_{fi}	d_{fi}	$m_i * d_{fi}^2$	$F_{fi} * d_{fi}$
12	63	0,14	3,22E-05	6,53E-08	4,51E-06
11	70	0,14	2,63E-05	4,84E-08	3,68E-06
10	70	0,13	5,35E-05	2,00E-07	6,96E-06
9	70	0,12	4,68E-05	1,53E-07	5,61E-06
8	70	0,1	2,00E-05	2,79E-08	2,00E-06
7	70	0,09	1,67E-05	1,94E-08	1,50E-06
6	70	0,08	1,34E-05	1,25E-08	1,07E-06
5	70	0,07	1,02E-05	7,26E-09	7,13E-07
4	70	0,05	7,18E-06	3,61E-09	3,59E-07
3	70	0,04	4,49E-06	1,41E-09	1,80E-07
2	70	0,03	2,28E-06	3,64E-10	6,84E-08
1	70	0,01	7,12E-07	3,55E-11	7,12E-09
Σ		1		5,40E-07	2,66E-05

Rayleigh Oranı ile Periyot Hesabı

$$T_1 = 2\pi \left[\frac{\sum_{i=1}^N (m_i d_{fi})^2}{\sum_{i=1}^N F_{fi} d_{fi}} \right]^{1/2}$$

$$T_1 = 0,90 \text{ sn}$$

Bina önem katsayıları I=1

Deprem Yükü Azaltma Katsayıları $R_a(T_1) = R$

$T > T_A$

$$R_a(T_1) = 6$$

$$0,90 > 0,10$$

Spektrum Katsayıısı

$$S(T_1) = 2,5(T_B/T_1)^{0,8} \quad T > T_B$$

$$S(T_1) = 2,5(0,30/0,90)^{0,8}$$

$$= 1,04$$

Spektral İvme Katsayıısı

$$A(T_1) = A_0 * I * S(T_1)$$

$$= 0,40 * 1 * 1,04$$

$$= 0,42$$

Toplam Eşdeğer Deprem Yükü

$$V(T_1) = \sum W * A(T_1) / R_a(T_1)$$

$$= 8210 * 0,40 / 6$$

$$= 575 t$$

$H = 36 m$ olduğu için Ek eşdeğer deprem kuvveti hesaplanmıştır.

$$\Delta F_N = 0,07 * T_1 * V_t < 0,2 * V_t$$

$$\Delta F_N = 0,07 * 0,90 * 5575 < 0,2 * 575$$

$$= 36 < 116$$

$$\Delta F_N = 35 t$$

$$F_i = (Vt - \Delta F_N) * \frac{W_i H_i}{\sum_{j=1}^N (W_j H_j)}$$

3.1.6.6.2 Y Deprem Yönü İçin Binanın Birinci Titreşim Periyodunun Hesabı

Çizelge 3.50 Model3b'ye Ait Y Deprem Yönü İçin Rayleigh Oranı İle T_1 'in Hesabı

Kat no	M_i	F_{fi}	d_{fi}	$m_i * d_{fi}^2$	$F_{fi} * d_{fi}$
12	63	0,14	2,22E-05	3,10E-08	3,11E-06
11	70	0,14	2,02E-05	2,86E-08	2,83E-06
10	70	0,13	1,82E-05	2,31E-08	2,36E-06
9	70	0,12	1,60E-05	1,80E-08	1,92E-06
8	70	0,1	1,38E-05	1,34E-08	1,38E-06
7	70	0,09	1,16E-05	9,38E-09	1,04E-06
6	70	0,08	9,34E-06	6,11E-09	7,48E-07
5	70	0,07	7,17E-06	3,60E-09	5,02E-07
4	70	0,05	5,12E-06	1,83E-09	2,56E-07
3	70	0,04	3,26E-06	7,46E-10	1,31E-07
2	70	0,03	1,71E-06	2,04E-10	5,12E-08
1	70	0,01	5,64E-07	2,22E-11	5,64E-09
		1		1,36E-07	1,43E-05

Rayleigh Oranı ile Periyot Hesabı

$$T_1 = 2\pi \sqrt{\frac{\sum_{i=1}^N (m_i d_{fi})^2}{\sum_{i=1}^N F_{fi} d_{fi}}}$$

$$T_1 = 0,61 \text{ sn}$$

Bina önem katsayısı $I=1$

Deprem Yükü Azaltma Katsayı $R_a(T_1)=R$

$T > T_A$

$$R_a(T_1)=6 \quad 0,61 > 0,1$$

Spektrum Katsayı $S(T_1)$

$$S(T_1) = 2,5(T_B/T_1)^{0,8} \quad T > T_B$$

$$S(T_1) = 2,5(0,30/0,61)^{0,8}$$

$$= 1,42$$

Spektral İvme Katsayısı

$$A(T_1) = A_0 * I * S(T_1)$$

$$= 0,40 * 1 * 1,42$$

$$= 0,57$$

Toplam Eşdeğer Deprem Yükü

$$V(T_1) = \sum W * A(T_1) / R_a(T_1)$$

$$= 8210 * 0,57 / 6$$

$$= 780 t$$

$H = 36m$ olduğu için Ek eşdeğer deprem kuvveti hesaplanmıştır.

$$\Delta F_N = 0,07 * T_1 * V_t < 0,2 * V_t$$

$$\Delta F_N = 0,07 * 0,61 * 780 < 0,2 * 780$$

$$= 33 < 156$$

$$\Delta F_N = 33 t$$

$$F_i = (Vt - \Delta F_N) * \frac{W_i H_i}{\sum_{j=1}^N (W_j H_j)}$$

3.1.6.7 Eşdeğer Kat Deprem Yüklerinin Hesabı

3.1.6.7.1 X Deprem Yönü için Eşdeğer Kat Deprem Yüklerinin Hesabı

$$F_i = (Vt - \Delta F_N) * \frac{W_i H_i}{\sum_{j=1}^N (W_j H_j)}$$

Çizelge 3.51 Model 3b'ye Ait X Deprem Yönü İçin Eşdeğer Deprem Yüklerinin Hesaplanması

Kat No	W _i (t)	H _i (m)	W _i H _i	F _i (t)
12	620	36	22320	76
11	690	33	22770	77
10	690	30	20700	71
9	690	27	18630	63
8	690	24	16560	56
7	690	21	14490	49
6	690	18	12420	42
5	690	15	10350	35
4	690	12	8280	28
3	690	9	6210	21
2	690	6	4140	14
1	690	3	2070	7
Σ	8210		158940	539

3.1.6.7.2 Y Deprem Yönü için Eşdeğer Kat Deprem Yüklerinin Hesabı

$$F_i = (Vt - \Delta F_N) * \frac{W_i H_i}{\sum_{j=1}^N (W_j H_j)}$$

Çizelge 3.52 Model 3b'ye Ait Y Deprem Yönü İçin Eşdeğer Deprem Yüklerinin Hesaplanması

Kat No	W _i (t)	H _i (m)	W _i H _i	F _i (t)
12	620	36	22320	105
11	690	33	22770	107
10	690	30	20700	97
9	690	27	18630	88
8	690	24	16560	78
7	690	21	14490	68
6	690	18	12420	58
5	690	15	10350	49
4	690	12	8280	39
3	690	9	6210	29
2	690	6	4140	19
1	690	3	2070	10
Σ	8210		158940	747

3.1.6.8. Eşdeğer Deprem Kuvvetlerinin Kat Kolon ve Perdelerine Dağılımı

3.1.6.8.1. X yönündeki Eşdeğer Deprem Kuvvetlerinin Kat Kolon ve Perdelerine Dağılımı

Çizelge 3.53 Model 3b X Deprem Yönündeki Eşdeğer Deprem Kuvvetlerinin Katlara Dağılımı

Kat no	X yönündeki perdeler (t)	Y yönündeki perdeler (t)	Toplam kesme kuvveti(t)	Eşdeğer deprem yükü(t)
12	-44	-32	-76	76
11	-127	-26	-153	153
10	-196	-28	-224	224
9	-258	-29	-287	287
8	-314	-39	-353	353
7	-363	-29	-392	392
6	-405	-29	-434	434
5	-442	-27	-469	469
4	-473	-24	-497	497
3	-498	-20	-508	508
2	-518	-14	-532	532
1	-529	-10	-539	539

3.1.6.8.2. Y yönündeki Eşdeğer Deprem Kuvvetlerinin Kat Kolon ve

Perdelerine Dağılımı

Çizelge 3.54 Model 3b X Deprem Yönündeki Eşdeğer Deprem Kuvvetlerinin Katlara Dağılımı

Kat no	X yönündeki perdeler (t)	Y yönündeki perdeler (t)	Toplam kesme kuvveti(t)	Eşdeğer deprem yükü(t)
12	-20	-85	-105	105
11	-16	-196	-212	212
10	-18	-291	-309	309
9	-19	-378	-397	397
8	-19	-456	-475	475
7	-19	-524	-543	543
6	-19	-582	-601	601
5	-18	-632	-650	650
4	-17	-672	-689	689
3	-15	-704	-719	719
2	-10	-727	-737	737
1	-11	-736	-747	747

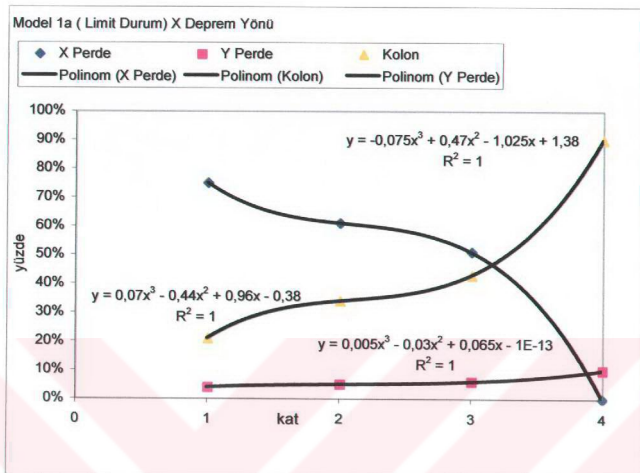
3.2. Analizlerin Yorumlanması

Yapılan analiz sonuçlarında incelenen üç modelin eşdeğer deprem yükleri altında taşıyıcı sistem elemanlarının yük paylaşımı grafikler haline getirilmiştir. Her model için gerekli perde alanları yönetmelikte belirlenen sınır değer olan binanın tüm katlarının plan alanlarının toplamının 0,002'si olarak hesaplanmış ve planda her iki yönde simetrik olacak şekilde yerleştirilmiştir. Seçilen yapı sisteminin yatay yük altındaki davranışını belirleyebilmek açısından üç model içinde perde boyaları katlarının plan alanlarının toplamının 0,0025'i olarak hesaplanarak arttırlılmış, analizler tekrar yapılmıştır.

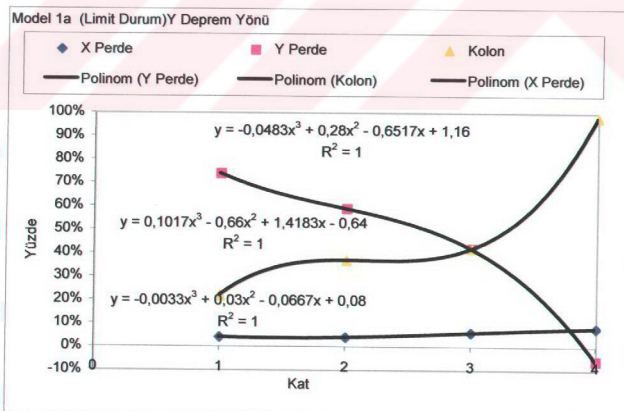
Çizelge 3.55 Modeller Bilgileri

Modeller	Kat Adedi	Perde Uzunlukları(m)	Perde adedi		$\frac{\sum A_g}{\sum A_p}$
			X yönü	Y Yönü	
Model 1a	4	1,75	8	8	0,002 (Limit durum)
Model 1b	4	2,00	8	8	0,0025 (Limit üstü durum)
Model 2a	8	3,50	8	8	0,002 (Limit durum)
Model 2b	8	4,00	8	8	0,0025 (Limit üstü durum)
Model 3a	12	5,00	8	8	0,002 (Limit durum)
Model 3b	12	6,00	8	8	0,0025 (Limit üstü durum)

3.2.1. Model 1a Eşdeğer Deprem Yüklerinin Kat Kolon ve Perdeler Dağılım Yüzdeleri



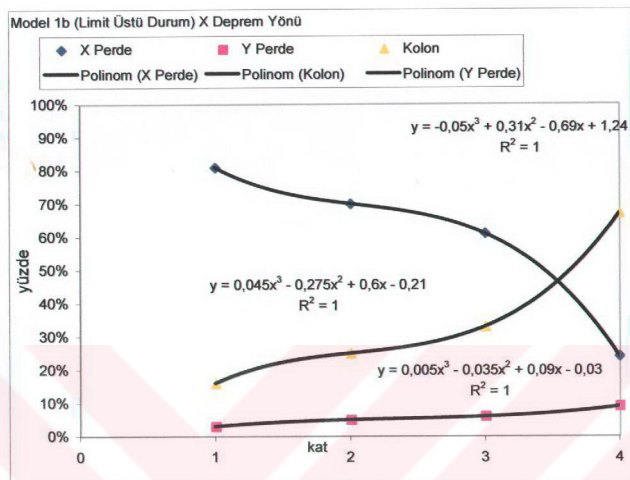
Şekil 3.7 Model 1a X Deprem Yüklerinin Kat Kolon ve Perdeler Dağılım
Yüzdeleri



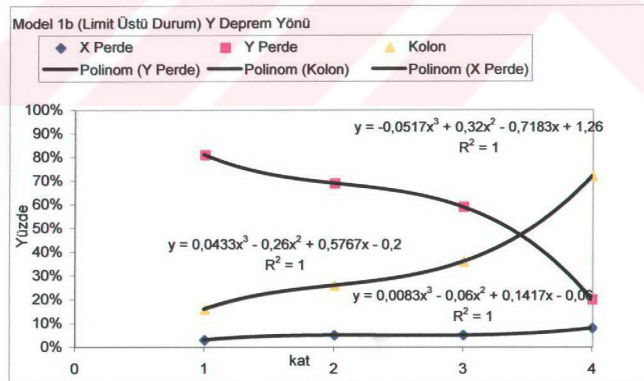
Şekil 3.8 Model 1a Y Deprem Yüklerinin Kat Kolon ve Perdeler Dağılım
Yüzdeleri

3.2.2. Model 1b Eşdeğer Deprem Yüklerinin Kat Kolon ve Perdeler Dağılım

Yüzdeleri



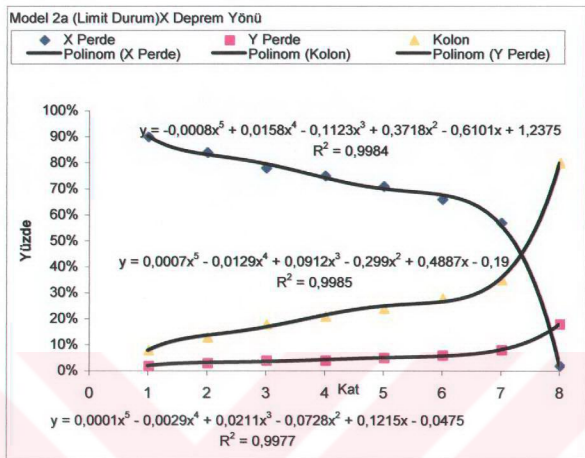
Şekil 3.9 Model 1b X Deprem Yüklerinin Kat Kolon ve Perdeler Dağılım
Yüzdeleri



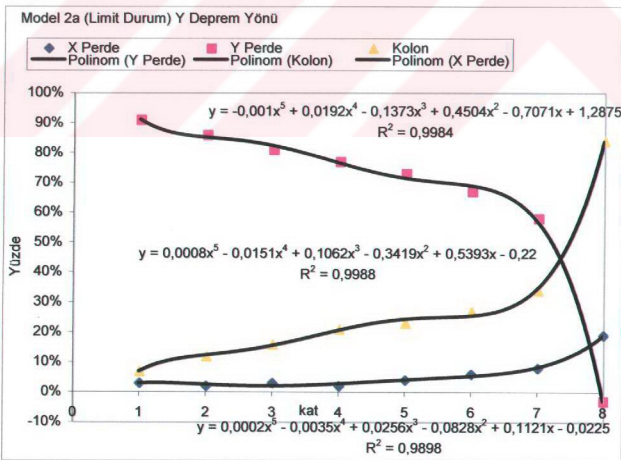
Şekil 3.10 Model 1b X Deprem Yüklerinin Kat Kolon ve Perdeler Dağılım
Yüzdeleri

3.2.3. Model 2a Eşdeğer Deprem Yüklerinin Kat Kolon ve Perdeler Dağılım

Yüzdeleri



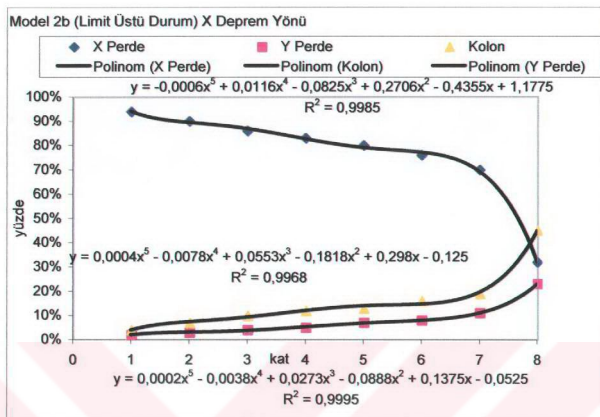
Şekil 3.11 Model 2a X Deprem Yüklerinin Kat Kolon ve Perdeler Dağılım Yüzdeleri



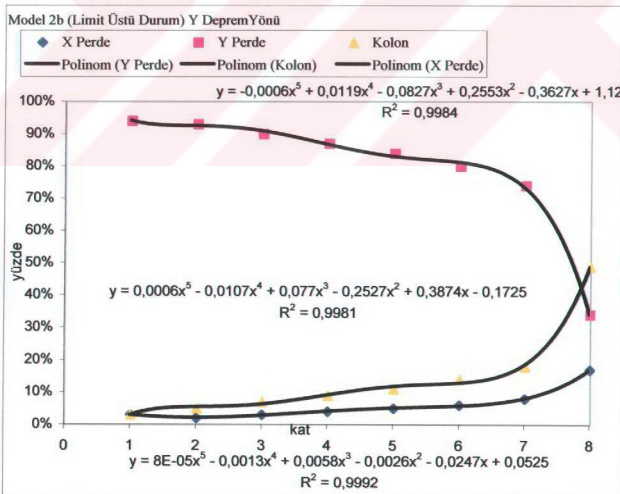
Şekil 3.12 Model 2a Y Deprem Yüklerinin Kat Kolon ve Perdeler Dağılım Yüzdeleri

3.2.4. Model 2b Eşdeğer Deprem Yüklerinin Kat Kolon ve Perdeler Dağılım

Yüzdeleri



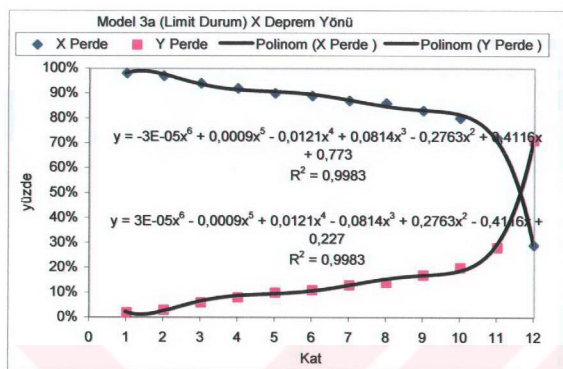
Şekil 3.13 Model 2a X Deprem Yüklerinin Kat Kolon ve Perdeler Dağılım
Yüzdeleri



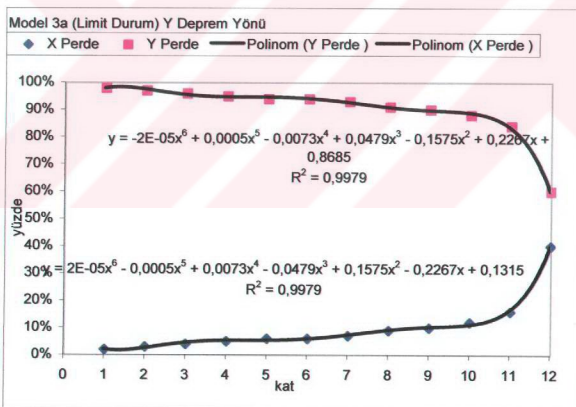
Şekil 3.14 Model 2b Y Deprem Yüklerinin Kat Kolon ve Perdeler Dağılım
Yüzdeleri

3.2.5. Model 3a Eşdeğer Deprem Yüklerinin Kat Kolon ve Perdeler Dağılım

Yüzdeleri



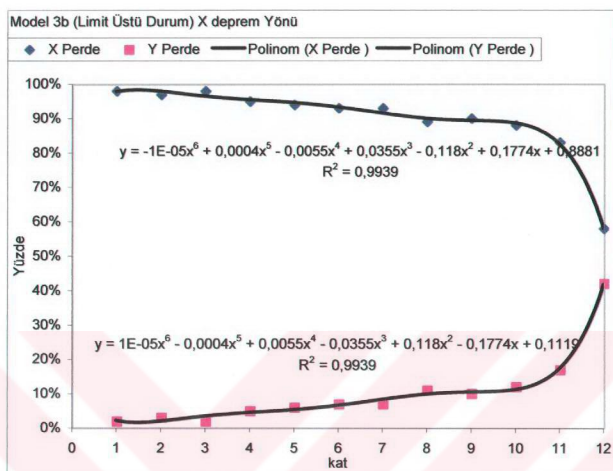
Şekil 3.15 Model 3a X Deprem Yüklerinin Kat Kolon ve Perdeler Dağılım Yüzdeleri



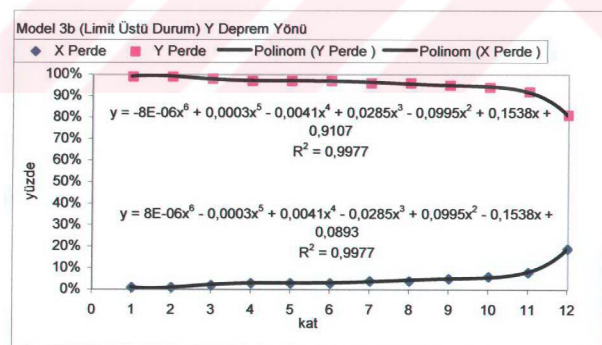
Şekil 3.16 Model 3a Y Deprem Yüklerinin Kat Kolon ve Perdeler Dağılım Yüzdeleri

3.2.6. Model 3b Eşdeğer Deprem Yüklerinin Kat Kolon ve Perdeler Dağılım

Yüzdeleri



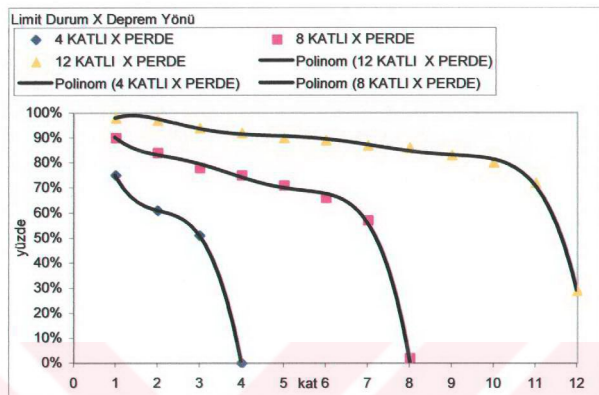
Şekil 3.17 Model 3b X Deprem Yüklerinin Kat Kolon ve Perdeler Dağılım
Yüzdeleri



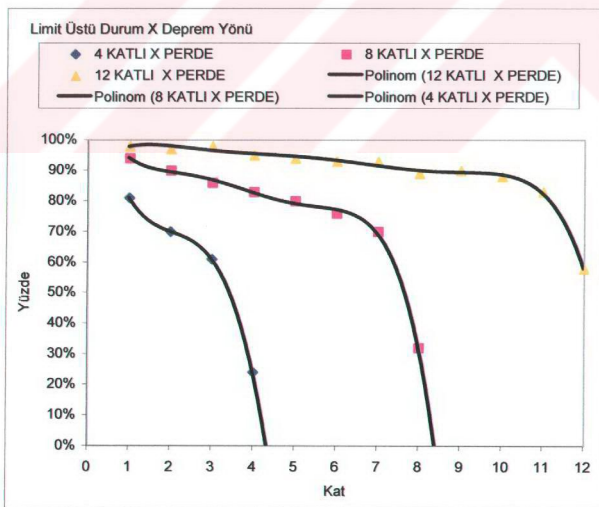
Şekil 3.18 Model 3b Y Deprem Yüklerinin Kat Kolon ve Perdeler Dağılım
Yüzdeleri

3.2.7. X Yönündeki Perdelerin Üç Model İçin Kesme Kuvvetlerinin

Dağılım Yüzdeleri



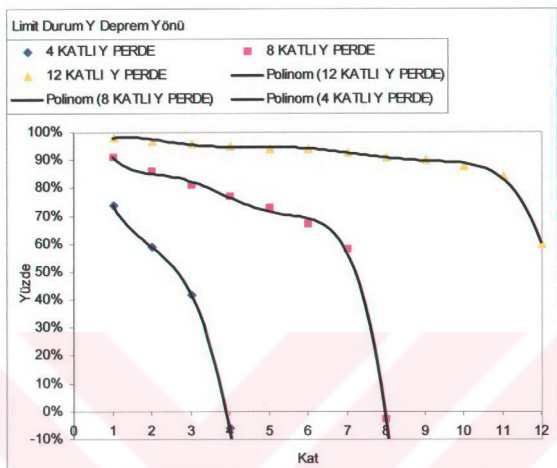
Şekil 3.19 Limit Durum X Yönündeki Perdelerin Kesme Kuvveti Dağılımı



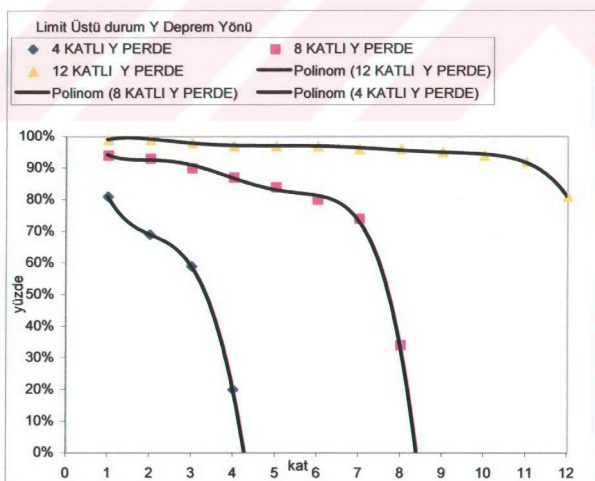
Şekil 3.20 Limit Üstü Durum X Yönündeki Perdelerin Kesme Kuvveti Dağılımı

3.2.8. Y Yöndeeki Perdelerin Üç Model İçin Kat kesme Kuvvetlerinin

Dağılım Yüzdeleri



Şekil 3.21 Limit Durum Y Yöndeeki Perdelerin Kesme Kuvvetleri Dağılımı



Şekil 3.22 Limit Üstü Durum Y Yöndeeki Perdelerin Kesme Kuvvetleri Dağılımı

4. SONUÇ

Yapılan analiz sonuçları incelendiğinde;

4 katlı modelde kat plan alanının %0,2'si oranında (limit durum) perde kullanıldığında ve eşdeğer deprem yükü X yönünde verildiğinde dördüncü kattaki X yönündeki perdeler kesme kuvveti almazken perde oranı kat plan alanının %0,25'ine (limit üstü durum) çıkarıldığında %20 oranında kesme kuvveti almaktadır. Aynı şekilde Y yönünde eşdeğer deprem yükü verildiğinde perde oranı kat kalıp planının 0,002'si olan modelde son katta Y yönündeki perdeler eşdeğer deprem yükü ile aynı yönde kesme kuvveti alarak bu kattaki kolonların kesme kuvvetini artırmaktadır. Perde oranı kat plan alanının %0,25'ine çıkarıldığında ise Y yönündeki perdeler %20 oranında kesme kuvveti almaktadır.

8 Katlı modelde kat kalıp alanının %0,2'si oranında perde kullanıldığında ve X yönünde eşdeğer deprem yükü verildiğinde x yönündeki perdeler sadece son katta %2 oranında kesme kuvveti alırken oran %0,25'e çıkarıldığında bu kattaki perdelerin aldığı kesme yükü son katta %30'ye çıkmaktadır. Y yönünde eşdeğer deprem kuvveti verildiğinde ise kat plan alanının %0,2'si oranında perde kullanılan modelde sekizinci kattaki perdeler verilen eşdeğer deprem yüküyle aynı yönde kesme kuvveti alarak kolonların kesme kuvvetini artırırken kat plan alanının %0,2'si oranında perde kullanılan modelde % 40 oranında kesme kuvveti almaktadır.

12 katlı sistemin taşıyıcı sitemi tamamen perdelerden oluşmaktadır. Perde oranı kat plan alanının %0,2'sinden %0,25'ine çıkarıldığında son kattaki perdelerin aldığı kesme kuvveti eşdeğer deprem yükü X yönünde verildiğinde %30'dan %70'ler, Y yönünde eşdeğer deprem yükü verildiğinde %60'dan %90'a çıkmaktadır.

Perde oranı %0,2'den %0,25'e çıkarıldığında 4 katlı modelde x ve y yönündeki perdelerin aldığı kesme kuvvetleri oranı değişmezken, 8 katlı ve 12 katlı modelde Y yönündeki perdelerin aldığı kesme kuvvetlerinin oranı daha fazla artmaktadır. Bu farlılığın bina geometrisinden kaynaklandığı ve kısa doğrultuda daha fazla arttığı sonucuna varılmaktadır.

Perde ve çerçeve sistemlerden oluşan bir taşıyıcı sistem modellenirken yeterli perde enkesit alanı kullanıldığı takdirde, perde ve çerçeve sistemlerin yatay yük altındaki davranış farklılıklarının son katlarda azalarak sistemin beraber çalıştığı sonucuna varılmaktadır.

Taşıyıcı sistemi perde ve çerçevelerden oluşan yapılarda, deprem kuvveti altında taban kesme kuvvetin perdeler az katlı yapılarda %75'ini alırken çok katlı yapılarda bu oran %98'e çıktıgı görülmüştür. Son katlara doğru perde kesme kuvveti azalırken kolon kesme kuvveti artmaktadır.

Ayrıca yanal atılımlı fay hattının geçtiği deprem bölgelerinde deprem fay hattına yakın kuşakta ve deprem karakteristiği dikkate alınarak deprem yönün ve bina plan geometrisinin perde tasarımda ve eşdeğer deprem yükünün belirlenmesinde önemli bir faktör olduğu, fay hattına paralel doğrultu binanın uzun kenarına paralel ve/veya perde oranı limit üstü ve dik doğrultuda ise limit altı bir oranda tutularak aynı ekonomide daha dayanıklı yapılar elde etmek mümkün olacaktır.

KAYNAKLAR

- 1- Afet Bölgelerinde Yapılacak Yapılar Hakkında Yönetmelik İnşaat Mühendisleri Odası İzmir Şubesi Yayıni No:25,1997
- 2- Zekai Celep, Nahit Kumbasar, Deprem Mühendisliğine Giriş ve Depreme Dayanıklı Yapı Tasarımı, İstanbul, 2002
- 3- Prof. Dr. Zekai Hoşgör, Doç. Dr. A. Necmettin Gündüz, Betonarme Yüksek Yapılar, İstanbul, 2000
- 4- Turgut Öztürk, "Binalarda Yatay Yükleri Taşıyan Betonarme Perdelerin Ön Boyutlarının Tayini", İnşaat Mühendisliğinde Gelişmeler, III. Teknik Kongre ODTÜ; Ankara, 1997
- 5- İbrahim Gençay, "Deprem Etkisindeki Çok Katlı Yapı Sistemlerinde Perde Tasarım Momentlerinin Hesabı İle İlgili Parametrik Bir İnceleme". Yüksek Lisans Tezi, İTÜ, 1999
- 6- Bahar Metin, "Yeni Deprem Yönetmeliğine Göre (Eylül-1997) Perdeli-Çerçevevi Betonarme Yapıların Kat Adedine Ve Deprem Bölgeleri Parametrelerine Bağlı Olarak Tasarımı". Yüksek Lisans Tezi, Fırat Üniversitesi, 1997
- 7- Fatih Aydinalev, "Çok Katlı Yapıların Yeni Deprem Yönetmeliği (TDY'98)'Ne Göre Analizi Ve Yapı Düzensizliklerinin İrdelenmesi. Yüksek Lisans Tezi, Çukurova Üniversitesi, 2000
- 8- Harun Bıçakçı, "Perdeli-Çerçevevi Sistemlerde Depremden Oluşan Kat Kesme Kuvvetlerinin Dağılımının İncelenmesi". Yüksek Lisans Tezi, Sakarya Üniversitesi, 2000

- 9- Sena Güzeldağ, "Yeni Deprem Yönetmeliğinin SAP2000 ve Ansys Programları İle İrdelenmesi". Yüksek Lisans Tezi, Çukurova Üniversitesi, 2000
- 10- Günay Özmen, "Aşırı Burulma Yapan Çok Katlı Yapılar" Teknik Rapor, TDV / TR039-68, 2001
- 11- Fatih Ergençoğlu " Betonarme Perde-Çerçeve Sistemlerin Bilgisayar Destekli Analizi". Yüksek Lisans Tezi, Kırıkkale Üniversitesi, 2000
- 12- Tolga Alkuş, "Boşluklu Perde Duvar Sistemlerin Serbest Titreşim Periyotlarının Hesaplanması". Derleme, Gazi Üniversitesi Fen Bilimleri Dergisi, 2003
- 13- Günay Özmen, Engin Orakdögen, Kutlu Darılmaz, "Örneklerle SAP2000". Birsen Yayınevi, İstanbul, 2002
- 14- Zekai Celep, Nahit Kumbasar, "Betonarme Yapılar". İstanbul, 1998
- 15- Zekai Celep, Nahit Kumbasar, "Yapı Dinamiği Ve Deprem Mühendisliğine Giriş" İstanbul, 1996
- 16- Ergin Atumtay, "Çerçevevi Ve Perdeli Betonarme Sistemlerin Tasarımı Temel Kavramlar Ve Hesap Yöntemleri" ODTÜ, 2001
- 17- İsmail Çağatay, Sena Güzeldağ, "Yeni Deprem Yönetmeliği (TDY'98) SAP2000N Uygulamaları", Birsen Yayınevi, 2002
- 18- Yıldırım Ertutar, "Betonarme Yüksek Yapılarda Yatay Yük Etkisi", Dokuz Eylül Üniversitesi Mühendislik Fakültesi Yayınları Yayın No:253, İzmir, 1995
- 19- Günay Özmen, "Plan Geometrisinin Burulma Düzensizliğine Etkisi", Türkiye Mühendislik Haberleri Sayı 410, 2000